

# DMW Deutsche Medizinische Wochenschrift

Anschrift für Schriftleitung und Georg Thieme Verlag: 70469 Stuttgart, Rüdigerstraße 14

*4 Med. 67 92*

*119*

*1994*

*943-7808*

## Schriftleitung:

Dr. med. habil. R. Augustin Stuttgart

Prof. Dr. W. Siegenthaler Zürich

Prof. Dr. J. F. Riemann Ludwigshafen

Prof. Dr. J. R. Siewert München

Prof. Dr. M. Rothmund Marburg

Prof. Dr. A. Sturm Herne/Bochum

Prof. Dr. P. C. Scriba München

Register für den 119. Jahrgang

2. Halbjahr 1994 Hefte 27-51/52



Georg Thieme Verlag Stuttgart · New York



Diejenigen Bezeichnungen, die zugleich eingetragene Warenzeichen sind, wurden *nicht* besonders kenntlich gemacht. Es kann also aus der Bezeichnung einer Ware mit dem für diese eingetragenen Warenzeichen nicht geschlossen werden, daß die Bezeichnung ein freier Warename ist. Ebenso wenig ist zu entnehmen, ob Patente oder Gebrauchsmuster vorliegen.

Alle Rechte, insbesondere das Recht der Vervielfältigung und Verbreitung sowie der Übersetzung, vorbehalten. Kein Teil des Werkes darf in irgendeiner Form (durch Photokopie, Mikrofilm oder ein anderes Verfahren) ohne schriftliche Genehmigung des Verlages reproduziert oder unter Verwendung elektronischer Systeme verarbeitet, vervielfältigt oder verbreitet werden.

Some of the product names, patents and registered designs referred to are in fact registered trademarks or proprietary names even though specific reference to this fact is not always made in the text. Therefore, the appearance of a name without designation as proprietary is not to be construed as a representation by the publisher that it is in the public domain.

All rights, including the rights of publication, distribution and sales, as well as the right to translation, are reserved. No part of this work covered by the copyrights hereon may be reproduced or copied in any form or by any means – graphic, electronic or mechanical including photocopying, recording, taping, or information and retrieval systems – without written permission of the publisher.

<b>A</b>							
<b>Aborte; rezidivierende</b>							
Autoimmune Progesteron-dermatitis	1258	fr					
<b>Abszeß</b>							
Amöbenabszeß der Leber mit hepatobronchialer Fistel	1034	kas					
Lumbale Spondylodiszitis durch Salmonella enteritidis	1383	kas					
Primär kutane Nocardia-farcinica-Infektion nach Herztransplantation	1276	kas					
Primär kutane Nocardia-farcinica-Infektion nach Herztransplantation (Berichtigung)	1568						
<b>Acetylcholin</b>							
Gesteigerte vaskuläre Sensitivität auf Nitroglycerin bei Patienten mit Hypercholesterinämie und peripherer Endotheldysfunktion	1065	or					
<b>Aciclovir</b>							
Wirksamkeit von Aciclovir und Glucocorticoiden in der Behandlung des Herpes zoster und postzosterischer Neuralgien	1526	km					
<b>Acidose</b>							
Aktuelle Möglichkeiten des kontinentalen Harnblasenersatzes	1327	üb					
Ventilatorische Insuffizienz und hyperkapnische Kompensation infolge chronisch belasteter »Atempumpe«. Physiologie, Pathophysiologie und Therapie	1209	üb					
<b>Adaptation</b>							
Pathophysiologie der Myokarddurchblutung. Teil I: Adaptation an Myokardischämie (»hibernating«-Myokard)	1589	pp					
<b>Adenom</b>							
Farbdopplersonographisch gesteuerte perkutane Alkoholinstillation zur Therapie der funktionellen Schilddrüsenautonomie	1607	or					
Kanalikuläres Adenom	1623	mq					
<b>Adenosintriphosphat</b>							
Adenosintriphosphat (ATP) bei supraventrikulären Tachykardien im Neugeborenen- und Säuglingsalter	1351	kas					
<b>Adipositas</b>							
Elterliche Vernachlässigung in der Kindheit und Adipositas im frühen Erwachsenenalter	1103	km					
<b>Adnexitis</b>							
Aktuelle Epidemiologie, Diagnostik und Therapie der Urogenitaltuberkulose	1121	adt					
<b>AFP</b>							
(siehe Alpha-1-Fetoprotein)							
<b>Afterloading-Bestrahlung</b>							
Diagnostik und Therapie des Analkarzinoms	1701	adt					
<b>Agranulozytose</b>							
Therapie einer Clozapin-induzierten Agranulozytose mit granulozytenkolonie-stimulierendem Faktor	1467	kas					
<b>Ajmalin-Test</b>							
Klinische Bedeutung des Ajmalin-Tests in der nicht-invasiven Diagnostik bei Wolff-Parkinson-White-Syndrom	985	or					
<b>Albendazol</b>							
Gnathostomiasis nach Aufenthalt in Thailand	1618	kas					
<b>Aldosteron-System</b>							
Renin-Angiotensin-System und Blutdruckregulation	965	pp					
<b>Alkohol</b>							
Geschäftsfähigkeit bei hohem Blutalkoholspiegel	1602	fr					
<b>Alkoholinstillation</b>							
Farbdopplersonographisch gesteuerte perkutane Alkoholinstillation zur Therapie der funktionellen Schilddrüsenautonomie	1607	or					
<b>Allergie; gegen Hymenopterengift</b>							
Besteht bei einer Insektengift-Allergie immer die Indikation für eine Hyposensibilisierung?	1093	la					
<b>Alloimmunthrombozytopenie; neonatale</b>							
Neonatale Alloimmunthrombozytopenie	1512	üb					
<b>Allopurinol</b>							
Allopurinol	1045	as					
<b>All-trans-Retinsäure</b>							
Komplette Remission bei akuter Promyelozytenleukämie. Vorteile von all-trans-Retinsäure im Vergleich mit konventioneller Chemotherapie	1143	or					
<b>Alpha-1-Fetoprotein</b>							
Indikation zur Amniozentese bei über 35jährigen Schwangeren aufgrund von Serummarkern	1413	km					
<b>1-alpha-Hydroxylase</b>							
Vitamin D und Osteoporose. Pathogenese - Therapie	1479	üb					
<b>Amenorrhoe; primäre</b>							
Diagnose eines Ullrich-Turner-Syndroms im Rentengutachten	1115	kas					
<b>Amniozentese</b>							
Indikation zur Amniozentese bei über 35jährigen Schwangeren aufgrund von Serummarkern	1413	km					
<b>Amöbiasis</b>							
Amöbenabszeß der Leber mit hepatobronchialer Fistel	1034	kas					
<b>ANA</b>							
(siehe Antikörper; Antinukleäre)							
<b>Analkarzinom</b>							
Diagnostik und Therapie des Analkarzinoms	1701	adt					
<b>Anämie</b>							
Autoimmunprozesse als paraneoplastische Manifestationen bei familiärem Mammakarzinom	1194	kas					
Eisenmangelanämie	1403	pp					
Hämolytische Krise mit Leberversagen als Erstmanifestation eines Morbus Wilson	1421	kas					
Schwere Panzytopenie im hohen Lebensalter nach zwölfmonatiger ACE-Hemmer-Therapie	1029	kas					
<b>Ancylostoma brasiliense</b>							
Larva migrans cutanea (»creeping eruption«)	1505	mq					

\* Adjektive, die gegen die Schreibregel mit großen Anfangsbuchstaben geschrieben wurden, sind Bestandteil von Abkürzungen oder Akronymen.

## Rubrikenschlüssel

adt = Aktuelle Diagnostik und Therapie	fr = Fragen aus der Praxis	la = Leitartikel	or = Originalien
ar = Arztrecht	gt = Gedenktage	lz = Leser-Zuschriften	pp = Prinzip & Perspektive
as = Der Arzneistoff	kas = Kasuistiken	mg = Medizingeschichte	stp = Standpunkte
epi = Epikrise	km = Kleine Mitteilungen	mq = Mediquiz	üb = Übersichten
	kom = Kommentare	nk = Nekrologe	

<b>Aneurysma</b>			Schwere Panzytopenie im hohen Lebensalter nach zwölfmonatiger ACE-Hemmer-Therapie	1029	kas	<b>Anti-Neutrophilen-Zytoplasma-Antikörper</b>			
Aneurysmen beider Arteriae iliacae communes	1082	mq				Churg-Strauss-Syndrom oder chronische eosinophile Pneumonie?	1565	lz	
Klinische Bedeutung und echokardiographischer Nachweis von Aneurysmen des Vorhofseptums	1205	adt	<b>Angst</b>			Einseitige diffuse Lungenbeteiligung bei Vaskulitis mit Anti-Neutrophilen-Zytoplasma-Antikörpern sowie Antikörpern gegen glomeruläre Basalmembranen	1071	kas	
Subarachnoidalblutung	1322	mq	Erfassung von Angst und Depressivität in der medizinischen Routineversorgung	1283	adt				
Zerebraler ischämischer Insult. Wertigkeit der transösophagealen Echokardiographie in der Diagnostik kardialer Emboliequellen	1585	adt	<b>Anosmie</b>						
			Kallmann-Syndrom. Pathophysiologie und Klinik	1436	üb	<b>Antioxidantien</b>			
<b>Angiitis</b>			<b>Antacida</b>			Antioxidantien	1135	fr	
(siehe Vaskulitis)			Therapie der gastroösophagealen Refluxkrankheit	1473	adt	<b>Antiöstrogen</b>			
<b>Angina abdominalis</b>			<b>Anthelminthika</b>			Östrogenantagonisten und Thromboseprophylaxe	1182	fr	
Chronische mesenteriale Ischämie	979	or	Gnathostomiasis nach Aufenthalt in Thailand	1618	kas	<b>Antistreptolysin</b>			
<b>Angina pectoris</b>			<b>Antiarrhythmika</b>			Persistierende Antistreptolysin-Titer	1099	fr	
Angina pectoris und normales Koronarangiogramm bei arterieller Hypertonie und linksventrikulärer Hypertrophie	1175	üb	Adenosintriphosphat (ATP) bei supraventrikulären Tachykardien im Neugeborenen- und Säuglingsalter	1351	kas	<b>Antituberkulotika</b>			
Die klinische Bedeutung der Konzentrationsbestimmung der Troponine	1013	la	Sotalol	1477	as	Aktuelle Epidemiologie, Diagnostik und Therapie der Urogenitaltuberkulose	1121	adt	
Zentralnervöse Vermittlung der Angina pectoris	1604	km	<b>Antibasalmembran-Antikörper</b>			Unverträglichkeit der Tuberkulosetherapie bei AIDS	1728	kas	
<b>Angiodysplasie</b>			Einseitige diffuse Lungenbeteiligung bei Vaskulitis mit Anti-Neutrophilen-Zytoplasma-Antikörpern sowie Antikörpern gegen glomeruläre Basalmembranen	1071	kas	<b>Aortendissektion</b>			
Endoskopische intraoperative Diagnostik einer blutenden Angiodysplasie im Jejunum beim Heyde-Syndrom	1603	lz	<b>Anticholinergika</b>			Akute Aortendissektion. Diagnose durch transthorakale Echokardiographie	1297	lz	
<b>Angiokeratoma corporis diffusum</b>			Enzephalopathie nach Intoxikation mit einem Anticholinergikum	1803	lz	<b>Aortenisthmusstenose</b>			
Angiokeratoma corporis diffusum	1281	mq	<b>Antigen; Prostataspezifisches</b>			Postduktale Aortenisthmusstenose (Coarctatio aortae)	1548	mq	
<b>Angiologie</b>			Prostatakarzinom	1054	lz	<b>Aortenklappenstenose</b>			
Pathologie der Pulmonalarterien bei Lungentumoren	1415	or	<b>Antikoagulation</b>			Operationsindikation bei asymptomatischer hochgradiger Aortenklappenstenose	1630	üb	
<b>Angioplastie</b>			Einsatz von niedermolekularem Heparin zur Antikoagulation in der Schwangerschaft	1497	kas	<b>APC</b>			
Akuter Koronargefäßverschluss nach elektiver perkutaner transluminaler Koronarangioplastie. Inzidenz und Therapie bei 5000 konsekutiven Patienten	1023	or	Ist die »International Normalized Ratio (INR)« in der klinischen Praxis unentbehrlich?	1529	la	(siehe Protein C; aktiviertes)			
Retrograde Katheter-Rekanalisation langstreckiger Verschlüsse der Arteria femoralis superficialis	948	or	Operationsindikation bei asymptomatischer hochgradiger Aortenklappenstenose	1630	üb	<b>APC-Resistenz</b>			
Wiedereröffnung chronischer Koronararterienverschlüsse: Welche Faktoren beeinflussen den Erfolg?	1766	or	Orale Kontrazeption bei Protein-C-Mangel	1100	fr	Resistenz gegenüber aktiviertem Protein C	1680	km	
<b>Angiotensin-Converting-Enzym-Hemmer</b>			Rupturgefahr bei Nierenzysten	1486	fr	<b>Apnoe-Index</b>			
Angiotensin-Converting-Enzym-Hemmer bei der Behandlung der diabetischen Nephropathie	1298	km	Zerebraler ischämischer Insult. Wertigkeit der transösophagealen Echokardiographie in der Diagnostik kardialer Emboliequellen	1585	adt	Morbidität und Letalität bei Schlafapnoe und nächtlichen Bradyarrhythmien	1187	or	
Angiotensin-Converting-Enzym-Hemmer nach Herzinfarkt	1448	fr	<b>Antikörper; Antinukleäre</b>			<b>Appendizitis</b>			
GISSI III: Wirkung von Lisinopril und transdermaler Applikation von Nitroglycerin nach akutem Herzinfarkt	1804	km	Diagnostik und Bedeutung von antinukleären Antikörpern	1137	lz	Operation bei Verdacht auf Appendizitis und Perforation	1059	km	
			<b>Antimonpräparate</b>			<b>Arbeitsmedizin</b>			
			Therapie kutaner und mukokutaner Leishmaniosen	1169	adt	Akzidentelle Nadelstichverletzung bei medizinischem Pflegepersonal	1563	fr	
						<b>Arcus lipoides corneae</b>			
						Fischaugenkrankheit	1393	kas	
						<b>Areflexie</b>			
						Intensivtherapie des Guillain-Barré-Syndroms	1248	üb	
						<b>Arginin</b>			
						Gesteigerte vaskuläre Sensitivität auf Nitroglycerin bei Patienten mit Hypercholesterinämie und peripherer Endotheldysfunktion	1065	or	

**Arteria femoralis superficialis**

Retrograde Katheter-Rekanalisation langstreckiger Verschlüsse der Arteria femoralis superficialis

**Arteriitis**

Takayasu-Arteriitis

**Arteriosklerose**

Aneurysmen beider Arteriae iliacae communes

Antioxidantien

Carotiswandveränderungen bei jungen Typ-I-Diabetikern. Ultraschalldiagnostik der frühen Arteriosklerose

Chronische mesenteriale Ischämie

Gesteigerte vaskuläre Sensitivität auf Nitroglycerin bei Patienten mit Hypercholesterinämie und peripherer Endotheldysfunktion

Retrograde Katheter-Rekanalisation langstreckiger Verschlüsse der Arteria femoralis superficialis

**Arthroskopie**

Baker-Zyste bei osteoartikulärer Tuberkulose des Kniegelenks

Baker-Zyste bei osteoartikulärer Tuberkulose des Kniegelenks (Berichtigung)

**Arztrecht**

Beschwerden gegenüber der Kassenärztlichen Vereinigung wegen unberechtigter Krankschreibung. Urteil des OLG Frankfurt a.M. vom 16. 12. 1993

Durchführung von Routineoperationen ohne Beteiligung eines Facharztes. Urteil des OLG Düsseldorf vom 7.10.1993

Führen der Zusätze »Schmerztherapie« und »Schmerzsprechstunde« auf dem Praxisschild. Beschluß des Bundesverfassungsgerichtes vom 15.12.1993

Liquidationsrecht des Chefarztes bei vorhersehbarer Verhinderung an der Leistungserbringung. Urteil des OLG Hamm vom 4.5.1994

Rechtsprobleme bei der Forschung in Notfall- und Intensivmedizin

Zu den Sorgfaltspflichten des auf Überweisung tätigen Arztes. Urteil des Bundesgerichtshofs vom 5.10.1993

**Asbest**

Asbest-induzierte Erkrankungen der Lunge und Pleura

**Ascorbinsäure**

(siehe Vitamin C)

**Aspergillose; pulmonale**

Pulmonale Aspergillose

**Asterixis**

Medikamentös ausgelöste Asterixis

**Asthma bronchiale**

Asthma bronchiale  
Churg-Strauss-Syndrom oder chronische eosinophile Pneumonie?

Regelmäßige Asthma-Therapie mit  $\beta$ -Sympathikomimetika

**Asystolie**

Therapie bradykarder und tachykarder Rhythmusstörungen durch transösophageale Elektrostimulation des Herzens

**Aszites**

Diagnostik des Aszites  
Therapie des Aszites bei Lebererkrankungen

**Ateminsuffizienz**

»Bronchiolitis obliterans organizing pneumonia« mit akuter respiratorischer Insuffizienz

Syringomyelie als seltene Ursache einer beatmungspflichtigen respiratorischen Insuffizienz

Ventilatorische Insuffizienz und hyperkapnische Kompensation infolge chronisch belasteter »Atempumpe«. Physiologie, Pathophysiologie und Therapie

**Atmungsstörungen; schlafbezogene**

Morbidität und Letalität bei Schlafapnoe und nächtlichen Bradyarrhythmien

**ATP**

(siehe Adenosintri-  
phosphat)

**Augenspiegel**

Hermann von Helmholtz (1821-1894) – Militärarzt, Sinnesphysiologe und »Reichskanzler der deutschen Physik«. Zum 100. Todestag des universalen Arztes und Naturforschers

**Autoaggression**

Akutes myoglobinurisches Nierenversagen als Folge von autoaggressivem Verhalten bei Oligophrenie

**Autoimmunkrankheiten**

Autoimmune Progesterondermatitis

Autoimmunprozesse als paraneoplastische Manifestationen bei familiärem Mammakarzinom

Fibromyalgie-Syndrom

Intensivtherapie des Guillain-Barré-Syndroms

Sekundäre Neoplasien nach Immunsuppression

**Automutilation**

(siehe Selbstverstümmelung)

**Autonomie; disseminierte**

(siehe Hyperthyreose)

**Autonomie; fokale**

Farbdopplersonographisch gesteuerte perkutane Alkoholinstillation zur Therapie der funktionellen Schilddrüsenautonomie

**Autoperfusionskatheter**

Langzeitdilata-  
tion bei erfolgloser perkutaner transluminaler Koronarangioplastie

**AZT**

(siehe Zidovudin)

**Azzopardi-Phänomen**

Das extrapulmonale einzelne Karzinom – eine Rarität?

**Äquivalenz**

Problematik des Äquivalenzbegriffes bei der Therapie mit Glucocorticoiden. Ein Vergleich der klinischen Pharmakokinetik und Pharmakodynamik von Prednisolon und Methylprednisolon

**B****Bactec-System**

Aktuelle Epidemiologie, Diagnostik und Therapie der Urogenitaltuberkulose

**Baker-Zysten**

Baker-Zyste

Baker-Zyste bei osteoartikulärer Tuberkulose des Kniegelenks

Baker-Zyste bei osteoartikulärer Tuberkulose des Kniegelenks (Berichtigung)

**Rubrikenschlüssel**

adt = Aktuelle Diagnostik  
und Therapie  
ar = Arztrecht  
as = Der Arzneistoff  
epi = Epikrise

fr = Fragen aus der Praxis  
gt = Gedenktage  
kas = Kasuistiken  
km = Kleine Mitteilungen  
kom = Kommentare

la = Leitartikel  
lz = Leser-Zuschriften  
mg = Medizingeschichte  
mq = Mediquiz  
nk = Nekrologe

or = Originalien  
pp = Prinzip & Perspektive  
stp = Standpunkte  
üb = Übersichten

<b>BAL</b> (siehe Lavage; bronchoalveoläre)							
<b>Balkenmangel</b> Agenesie des Corpus callosum (Balkenmangel)	1738	mq					
<b>Ballondilatation; von Gefäßen</b> (siehe Angioplastie)							
<b>Ballondilatation; von Darmstenosen</b> Endoskopische Ballondilatation symptomatischer Strikturen bei Morbus Crohn	1377	or					
<b>Ballonkatheter; perfundierbarer</b> Langzeitdilatation bei erfolgloser perkutaner transluminaler Koronarangioplastie	1458	or					
<b>Batten-Krankheit</b> Leere Vakuolen im Zytoplasma der Lymphozyten bei juveniler neuronaler Ceroidlipofuscinose (Spielmeier-Vogt-Krankheit, Batten-Krankheit)	1431	mq					
<b>Beatmung; künstliche</b> Ventilatorische Insuffizienz und hyperkapnische Kompensation infolge chronisch belasteter »Atempumpe«. Physiologie, Pathophysiologie und Therapie	1209	üb					
<b>Belastungs-Elektrokardiographie</b> Klinische und koronarangiographische Befunde bei Frauen mit Thoraxschmerzen	1337	km					
<b>Berichtigungen</b> Baker-Zyste bei osteoartikulärer Tuberkulose des Kniegelenks	1806						
Hypocalcämische Kardiomyopathie als Ursache einer schweren Linksherzinsuffizienz	1414						
Primär kutane Nocardia-farctica-Infektion nach Herztransplantation	1568						
<b>Bernstein-Test</b> Diagnostik der gastroösophagealen Refluxkrankheit	1433	adt					
<b>Berufskrankheiten</b> (siehe Arbeitsmedizin)							
<b>Beta-HCG</b> (siehe Choriongonadotropin; humanes)							
<b>Beta-Rezeptorenblocker</b> Beta-Rezeptorenblocker bei dilatativer Kardiomyopathie	1604	km					
Beta-Rezeptorenblocker als Notfallmaßnahme bei akutem Herzinfarkt?	1715	fr					
Sicca-Symptomatik unter systemischer Therapie mit Beta-Rezeptorenblockern	1783	adt					
Sotalol	1477	as					
<b>Beta-Sympathikomimetika</b> Regelmäßige Asthma-Therapie mit $\beta$ -Sympathikomimetika	1020	km					
<b>Bilharziose</b> Schistosomiasis und Siegelringzellkarzinom der Ileo-zökalklappe	1058	lz					
<b>Bioprothesen</b> (siehe Herzklappenprothesen)							
<b>Biopsie-Urease-Test</b> Modifizierter $^{13}\text{C}$ -Atemtest in der Diagnostik der Helicobacter-pylori-Besiedlung der gastralen Mucosa	1569	or					
<b>Björk-Shiley-Klappe</b> (siehe Herzklappenprothesen)							
<b>Bleivergiftung</b> Bleiintoxikation durch Menige in Paprikapulver	1756	lz					
<b>Blutdruckkrisen</b> (siehe Krisen; hypertensive)							
<b>Blutdruckregulation</b> Renin-Angiotensin-System und Blutdruckregulation	965	pp					
<b>Blutentnahme; Techniken</b> Hautdesinfektion vor der Blutentnahme	1182	fr					
<b>Blutprodukte</b> Rationale Substitution mit Blut- und Blutbestandteilkonserven	1555	üb					
<b>Blutspende</b> »Look-back«-Studie der DRK-Blutspendedienste	1643	km					
Universal-Spenderblut	1019	lz					
<b>Blutstillung; endoskopische</b> Endoskopische Therapie der Ösophagusvarizenblutung	1443	kom					
<b>Bluttransfusionen</b> (siehe Hämotherapie)							
<b>Blutung</b> Neonatale Alloimmunthrombozytopenie	1512	üb					
<b>Blutung; gastrointestinale</b> Endoskopische intraoperative Diagnostik einer blutenden Angiodysplasie im Jejunum beim Heyde-Syndrom	1603	lz					
Exulceratio simplex Dieulafoy	1699	mq					
Lipom mit zentraler Ulzeration und Blutung	1547	mq					
Risikofaktoren für gastrointestinale Blutungen bei Patienten der Intensivstation	1337	km					
<b>Blutungsneigung</b> (siehe Diathese; hämorrhagische)							
<b>Blutzucker selbstkontrolle</b> Ambulante Versorgung von Diabetikern	1056	lz					
<b>BMD</b> (siehe Knochendichte)							
<b>Borrelia burgdorferi</b> Nachweis von Borrelia-burgdorferi-DNA in der Gelenkflüssigkeit bei Lyme-Arthritis	1451	km					
<b>Bromocriptin</b> Bromocriptin-induzierte Pleuropneumopathie	1543	kas					
<b>Bronchialkarzinom</b> Asbest-induzierte Erkrankungen der Lunge und Pleura	1603	lz					
Hyponatriämisches Koma	1139	lz					
Pathologie der Pulmonalarterien bei Lungentumoren	1415	or					
<b>Bronchiektasen</b> Zystische Fibrose	1259	lz					
<b>Bronchiolitis Obliterans Organizing Pneumonia</b> »Bronchiolitis obliterans organizing pneumonia« mit akuter respiratorischer Insuffizienz	1312	kas					
<b>Bronchitis; eosinophile</b> Churg-Strauss-Syndrom oder chronische eosinophile Pneumonie?	1565	lz					
<b>Bypass-Operation; aortokoronare</b> Akuter Koronargefäßverschluss nach elektiver perkutaner transluminaler Koronarangioplastie. Inzidenz und Therapie bei 5000 konsekutiven Patienten	1023	or					
<b>C</b>							
<b>Calciumbilanz</b> Vitamin D und Osteoporose. Pathogenese – Therapie	1479	üb					
<b>Calciumstoffwechsel</b> Einfluß einer niedrigdosierten Hydrochlorothiazidtherapie auf den Knochenmineralgehalt des axialen und peripheren Skeletts	1645	or					
<b>Carotiswandveränderungen</b> Carotiswandveränderungen bei jungen Typ-I-Diabetikern. Ultraschalldiagnostik der frühen Arteriosklerose	1225	or					
<b>CD4-Lymphozytopenie; idiopathische</b> Idiopathische CD4-Lymphozytopenie mit letaler Salmonella-typhimurium-Sepsis	956	kas					
<b>Ceroidlipofuscinose</b> Leere Vakuolen im Zytoplasma der Lymphozyten bei juveniler neuronaler Ceroidlipofuscinose (Spielmeier-Vogt-Krankheit, Batten-Krankheit)	1431	mq					

<b>CFS</b> (siehe Müdigkeitssyndrom; chronisches)								
<b>C-13-Harnstoff-Atemtest</b> Modifizierter <sup>13</sup> C-Atemtest in der Diagnostik der Helico- bacter-pylori-Besiedlung der gastralen Mucosa	1569	or						
<b>Cheiropathie</b> Carotiswandveränderungen bei jungen Typ-I-Diabeti- kern. Ultraschalldiagnostik der frühen Arteriosklerose	1225	or						
<b>Chelatbildner</b> Antioxidantien	1135	fr						
<b>Chemotherapie</b> Adjuvante Chemotherapie beim operierten Kolon- karzinom	1181	fr						
Adjuvante Chemotherapie nach kurativer Gastrektomie bei Magenkarzinom	1298	km						
Adjuvante Therapie bei kolo- rektalen Karzinomen	1663	adt						
Langzeitbeobachtung bei lymphoplasmazytoiden Immunozytomen	1487	lz						
<b>Chinin</b> Hohe Letalität von Tetanus- infektionen nach intra- muskulärer Injektion von Chinin	1681	km						
<b>Chirurgie; minimal-invasive</b> Derzeitiger Stellenwert der Laparoskopie in der onko- logischen Chirurgie	1518	kom						
Möglichkeiten der laparoskopischen Therapie innerer Hernien. Darstellung an drei Fällen	1199	kas						
<b>Chirurgie; onkologische</b> Derzeitiger Stellenwert der Laparoskopie in der onko- logischen Chirurgie	1518	kom						
<b>Chlamydien</b> Enteropathogenität von Chla- mydrien	1637	fr						
Isolierung von Chlamydia pneumoniae bei atypischer Pneumonie	1462	kas						
<b>Cholangiokarzinom</b> Diffus wachsendes Cholangio- karzinom	1282	mq						
<b>Cholangiopathie; HIV-asso- ziierte</b> HIV-assozierte Cholangio- pathie	1004	adt						
<b>Choledocholithiasis</b> (siehe Cholelithiasis)								
<b>Cholelithiasis</b> Kostenvergleich zwischen der laparoskopischen Cholezystektomie und der extrakorporalen Stoßwellen- lithotripsie in der Behandlung von Gallen- blasensteinen	1532	or						
<b>Cholesterin</b> Cholesterin und koronare Herzkrankheit	1059	km						
Cholesterin-Normalwerte im Kindesalter	1371	fr						
Einfluß spontan niedriger und diätetisch-medikamen- tös gesenkter Cholesterin- spiegel auf nicht-kardiovas- kuläre Todesursachen	1597	kom						
Fettarme Diät und körper- liches Training bei korona- rer Herzkrankheit	1017	lz						
<b>Cholesterinsteine</b> (siehe Cholelithiasis)								
<b>Cholezystektomie; laparo- skopische</b> Clip-Wanderung in den Ductus choledochus nach laparoskopischer Chole- zystektomie	1506	mq						
Kostenvergleich zwischen der laparoskopischen Cholezystektomie und der extrakorporalen Stoßwellen- lithotripsie in der Behandlung von Gallen- blasensteinen	1532	or						
Laparoskopische Cholezyst- ektomie nach Lebervor- operation	1184	lz						
<b>Cholezystolithiasis</b> (siehe Cholelithiasis)								
<b>Cholinesterase; im Serum</b> Serum-Cholinesterase	1016	fr						
<b>Choriongonadotropin; humanes</b> Indikation zur Amniozentese bei über 35jährigen Schwangeren aufgrund von Serummarkern	1413	km						
<b>Chromophore</b> (siehe Therapie; photodyna- mische)								
<b>Chromosomenaberrationen</b> Diagnose eines Ullrich- Turner-Syndroms im Rentengutachten	1115	kas						
Indikation zur Amniozentese bei über 35jährigen Schwangeren aufgrund von Serummarkern	1413	km						
Prader-Labhart-Willi- Syndrom	974	fr						
<b>Chromosomentransloka- tionen</b> Komplette Remission bei aku- ter Promyelozytenleuk- ämie. Vorteile von <i>all- trans</i> -Retinsäure im Ver- gleich mit konventioneller Chemotherapie	1143	or						
<b>Chronic Fatigue Syndrome</b> (siehe Müdigkeitssyndrom; chronisches)								
<b>Churg-Strauss-Syndrom</b> Churg-Strauss-Syndrom oder chronische eosinophile Pneumonie?	1565	lz						
<b>Ciclosporin</b> Kopfschmerzen unter Ciculo- sporin-Therapie	1135	fr						
Rolle von Endothelin bei den Ciclosporin-Nebenwirkun- gen Nephrotoxizität und arterielle Hypertonie	1706	üb						
<b>Ciguatera</b> Ciguatera. Neue Fälle von Fischvergiftung bei deut- schen Karibik-Urlaubern	975	lz						
<b>Cimino-Shunt</b> Generalisiertes IgG-Lambda- Plasmozytom und Stenose eines Cimino-Shunts durch plasmazelluläre Infiltration	1694	kas						
<b>Cisaprid</b> Therapie der gastroösopha- gealen Refluxkrankheit	1473	adt						
<b>Clearance; ösophageale</b> Diagnostik der gastroösopha- gealen Refluxkrankheit	1433	adt						
<b>Clostridium tetani</b> Hohe Letalität von Tetanus- infektionen nach intramus- kulärer Injektion von Chi- nin	1681	km						
<b>Clozapin</b> Therapie einer Clozapin-indu- zierten Agranulozytose mit granulozytenkolonie-stimu- lierendem Faktor	1467	kas						
<b>Coarctatio aortae</b> Postduktale Aortenisthmus- stenose (Coarctatio aortae)	1548	mq						
<b>Coeruloplasmin</b> Hämolytische Krise mit Leberversagen als Erstma- nifestation eines Morbus Wilson	1421	kas						
<b>Colitis granulomatosa</b> (siehe Morbus Crohn)								

**Rubrikenschlüssel**

adt = Aktuelle Diagnostik  
und Therapie  
ar = Arztrecht  
as = Der Arzneistoff  
epi = Epikrise

fr = Fragen aus der Praxis  
gt = Gedenktage  
kas = Kasuistiken  
km = Kleine Mitteilungen  
kom = Kommentare

la = Leitartikel  
lz = Leser-Zuschriften  
mg = Medizingeschichte  
mq = Mediquiz  
nk = Nekrologe

or = Originalien  
pp = Prinzip & Perspektive  
stp = Standpunkte  
üb = Übersichten

<b>Colitis ulcerosa</b>							
Endoskopische Diagnostik zur Prävention und Früherkennung des kolorektalen Karzinoms	1001	act					
Nicotinplaster bei Colitis ulcerosa	1261	km					
<b>Corpus alienum</b> (siehe Fremdkörper)							
<b>Corpus callosum</b> Agenesie des Corpus callosum (Balkenmangel)	1738	m q					
<b>CPAP</b> (siehe Überdruckbeatmung; kontinuierliche nasale)							
<b>Cromoglicinsäure</b> Asthma bronchiale	974	fr					
<b>CSF</b> (siehe Faktoren; kolonie-stimulierende)							
<b>Cutter-Impfstoff</b> Indikationen zur Pestimpfung und -chemoprophylaxe	1714	fr					
<b>D</b>							
<b>Darier-Zeichen</b> Schock und Gerinnungsstörungen bei systemischer Mastozytose	1231	kas					
<b>Darmperforation</b> Maligne atrophische Papulose	1427	kas					
Zeitintervall zwischen Koloskopie mit Biopsie und Kolonkontrasteinlauf	1333	fr					
<b>Dauerkatheter; intravasale</b> Infektionsprophylaxe bei Dauerverweilkatheten	1017	fr					
<b>Dauertherapie</b> Regelmäßige Asthma-Therapie mit $\beta$ -Sympathikomimetika	1020	km					
<b>Defibrillation</b> (siehe Kardioversion; elektrische)							
<b>Degeneration; hepatolentikuläre</b> (siehe Morbus Wilson)							
<b>Delta-Hepatitis</b> Aktueller Stand der Behandlung chronischer Virushepatitiden mit rekombinantem Interferon alpha	961	adt					
<b>Denver-Shunt</b> Therapie des Aszites bei Lebererkrankungen	1549	adt					
<b>Depressionen</b> Erfassung von Angst und Depressivität in der medizinischen Routineversorgung	1283	adt					
<b>Dermatitis; atopische</b> (siehe Ekzem; endogenes)							
<b>Desinfektion</b> Hautdesinfektion vor der Blutentnahme	1182	fr					
<b>Desmosomen</b> Harnstoff in der Dermatologie	1126	üb					
<b>Detubularisation</b> Aktuelle Möglichkeiten des kontinenten Harnblasenersatzes	1327	üb					
<b>Diabetes mellitus</b> Ambulante Versorgung von Diabetikern	1056	lz					
Angiotensin-Converting-Enzym-Hemmer bei der Behandlung der diabetischen Nephropathie	1298	km					
Insulinpflichtiger Diabetes mellitus nach 58 Jahren	1450	lz					
<b>Diabetes mellitus; Typ I</b> Carotiswandveränderungen bei jungen Typ-I-Diabetikern. Ultraschalldiagnostik der frühen Arteriosklerose	1225	or					
Intensivierte Behandlung des Diabetes mellitus Typ I und Entwicklung von Spätkomplikationen	976	km					
Kombinierte Nieren- und Pankreastransplantation beim diabetischen Spätsyndrom	1399	adt					
<b>Diagnostik; pränatale</b> Diagnostik und Therapie der konnatalen Toxoplasmose	1335	lz					
<b>Diathese; hämorrhagische</b> Komplette Remission bei akuter Promyelozytenleukämie. Vorteile von <i>all-trans</i> -Retinsäure im Vergleich mit konventioneller Chemotherapie	1143	or					
Neonatale Alloimmunthrombozytopenie	1512	üb					
<b>Diät</b> Diättherapie des Morbus Crohn	1140	km					
Fettarme Diät und körperliches Training bei koronarer Herzkrankheit	1017	lz					
<b>DiGeorge-Anomalie</b> Calcitriol-Gabe in der Schwangerschaft bei partieller DiGeorge-Anomalie	1776	kas					
<b>Digitalisüberdosierung</b> Reversible Thrombozytopenie bei Digitoxinüberdosierung	1734	kas					
<b>Diphtherie</b> Diphtherie-Auffrischimpfung bei Erwachsenen	1219	fr					
<b>Diskordanz; atrioventrikuläre</b> Kongenital korrigierte Transposition der großen Arterien im Erwachsenenalter. Wert nicht-invasiver Untersuchungsmethoden	1156	kas					
<b>Diskordanz; ventrikuloarterielle</b> Kongenital korrigierte Transposition der großen Arterien im Erwachsenenalter. Wert nicht-invasiver Untersuchungsmethoden	1156	kas					
<b>Dissektion; der Gefäß-intima</b> Paradoxe zerebrale Embolie oder Dissektion der Arteria carotis interna?	1183	lz					
<b>DNA-Amplifikation</b> Klinische Bedeutung der Polymerase-Kettenreaktion in der Infektiologie	1625	adt					
<b>DNS-Addukte</b> Sekundäre Neoplasien nach Immunsuppression	1747	üb					
<b>Dokumentation; medizinische</b> ICD-Verschlüsselung und Pflege-Personalregelung	1412	lz					
<b>Doppelmembranfiltration</b> (siehe LDL-Apherese)							
<b>Dopplerechokardiographie</b> Dopplerechokardiographie bei chronischer rechtsventrikulärer Druckbelastung	1061	or					
<b>Doppler-Index</b> Retrograde Katheter-Rekanalisation langstreckiger Verschlüsse der Arteria femoralis superficialis	948	or					
<b>Dopplersonographie</b> Dopplersonographie peripherer Arterien bei tiefer Inspiration zur Überprüfung der sympathischen Gefäßinnervation	1567	km					
<b>Dopplersonographie; farb-kodierte</b> Farbdopplersonographisch gesteuerte perkutane Alkoholinstillation zur Therapie der funktionellen Schilddrüsenautonomie	1607	or					
<b>Dosisäquivalenz</b> Problematik des Äquivalenzbegriffes bei der Therapie mit Glucocorticoiden. Ein Vergleich der klinischen Pharmakokinetik und Pharmakodynamik von Prednisolon und Methylprednisolon	1671	üb					
<b>Down-Syndrom</b> (siehe Trisomie 21)							
<b>Drogenabusus</b> Zerebrale Anfälle unter Doxepin während einer Substitution mit Dihydrocodein	1260	lz					
<b>Droopy-shoulder-Syndrom</b> Neurologische Symptomatik, Diagnostik und Therapie des sogenannten »thoracic-outlet-syndrome«	1087	üb					
<b>Dual-Energy-X-Ray Absorptiometrie</b> Diagnostik des Osteoporoserisikos. Neue Entwicklungen und »State of the Art« 1994	1289	üb					



Einfluß einer niedrigdosierten Hydrochlorothiazidtherapie auf den Knochenmineralgehalt des axialen und peripheren Skeletts	1645	or	<b>Echokardiographie; transösophageale</b> Akute Aortendissektion. Diagnose durch transthorakale Echokardiographie	1297	lz	Spontaner Echokontrast im linken Ventrikel als Indikator für ein erhöhtes Thromboembolie-Risiko	1317	kas
<b>Dual-Photonenabsorptiometrie</b>			Akute Mitralinsuffizienz bei Osteogenesis imperfecta	1101	lz	Zerebraler ischämischer Insult. Wertigkeit der transösophagealen Echokardiographie in der Diagnostik kardialer Emboliequellen	1585	adt
Diagnostik des Osteoporosierisikos. Neue Entwicklungen und »State of the Art« 1994	1289	üb	Echokardiographie bei Endokarditis	1006	üb	<b>Embolie; paradoxe</b> Paradoxe zerebrale Embolie oder Dissektion der Arteria carotis interna?	1183	lz
<b>Duodenaldivertikel; juxta-papilläres</b>			Klinische Bedeutung und echokardiographischer Nachweis von Aneurysmen des Vorhofseptums	1205	adt	<b>Embolie; pulmonale</b> (siehe Lungenembolie)		
Juxta papilläres Duodenaldivertikel	1661	mq	Kongenital korrigierte Transposition der großen Arterien im Erwachsenenalter. Wert nicht-invasiver Untersuchungsmethoden	1156	kas	<b>Embryologie</b> Kallmann-Syndrom. Pathophysiologie und Klinik	1436	üb
<b>Duodenopankreatektomie</b>			Zerebraler ischämischer Insult. Wertigkeit der transösophagealen Echokardiographie in der Diagnostik kardialer Emboliequellen	1585	adt	<b>Embryopathien</b> Windpocken in der ersten Schwangerschaftshälfte	1527	km
Pylorus erhalten - »a never ending story«	1372	lz	<b>Echokontrast; spontaner intrakardialer</b> Spontaner Echokontrast im linken Ventrikel als Indikator für ein erhöhtes Thromboembolie-Risiko	1317	kas	<b>Empfängnisverhütung</b> Hodenkrebsrisiko nach Vasektomie	1757	km
<b>Durchblutungsstörungen; arterielle</b>			<b>Eczema craquelé</b> Eczema craquelé	1203	mq	<b>Enantiomere</b> Sotalol	1477	as
Akute Ischämie eines Armes als ungewöhnlicher Ausdruck eines Ergotismus	1501	kas	<b>Einschlußverbindungen</b> Harnstoff in der Dermatologie	1126	üb	<b>Endokarditis</b> Echokardiographie bei Endokarditis	1006	üb
Maligne atrophische Papulose	1427	kas	<b>Eisenstoffwechsel</b> Eisenmangelanämie	1403	pp	<b>Endotheldysfunktion</b> Angina pectoris und normales Koronarangiogramm bei arterieller Hypertonie und linksventrikulärer Hypertrophie	1175	üb
Takayasu-Arteriitis	1801	fr	Grundlagen des Eisenstoffwechsels	1287	pp	Gesteigerte vasculäre Sensitivität auf Nitroglycerin bei Patienten mit Hypercholesterinämie und peripherer Endotheldysfunktion	1065	or
<b>Dysfunktionen; postischämische myokardiale</b>			Hiatushernie	1398	mq	<b>Endothelfärbungen</b> Tumorgefäßinvasion beim Mammakarzinom. Hämatoxilin-Eosin- versus immunhistochemische Färbung gegen Faktor-VIII-Antigen	1491	or
Pathophysiologie der Myokarddurchblutung. Teil II: Postischämische kontraktile Dysfunktion (»stunned«-Myokard)	1745	pp	<b>Ekzem; endogenes</b> Behandlung der Neurodermitis mit Liposomen?	1219	fr	<b>Endothelin</b> Rolle von Endothelin bei den Ciclosporin-Nebenwirkungen Nephrotoxizität und arterielle Hypertonie	1706	üb
<b>Dyspnoe</b>			Harnstoff in der Dermatologie	1126	üb	<b>Endothelinrezeptor-Antagonisten</b> Rolle von Endothelin bei den Ciclosporin-Nebenwirkungen Nephrotoxizität und arterielle Hypertonie	1706	üb
»Bronchiolitis obliterans organizing pneumonia« mit akuter respiratorischer Insuffizienz	1312	kas	Ist die Neurodermitis eine Krankheit der höheren sozialen Schichten?	1757	km			
<b>Dysraphiesyndrome</b>			<b>Elektrolythaushalt</b> Therapie des Aszites bei Lebererkrankungen	1549	adt			
Syringomyelie als seltene Ursache einer beatmungspflichtigen respiratorischen Insuffizienz	1771	kas	<b>Elektrostimulation; kardiale transösophageale</b> Therapie bradykarder und tachykarder Rhythmusstörungen durch transösophageale Elektrostimulation des Herzens	1405	üb			
<b>Dysregulationen; neuro-endokrinologische</b>			<b>Eliminationsdiät</b> Diättherapie des Morbus Crohn	1140	km			
Fibromyalgie-Syndrom	1639	lz	<b>Embolie; kardiogene</b> Klinische Bedeutung und echokardiographischer Nachweis von Aneurysmen des Vorhofseptums	1205	adt			

## E

**Ebstein-Anomalie**

Ebstein-Anomalie 1782 mq

**Echokardiographie**

Echokardiographie bei Endokarditis 1006 üb

Spontaner Echokontrast im linken Ventrikel als Indikator für ein erhöhtes Thromboembolie-Risiko 1317 kas

**Rubrikenschlüssel**

adt = Aktuelle Diagnostik und Therapie

ar = Arztrecht

as = Der Arzneistoff

epi = Epikrise

fr = Fragen aus der Praxis

gt = Gedenktage

kas = Kasuistiken

km = Kleine Mitteilungen

kom = Kommentare

la = Leitartikel

lz = Leser-Zuschriften

mg = Medizingeschichte

mq = Mediquiz

nk = Nekrologe

or = Originalien

pp = Prinzip &amp; Perspektive

stp = Standpunkte

üb = Übersichten



Paradoxe zerebrale Embolie oder Dissektion der Arteria carotis interna?	1183	lz	<b>Gammopathie; monoklonale</b>		<b>Gesundheitsfürsorge</b>		
<b>Forsa ovalis</b>			Generalisiertes IgG-Lambda-Plasmozytom und Stenose eines Cimino-Shunts durch plasmazelluläre Infiltration	1694	kas	Placebo-kontrollierte Untersuchung zur Wirksamkeit der Influenza-Schutzimpfung?	1057 lz
Klinische Bedeutung und echokardiographischer Nachweis von Aneurysmen des Vorhofseptums	1205	adt	<b>Ganglien</b>			<b>Gesundheitsstrukturgesetz</b>	
<b>Frakturen; osteoporotische</b>			Baker-Zyste	1040	mq	ICD-Verschlüsselung und Pflege-Personalregelung	1412 lz
Einfluß einer niedrigdosierten Hydrochlorothiazidtherapie auf den Knochenmineralgehalt des axialen und peripheren Skeletts	1645	or	Hermann von Helmholtz (1821-1894) – Militärarzt, Sinnesphysiologe und »Reichskanzler der deutschen Physik«. Zum 100. Todestag des universalen Arztes und Naturforschers	1215	mg	<b>Gewebe-Plasminogenaktivator</b>	
Vitamin D und Osteoporose. Pathogenese – Therapie	1479	üb	<b>Gastrektomie</b>			(siehe Fibrinolyse)	
<b>Fremdkörperingestion</b>			Adjuvante Chemotherapie nach kurativer Gastrektomie bei Magenkarzinom	1298	km	<b>Gilman, Alfred G.</b>	
Präsakrale Phlegmone und Meningitis als Komplikationen eines Fremdkörpers im Rektosigmoid	990	kas	<b>Gastritis</b>			Nobelpreis für Medizin 1994	1792 kom
<b>Frischblut</b>			Modifizierter <sup>13</sup> C-Atemtest in der Diagnostik der Helicobacter-pylori-Besiedlung der gastralen Mucosa	1569	or	<b>Glioblastom</b>	
Rationale Substitution mit Blut- und Blutbestandteilkonserven	1555	üb	<b>Gastroplexie</b>			Glioblastom	1000 mq
<b>Frischplasma; gefrorenes</b>			Behandlung eines intermittierenden Magenvolvulus durch Gastroplexie mittels perkutaner endoskopischer Gastrostomie	1658	kas	<b>Gliose</b>	
Rationale Substitution mit Blut- und Blutbestandteilkonserven	1555	üb	<b>Gefäßtonus; Regulation</b>			Syringomyelie als seltene Ursache einer beatmungspflichtigen respiratorischen Insuffizienz	1771 kas
<b>Früherkennung; von Malignomen</b>			Gesteigerte vaskuläre Sensitivität auf Nitroglycerin bei Patienten mit Hypercholesterinämie und peripherer Endotheldysfunktion	1065	or	<b>Glomerulonephritis</b>	
Tiefe Venenthrombose und okkulte, maligne Neoplasien	1719	km	<b>Gelenkluxationen</b>			Einseitige diffuse Lungenbeteiligung bei Vaskulitis mit Anti-Neutrophilen-Zytoplasma-Antikörpern sowie Antikörpern gegen glomeruläre Basalmembranen	1071 kas
<b>Frühgeburtlichkeit</b>			Larson-Syndrom	1584	mq	<b>Gnathostomiasis</b>	
Psychische Belastung in der Schwangerschaft und Frühgeburt	1141	km	<b>Gentechnologie</b>			Gnathostomiasis nach Aufenthalt in Thailand	1618 kas
<b>Fundusvarizen</b>			Klinische Bedeutung der Polymerase-Kettenreaktion in der Infektiologie	1625	adt	<b>Gonadendysgenese</b>	
Fundusvarizen	959	mq	<b>Gerinnung</b>			Diagnose eines Ullrich-Turner-Syndroms im Rentengutachten	1115 kas
<b>G</b>							
<b>Gallenblasenmotilitätsstörungen</b>			Ist die »International Normalized Ratio (INR)« in der klinischen Praxis unentbehrlich?	1529	la	<b>Gonadorelin</b>	
Gallenblasen-Sludge und Einnahme von Lipidsenkern	1524	fr	<b>Gerinnungsfaktoren</b>			Kallmann-Syndrom. Pathophysiologie und Klinik	1436 üb
<b>Gambierdiscus toxicus</b>			Rationale Substitution mit Blut- und Blutbestandteilkonserven	1555	üb	<b>Goodpasture-Syndrom</b>	
Ciguatera. Neue Fälle von Fischvergiftung bei deutschen Karibik-Urlaubern	975	lz	<b>Gerinnungsstörungen</b>			Einseitige diffuse Lungenbeteiligung bei Vaskulitis mit Anti-Neutrophilen-Zytoplasma-Antikörpern sowie Antikörpern gegen glomeruläre Basalmembranen	1071 kas
<b>Gamma-Glutamyltransferase</b>			Resistenz gegenüber aktiviertem Protein C	1680	km	<b>G-Proteine</b>	
Die erhöhte Gamma-GT (Gamma-Glutamyltransferase). Ursachen und Interpretationen	1041	adt	Schock und Gerinnungsstörungen bei systemischer Mastozytose	1231	kas	Nobelpreis für Medizin 1994	1792 kom
			<b>Geschäftsfähigkeit</b>			<b>Granulocyte-Colony-Stimulating-Factor</b>	
			Geschäftsfähigkeit bei hohem Blutalkoholspiegel	1602	fr	Schwere Panzytopenie im hohen Lebensalter nach zwölfmonatiger ACE-Hemmer-Therapie	1029 kas
						Therapie einer Clozapin-induzierten Agranulozytose mit granulozytenkolonie-stimulierendem Faktor	1467 kas

**Rubrikschlüssel**

adt = Aktuelle Diagnostik und Therapie  
 ar = Arztrecht  
 as = Der Arzneistoff  
 epi = Epikrise

fr = Fragen aus der Praxis  
 gt = Gedenktage  
 kas = Kasuistiken  
 km = Kleine Mitteilungen  
 kom = Kommentare

la = Leitartikel  
 lz = Leser-Zuschriften  
 mg = Medizingeschichte  
 mq = Mediquiz  
 nk = Nekrologe

or = Originalien  
 pp = Prinzip & Perspektive  
 stp = Standpunkte  
 üb = Übersichten

- Granulocyte-Macrophage-Colony-Stimulating-Factor**  
Therapie einer Clozapin-induzierten Agranulozytose mit granulozytenkolonie-stimulierendem Faktor 1467 kas
- Granulome; eosinophile**  
Churg-Strauss-Syndrom oder chronische eosinophile Pneumonie? 1565 lz
- Gravidität**  
(siehe Schwangerschaft)
- Grenzstrangdurchtrennung**  
Endoskopische transthorakale Sympathektomie bei paraneoplastischem Raynaud-Syndrom 1162 kas
- GSG**  
(siehe Gesundheitsstrukturgesetz)
- Guillain-Barré-Syndrom**  
Immunglobuline zur Therapie des Guillain-Barré-Syndroms im Kindesalter 1449 lz
- Intensivtherapie des Guillain-Barré-Syndroms 1248 üb
- H**
- HAD-Skala**  
Erfassung von Angst und Depressivität in der medizinischen Routineversorgung 1283 adt
- Haffkin-Impfstoff**  
Indikationen zur Pestimpfung und -chemoprophylaxe 1714 fr
- Halsrippe**  
Neurologische Symptomatik, Diagnostik und Therapie des sogenannten »thoracic-outlet-syndromes« 1087 üb
- Handtumoren**  
Differentialdiagnose knotiger Tumoren an der Hand 1101 lz
- Harnblasenersatz**  
Aktuelle Möglichkeiten des kontinenten Harnblasenersatzes 1327 üb
- Harnproduktion**  
Glomeruläre Hyperperfusion und Niereninsuffizienz 1136 fr
- Harnsäure**  
Allopurinol 1045 as
- Harnstoff**  
Harnstoff in der Dermatologie 1126 üb  
Modifizierter <sup>13</sup>C-Atemtest in der Diagnostik der Helicobacter-pylori-Besiedlung der gastralen Mucosa 1569 or
- Harnstoffzyklus**  
Harnstoff in der Dermatologie 1126 üb
- Hautdesinfektion**  
Hautdesinfektion vor der Blutentnahme 1182 fr
- Hauttumoren**  
Differentialdiagnose knotiger Tumoren an der Hand 1101 lz  
Risiken der Sonnenexposition 1047 üb
- Hämodialyse**  
Akute Hämolyse mit nachfolgender lebensbedrohlicher Pankreatitis bei Hämodialyse. Eine Komplikation, die von den derzeitigen Dialysegeräten nicht verhindert wird 1263 or  
Fortschritte der chronischen Dialyse-Behandlung in den neuen Bundesländern 1261 km  
Impfungen bei chronischer Niereninsuffizienz und nach Nierentransplantation 1323 adt
- Hämodynamik**  
Gesteigerte vaskuläre Sensitivität auf Nitroglycerin bei Patienten mit Hypercholesterinämie und peripherer Endotheldysfunktion 1065 or
- Hämoglobin; glykosyliertes**  
Ambulante Versorgung von Diabetikern 1056 lz
- Hämolyse; extravasale**  
Akute Hämolyse mit nachfolgender lebensbedrohlicher Pankreatitis bei Hämodialyse. Eine Komplikation, die von den derzeitigen Dialysegeräten nicht verhindert wird 1263 or
- Hämostase**  
Resistenz gegenüber aktiviertem Protein C 1680 km
- Hämotherapie**  
»Look-back«-Studie der DRK-Blutspendedienste 1643 km  
Neonatale Alloimmunthrombozytopenie 1512 üb  
Rationale Substitution mit Blut- und Blutbestandteilkonserven 1555 üb  
Universal-Spenderblut 1019 lz
- HCG**  
(siehe Choriongonadotropin; humanes)
- HDL-Cholesterin**  
Fischaugenkrankheit 1393 kas
- Heiserkeit**  
Heiserkeit bei Polymyalgia rheumatica 1566 lz
- Helicobacter pylori**  
Ist die Ulcuskrankheit eine Infektionskrankheit? 1488 km  
Modifizierter <sup>13</sup>C-Atemtest in der Diagnostik der Helicobacter-pylori-Besiedlung der gastralen Mucosa 1569 or  
Übertragungsmodus von Helicobacter pylori 1719 km
- v. Helmholtz; Hermann**  
Hermann v. Helmholtz (1821-1894) - Militärarzt, Sinnerphysiologe und »Reichskanzler der deutschen Physik«. Zum 100. Todestag des universalen Arztes und Naturforschers 1215 mg
- Heparin; niedermolekulares**  
Einsatz von niedermolekularem Heparin zur Antikoagulation in der Schwangerschaft 1497 kas
- Hepatitis; chronische**  
Epidemiologie und Klinik der chronischen Virushepatitis 1365 üb
- Hepatitis B**  
Aktueller Stand der Behandlung chronischer Virushepatitiden mit rekombinantem Interferon alpha 961 adt  
Akzidentelle Nadelstichverletzung bei medizinischem Pflegepersonal 1563 fr  
Epidemiologie und Klinik der chronischen Virushepatitis 1365 üb  
Hepatitis-B-assoziierte Vasculitis. Verlauf unter Therapie mit Glucocorticoiden und Alpha-Interferon 1388 kas
- Hepatitis C**  
Aktueller Stand der Behandlung chronischer Virushepatitiden mit rekombinantem Interferon alpha 961 adt  
Akzidentelle Nadelstichverletzung bei medizinischem Pflegepersonal 1563 fr  
Chronische Hepatitis C bei Typ-II-Kryoglobulinämie und kutaner Vasculitis 1239 kas  
Epidemiologie und Klinik der chronischen Virushepatitis 1365 üb
- Hepatitis D**  
Epidemiologie und Klinik der chronischen Virushepatitis 1365 üb
- Hernien; innere**  
Möglichkeiten der laparoskopischen Therapie innerer Hernien. Darstellung an drei Fällen 1199 kas
- Herpes zoster**  
Wirksamkeit von Aciclovir und Glucocorticoiden in der Behandlung des Herpes zoster und postzosterischer Neuralgien 1526 km
- Herpes-simplex-Virus-Infektionen**  
Chronische Müdigkeit und Herpes-Virus-Antikörper 1296 fr
- Herzinfarkt**  
(siehe Myokardinfarkt)
- Herzinsuffizienz**  
Beta-Rezeptorenblocker bei dilatativer Kardiomyopathie 1604 km

<b>Herzklappenfehler</b>			<b>Herztod; plötzlicher</b>		Ösophago-mediastinale	1613	kas
Akute Mitralinsuffizienz bei Osteogenesis imperfecta	1101	lz	Akute Myokardischämie, ventrikuläre Tachyarrhythmien und plötzlicher Herztod	1786	Fisteln als seltene Komplikation der Tuberkulose bei einem HIV-infizierten Patienten		
<b>Herzklappenprothesen</b>			<b>Herztransplantation</b>		Sinusitis bei HIV-Infektion	1759	or
Echokardiographie bei Endokarditis	1006	üb	Primär kutane Nocardia-farcinica-Infektion nach Herztransplantation	1276	Sputumuntersuchung zur Diagnostik der Pneumocystis-carinii-Pneumonie bei HIV-Infizierten	1151	or
<b>Herzkrankheit; koronare</b>			Primär kutane Nocardia-farcinica-Infektion nach Herztransplantation (Berichtigung)	1568	Unverträglichkeit der Tuberkulose-therapie bei AIDS	1728	kas
Cholesterin und koronare Herzkrankheit	1059	km	<b>Herzvitien; angeborene</b>		Zidovudin bei asymptomatischen HIV-Patienten?	1374	km
Einfluß spontan niedriger und diätetisch-medikamentös gesenkter Cholesterinspiegel auf nicht-kardiovaskuläre Todesursachen	1597	kom	Ebstein-Anomalie	1782	<b>HLA-Typisierung</b>		
Fettarme Diät und körperliches Training bei koronarer Herzkrankheit	1017	lz	Großer subaortaler Ventrikelseptumdefekt	1583	Aufbau der Deutschen Knochenmarkspenderdatei	1359	adt
Zentralnervöse Vermittlung der Angina pectoris	1604	km	Komplette Transposition der großen Arterien	1662	<b>Hodenkrebs</b>		
<b>Herzrhythmusstörungen</b>			Kongenital korrigierte Transposition der großen Arterien im Erwachsenenalter. Wert nicht-invasiver Untersuchungsmethoden	1156	Hodenkrebsrisiko nach Vasektomie	1757	km
Adenosintriphosphat (ATP) bei supraventrikulären Tachykardien im Neugeborenen- und Säuglingsalter	1351	kas	<b>Herzvitien; erworbene</b>		<b>Hormon; Antidiuretisches; Syndrom der inadäquaten Sekretion</b>		
Akute Myokardischämie, ventrikuläre Tachyarrhythmien und plötzlicher Herztod	1786	üb	Operationsindikation bei asymptomatischer hochgradiger Aortenklappenstenose	1630	Hyponatriämisches Koma	1139	lz
Idiopathisches QT-Syndrom (Romano-Ward-Syndrom)	1204	mq	<b>Heyde-Syndrom</b>		<b>Hornhauttrübung</b>		
Idioventrikulärer Rhythmus	1432	mq	Endoskopische intraoperative Diagnostik einer blutenden Angiodysplasie im Jejunum beim Heyde-Syndrom	1603	Fischaugenkrankheit	1393	kas
Klinische Bedeutung des Ajmalin-Tests in der nicht-invasiven Diagnostik bei Wolff-Parkinson-White-Syndrom	985	or	<b>Hiatushernie</b>		<b>H<sub>2</sub>-Rezeptor-Antagonisten</b>		
Magnesium bei Herzinfarkt	1102	km	Hiatushernie	1398	Therapie der gastroösophagealen Refluxkrankheit	1473	adt
Magnesium-Infusion bei akutem Herzinfarkt	1800	fr	<b>Hibernating-Myokard</b>		<b>Humanalbumin</b>		
Morbidität und Letalität bei Schlafapnoe und nächtlichen Bradyarrhythmien	1187	or	Pathophysiologie der Myokarddurchblutung. Teil I: Adaptation an Myokardischämie (»hibernating«-Myokard)	1589	Rationale Substitution mit Blut- und Blutbestandteilkonserven	1555	üb
Schrittmachertherapie beim Syndrom des kranken Sinusknotens. Senken vorhoffeteiligte Schrittmachersysteme die Häufigkeit von Vorhofflimmern und thromboembolischen Komplikationen sowie die Mortalität?	1683	or	<b>Hiob-Syndrom</b>		<b>Hybridisierung</b>		
Therapie bradykarder und tachykarder Rhythmusstörungen durch transösophageale Elektrostimulation des Herzens	1405	üb	(siehe Hyper-IgE-Syndrom)		Klinische Bedeutung der Polymerase-Kettenreaktion in der Infektiologie	1625	adt
<b>Herzschritmacher</b>			<b>Hirnfarkt</b>		<b>Hydrocele testis</b>		
Schrittmachertherapie beim Syndrom des kranken Sinusknotens. Senken vorhoffeteiligte Schrittmachersysteme die Häufigkeit von Vorhofflimmern und thromboembolischen Komplikationen sowie die Mortalität?	1683	or	(siehe Insult; zerebraler)		Eingeklemmte Leistenhernie. Hydrocele testis	1358	mq
			<b>Hirntumoren</b>		<b>Hydrochlorothiazid</b>		
			Glioblastom	1000	Einfluß einer niedrigdosierten Hydrochlorothiazidtherapie auf den Knochenmineralgehalt des axialen und peripheren Skeletts	1645	or
			<b>HIV-Antikörper-Test</b>		<b>25-Hydroxy-Vitamin-D<sub>3</sub></b>		
			»Look-back«-Studie der DRK-Blutspendedienste	1643	Vitamin D und Osteoporose. Pathogenese - Therapie	1479	üb
			<b>HIV-Infektion</b>		<b>Hymenopterengift</b>		
			Akzidentelle Nadelstichverletzung bei medizinischem Pflegepersonal	1563	Besteht bei einer Insektengift-Allergie immer die Indikation für eine Hyposensibilisierung?	1093	la
			HIV-assoziierte Cholangiopathie	1004	<b>Hypakusis</b>		
			HIV-Übertragung bei heterosexuellen Partnern	1805	Diagnose eines Ullrich-Turner-Syndroms im Renten-gutachten	1115	kas
			»Look-back«-Studie der DRK-Blutspendedienste	1643			

**Rubrikenschlüssel**

adt = Aktuelle Diagnostik und Therapie  
 ar = Arztrecht  
 as = Der Arzneistoff  
 epi = Epikrise

fr = Fragen aus der Praxis  
 gt = Gedenktage  
 kas = Kasuistiken  
 km = Kleine Mitteilungen  
 kom = Kommentare

la = Leitartikel  
 lz = Leser-Zuschriften  
 mg = Medizingeschichte  
 mq = Mediquiz  
 nk = Nekrologe

or = Originalien  
 pp = Prinzip & Perspektive  
 stp = Standpunkte  
 üb = Übersichten

<b>Hypercalcämie</b>						
Asymptomatischer primärer Hyperparathyreoidismus. Behandeln oder beobachten?	967	üb				
Neuropsychiatrische Symptomatik bei primärem Hyperparathyreoidismus	1076	kas				
<b>Hypercholesterinämie</b>						
Gallenblasen-Sludge und Einnahme von Lipidsenkern	1524	fr				
Gesteigerte vaskuläre Sensitivität auf Nitroglycerin bei Patienten mit Hypercholesterinämie und peripherer Endotheldysfunktion	1065	or				
Hypercholesterinämie	1099	fr				
<b>Hyperfiltration; glomeruläre</b>						
Glomeruläre Hyperperfusion und Niereninsuffizienz	1136	fr				
<b>Hyper-IgE-Syndrom</b>						
Hyper-IgE-Syndrom (Synonyma: Hiob-Syndrom, Buckley-Syndrom, »Job's syndrome«)	1121	mq				
<b>Hyperkapnie</b>						
Ventilatorische Insuffizienz und hyperkapnische Kompensation infolge chronisch belasteter »Atempumpe«. Physiologie, Pathophysiologie und Therapie	1209	üb				
<b>Hyperkeratosen</b>						
Harnstoff in der Dermatologie	1126	üb				
<b>Hyperleukozytosesyndrom</b>						
Komplette Remission bei akuter Promyelozytenleukämie. Vorteile von <i>all-trans</i> -Retinsäure im Vergleich mit konventioneller Chemotherapie	1143	or				
<b>Hyperlipidämie</b>						
Cholesterin und koronare Herzkrankheit	1059	km				
Fettarme Diät und körperliches Training bei koronarer Herzkrankheit	1017	lz				
Gallenblasen-Sludge und Einnahme von Lipidsenkern	1524	fr				
<b>Hypermagnesiämie</b>						
Magnesium	1669	as				
<b>Hyperparathyreoidismus; primärer</b>						
Asymptomatischer primärer Hyperparathyreoidismus. Behandeln oder beobachten?	967	üb				
Neuropsychiatrische Symptomatik bei primärem Hyperparathyreoidismus	1076	kas				
<b>Hyperperfusion; glomeruläre</b>						
Glomeruläre Hyperperfusion und Niereninsuffizienz	1136	fr				
<b>Hyperphagie</b>						
Prader-Labhart-Willi-Syndrom	974	fr				
<b>Hyperphosphatämie</b>						
Calcitriol-Gabe in der Schwangerschaft bei partieller DiGeorge-Anomalie	1776	kas				
<b>Hyperpigmentierung</b>						
Interdisziplinäre Aspekte der Notalgia paraesthetica	1307	kas				
<b>Hyperthyreose</b>						
Farbdopplersonographisch gesteuerte perkutane Alkoholinstillation zur Therapie der funktionellen Schilddrüsenautonomie	1607	or				
Jodinduzierte Hyperthyreose bei metastasiertem Schilddrüsenkarzinom	1573	kas				
Jodprophylaxe in der Schwangerschaft	1339	la				
Latente Hyperthyreose	1334	fr				
Neonatale Hyperthyreose bei nicht diagnostiziertem Morbus Basedow der Mutter. Probleme der Diagnostik und Therapie anhand einer Kasuistik	1346	kas				
<b>Hypertonie; arterielle</b>						
Angina pectoris und normales Koronarangiogramm bei arterieller Hypertonie und linksventrikulärer Hypertrophie	1175	üb				
Angiotensin-Converting-Enzym-Hemmer bei der Behandlung der diabetischen Nephropathie	1298	km				
Asymptomatischer primärer Hyperparathyreoidismus. Behandeln oder beobachten?	967	üb				
Renin-Angiotensin-System und Blutdruckregulation	965	pp				
Rolle von Endothelin bei den Cyclosporin-Nebenwirkungen Nephrotoxizität und arterielle Hypertonie	1706	üb				
Symptomatik und endokrinologische Befunde bei catecholamin-sezernierenden Tumoren. Ergebnisse bei 106 konsekutiven Patienten	1721	or				
<b>Hypertonie; portale</b>						
Endoskopische Therapie der Ösophagusvarizenblutung	1443	kom				
Lebervenenverschlußdruckmessung	1245	adt				
<b>Hypertonie; pulmonale</b>						
Dopplerechokardiographie bei chronischer rechtsventrikulärer Druckbelastung	1061	or				
<b>Hypertrophie; linksventrikuläre</b>						
Angina pectoris und normales Koronarangiogramm bei arterieller Hypertonie und linksventrikulärer Hypertrophie	1175	üb				
<b>Hyperurikämie</b>						
Allopurinol	1045	as				
<b>Hypobetalipoproteinämie</b>						
Hypocholesterinämie	1677	fr				
<b>Hypocalcämie</b>						
Calcitriol-Gabe in der Schwangerschaft bei partieller DiGeorge-Anomalie	1776	kas				
Hypocalcämische Kardiomyopathie als Ursache einer schweren Linksherzinsuffizienz	1270	kas				
Hypocalcämische Kardiomyopathie als Ursache einer schweren Linksherzinsuffizienz (Berichtigung)	1414					
<b>Hypocholesterinämie</b>						
Hypocholesterinämie	1677	fr				
<b>Hypogonadismus; hypogonadotroper</b>						
Kallmann-Syndrom. Pathophysiologie und Klinik	1436	üb				
<b>Hypokomplementämie</b>						
Chronische Hepatitis C bei Typ-II-Kryoglobulinämie und kutaner Vasculitis	1239	kas				
<b>Hyponatriämie</b>						
Hyponatriämisches Koma	1139	lz				
<b>Hypoparathyreoidismus; idiopathischer</b>						
Calcitriol-Gabe in der Schwangerschaft bei partieller DiGeorge-Anomalie	1776	kas				
<b>Hyposensibilisierung</b>						
Besteht bei einer Insektengift-Allergie immer die Indikation für eine Hyposensibilisierung?	1093	la				
<b>Hyposmie</b>						
Kallmann-Syndrom. Pathophysiologie und Klinik	1436	üb				
<b>Hypotriglyceridämie</b>						
Hypocholesterinämie	1677	fr				
<b>Hypoxämie</b>						
Ventilatorische Insuffizienz und hyperkapnische Kompensation infolge chronisch belasteter »Atempumpe«. Physiologie, Pathophysiologie und Therapie	1209	üb				
<b>I</b>						
<b>ICD-Schlüssel</b>						
ICD-Verschlüsselung und Pflege-Personalregelung	1412	lz				
<b>IgE</b>						
(siehe Immunglobulin E)						
<b>Ileum-Pouch</b>						
Aktuelle Möglichkeiten des kontinenten Harnblasenersatzes	1327	üb				
<b>Ileus</b>						
Endoskopische Ballondilatation symptomatischer Strikturen bei Morbus Crohn	1377	or				
Möglichkeiten der laparoskopischen Therapie innerer Hernien. Darstellung an drei Fällen	1199	kas				

<b>Imidazolpräparate</b>			Epidemiologie und Klinik der chronischen Virushepatitis	1365	üb	<b>Infektionen; opportunistische</b>		
Therapie kutaner und mukokutaner Leishmaniosen	1169	adt	Hepatitis-A-Impfung	1800	fr	Primär kutane Nocardia-farctica-Infektion nach Herztransplantation	1276	kas
<b>Immunadsorption</b> (siehe LDL-Apherese)			Impfungen bei chronischer Niereninsuffizienz und nach Nierentransplantation	1323	adt	Primär kutane Nocardia-farctica-Infektion nach Herztransplantation (Berichtigung)	1568	
<b>Immunchemotherapie</b>			Indikationen zur Pestimpfung und -chemoprophylaxe	1714	fr	Sinusitis bei HIV-Infektion	1759	or
Adjuvante Chemotherapie nach kurativer Gastrektomie bei Magenkarzinom	1298	km	Placebo-kontrollierte Untersuchung zur Wirksamkeit der Influenza-Schutzimpfung?	1057	lz	Sputumuntersuchung zur Diagnostik der Pneumocystis-carinii-Pneumonie bei HIV-Infizierten	1151	or
<b>Immundefektsyndrom; humanes erworbenes</b>			<b>Immunkomplexkrankheiten</b>			Unverträglichkeit der Tuberkulosetherapie bei AIDS	1728	kas
Akzidentelle Nadelstichverletzung bei medizinischem Pflegepersonal	1563	fr	Hepatitis-B-assoziierte Vasculitis. Verlauf unter Therapie mit Glucocorticoiden und Alpha-Interferon	1388	kas	<b>Infektionsprophylaxe</b>		
HIV-assoziierte Cholangiopathie	1004	adt	<b>Immundefizienz</b>			Infektionsprophylaxe bei Dauerverweilkanülen	1017	fr
Idiopathische CD4-Lymphozytopenie mit letaler Salmonella-typhimurium-Sepsis	956	kas	Hepatitis-B-assoziierte Vasculitis. Verlauf unter Therapie mit Glucocorticoiden und Alpha-Interferon	1388	kas	<b>Infiltrate; eosinophile pulmonale</b>		
»Look-back«-Studie der DRK-Blutspendedienste	1643	km	<b>Immundefizienz</b>			Churg-Strauss-Syndrom oder chronische eosinophile Pneumonie?	1565	lz
Ösophago-mediastinale Fisteln als seltene Komplikation der Tuberkulose bei einem HIV-infizierten Patienten	1613	kas	Immunglobuline zur Therapie des Guillain-Barré-Syndroms im Kindesalter	1449	lz	<b>Infiltrate; intrapulmonale</b>		
Sputumuntersuchung zur Diagnostik der Pneumocystis-carinii-Pneumonie bei HIV-Infizierten	1151	or	Impfungen bei chronischer Niereninsuffizienz und nach Nierentransplantation	1323	adt	Differentialdiagnose von Rundherden nach Lungentransplantation	1105	or
Unverträglichkeit der Tuberkulosetherapie bei AIDS	1728	kas	Therapie der multiplen Sklerose	1371	fr	<b>Influenza</b>		
Zidovudin bei asymptomatischen HIV-Patienten?	1374	km	<b>Immunozytom</b>			Placebo-kontrollierte Untersuchung zur Wirksamkeit der Influenza-Schutzimpfung?	1057	lz
<b>Immundefizienz</b>			Gamma-Schwerketten-Produktion als Epiphänomen bei Non-Hodgkin-Lymphom	1235	kas	<b>Inoue-Ballon</b>		
Calcitriol-Gabe in der Schwangerschaft bei partieller DiGeorge-Anomalie	1776	kas	<b>Immunozytom; lymphoplasmozytoides</b>			Notfallmäßige perkutane Mitralvalvuloplastie mit dem Inoue-Ballon bei hochgradiger Mitralstenose und kardiogenem Schock	1110	kas
Idiopathische CD4-Lymphozytopenie mit letaler Salmonella-typhimurium-Sepsis	956	kas	Langzeitbeobachtung bei lymphoplasmozytoiden Immunozytomen	1487	lz	<b>INR</b> (siehe International Normalized Ratio)		
Impfungen bei chronischer Niereninsuffizienz und nach Nierentransplantation	1323	adt	<b>Immunsuppression</b>			<b>Insektengift-Allergie</b>		
Sekundäre Neoplasien nach Immunsuppression	1747	üb	Differentialdiagnose von Rundherden nach Lungentransplantation	1105	or	Besteht bei einer Insektengift-Allergie immer die Indikation für eine Hyposensibilisierung?	1093	la
<b>Immunglobulin E</b>			Idiopathische CD4-Lymphozytopenie mit letaler Salmonella-typhimurium-Sepsis	956	kas	<b>Inselzelltransplantation</b>		
Hyper-IgE-Syndrom (Synonyma: Hiob-Syndrom, Buckley-Syndrom, »Job's syndrome«)	1121	mq	Primär kutane Nocardia-farctica-Infektion nach Herztransplantation	1276	kas	Kombinierte Nieren- und Pankreastransplantation beim diabetischen Spätsyndrom	1399	adt
<b>Immunglobulintherapie</b>			Primär kutane Nocardia-farctica-Infektion nach Herztransplantation (Berichtigung)	1568		<b>Insomnie</b>		
Immunglobuline zur Therapie des Guillain-Barré-Syndroms im Kindesalter	1449	lz	Psychosoziale Probleme bei Langzeitimmunsuppression nach Organtransplantation	1678	lz	Ambulante Behandlung von Schlafstörungen im Alter	1538	or
Intensivtherapie des Guillain-Barré-Syndroms	1248	üb	Sekundäre Neoplasien nach Immunsuppression	1747	üb	<b>Instabilität; elektrische</b>		
Rationale Substitution mit Blut- und Blutbestandteilkonserven	1555	üb	<b>Immunthrombozytopenie</b>			Akute Myokardischämie, ventrikuläre Tachyarrhythmien und plötzlicher Herztod	1786	üb
<b>Immunisierung</b>			Neonatale Alloimmunthrombozytopenie	1512	üb	<b>Insuffizienz; respiratorische</b> (siehe Ateminsuffizienz)		
Diphtherie-Auffrischimpfung bei Erwachsenen	1219	fr	<b>Impfschemata</b>					
			Diphtherie-Auffrischimpfung bei Erwachsenen	1219	fr			

**Rubrikenschlüssel**

adt = Aktuelle Diagnostik und Therapie  
ar = Arztrecht  
as = Der Arzneistoff  
epi = Epikrise

fr = Fragen aus der Praxis  
gt = Gedenktage  
kas = Kasuistiken  
km = Kleine Mitteilungen  
kom = Kommentare

la = Leitartikel  
lz = Leser-Zuschriften  
mg = Medizingeschichte  
mq = Mediquiz  
nk = Nekrologe

or = Originalien  
pp = Prinzip & Perspektive  
stp = Standpunkte  
üb = Übersichten

<b>Insulinbehandlung</b>			<b>Intoxikationen</b>			<b>Karpaltunnelsyndrom</b>		
Insulinpflichtiger Diabetes mellitus nach 58 Jahren	1450	lz	Akute Vergiftung durch fluoridiertes Trinkwasser	1185	km	Neurologische Symptomatik, Diagnostik und Therapie des sogenannten »thoracic-outlet-syndrome«	1087	üb
<b>Insulinbehandlung; intensiviert</b>			Bleiintoxikation durch Mennige in Paprikapulver	1756	lz			
Intensivierte Behandlung des Diabetes mellitus Typ I und Entwicklung von Spätkomplikationen	976	km	Ciguatera. Neue Fälle von Fischvergiftung bei deutschen Karibik-Urlaubern	975	lz	<b>Karyogramm</b>		
<b>Insult; zerebraler</b>			Enzephalopathie nach Intoxikation mit einem Anticholinergikum	1803	lz	Diagnose eines Ullrich-Turner-Syndroms im Rentenalt	1115	kas
Paradoxe zerebrale Embolie oder Dissektion der Arteria carotis interna?	1183	lz	Serum-Cholinesterase	1016	fr	<b>Karzinogenese</b>		
Zerebraler ischämischer Insult. Wertigkeit der transösophagealen Echokardiographie in der Diagnostik kardialer Emboliequellen	1585	adt	<b>Invagination</b>			Asbest-induzierte Erkrankungen der Lunge und Pleura	1603	lz
<b>Intensivmedizin</b>			Invagination bei Peutz-Jeghers-Syndrom	960	mq	Das extrapulmonale kleinzellige Karzinom – eine Rarität?	1591	üb
Risikofaktoren für gastrointestinale Blutungen bei Patienten der Intensivstation	1337	km	<b>Ischämie; mesenteriale</b>			Gerbstoffe und Krebsrisiko	1411	fr
Therapie der akuten Pankreatitis	1739	adt	Chronische mesenteriale Ischämie	979	or	Risiken der Sonnenexposition	1047	üb
<b>Interaktionen; von Medikamenten</b>			<b>Ischämie; zerebrale</b>			Schistosomiasis und Siegelringzellkarzinom der Ileo-zökalklappe	1058	lz
Hohe Letalität von Tetanusinfektionen nach intramuskulärer Injektion von Chinin	1681	km	Zerebraler ischämischer Insult. Wertigkeit der transösophagealen Echokardiographie in der Diagnostik kardialer Emboliequellen	1585	adt	Sekundäre Neoplasien nach Immunsuppression	1747	üb
Problematik des Äquivalenzbegriffes bei der Therapie mit Glucocorticoiden. Ein Vergleich der klinischen Pharmakokinetik und Pharmakodynamik von Prednisolon und Methylprednisolon	1671	üb	<b>J</b>			<b>Karzinom; kleinzelliges extrapulmonales</b>		
<b>Interferon alpha-2b</b>			<b>Jodexposition</b>			Das extrapulmonale kleinzellige Karzinom – eine Rarität?	1591	üb
Aktueller Stand der Behandlung chronischer Virushepatitiden mit rekombinantem Interferon alpha	961	adt	Jodinduzierte Hyperthyreose bei metastasiertem Schilddrüsenkarzinom	1573	kas	<b>Karzinom; kolorektales</b>		
Hepatitis-B-assoziierte Vasculitis. Verlauf unter Therapie mit Glucocorticoiden und Alpha-Interferon	1388	kas	Latente Hyperthyreose	1334	fr	Adjuvante Therapie bei kolorektalen Karzinomen	1663	adt
<b>Intermittent Positive Pressure Ventilation</b>			<b>Jod-123-Octreotid</b> (siehe Octreotid)			Endoskopische Diagnostik zur Prävention und Früherkennung des kolorektalen Karzinoms	1001	adt
Ventilatorische Insuffizienz und hyperkapnische Kompensation infolge chronisch belasteter »Atempumpe«. Physiologie, Pathophysiologie und Therapie	1209	üb	<b>Jodsalzprophylaxe</b>			<b>Karzinomrisiko</b>		
<b>International Classification of Diseases</b>			Jodprophylaxe in der Schwangerschaft	1339	la	Hodenkrebsrisiko nach Vasektomie	1757	km
ICD-Verschlüsselung und Pflege-Personalregelung	1412	lz	<b>Juckreiz</b> (siehe Pruritus)			<b>Katarakt</b>		
<b>International Normalized Ratio</b>						Ambulante Kataraktoperationen	1486	fr
Ist die »International Normalized Ratio (INR)« in der klinischen Praxis unentbehrlich?	1529	la	<b>K</b>			<b>Katheter-Rekanalisation; retrograde</b>		
<b>Intimadisektion</b> (siehe Dissektion; der Gefäßintima)			<b>Kaliumkanalblocker</b>			Retrograde Katheter-Rekanalisation langstreckiger Verschlüsse der Arteria femoralis superficialis	948	or
			Sotalol	1477	as	<b>Katheterverschluß; bei Herzvitien</b>		
			<b>Kallmann-Syndrom</b>			Nicht-operativer Verschluß des Vorhofseptumdefektes bei Erwachsenen. Erfahrungen mit dem Rashkind- und dem Sideris-Okkluder	1341	or
			Kallmann-Syndrom. Pathophysiologie und Klinik	1436	üb	<b>Kayser-Fleischer-Kornealring</b>		
			<b>Kardiomyopathie; dilatative</b>			Hämolytische Krise mit Leberversagen als Erstmanifestation eines Morbus Wilson	1421	kas
			Beta-Rezeptorenblocker bei dilatativer Kardiomyopathie	1604	km	<b>Keratinolyse</b>		
			<b>Kardiomyopathie; hypocalcämische</b>			Harnstoff in der Dermatologie	1126	üb
			Hypocalcämische Kardiomyopathie als Ursache einer schweren Linksherzinsuffizienz	1270	kas	<b>Keratoconjunctivitis sicca</b>		
			Hypocalcämische Kardiomyopathie als Ursache einer schweren Linksherzinsuffizienz (Berichtigung)	1414		Sicca-Symptomatik unter systemischer Therapie mit Beta-Rezeptorenblockern	1783	adt
			<b>Kardioversion; elektrische</b>			<b>Keratosi solaris</b>		
			Therapie bradykarder und tachykarder Rhythmusstörungen durch transösophageale Elektrostimulation des Herzens	1405	üb	Solare Keratose und Sonnenschutzmittel	1223	km



<b>Ketokonazol</b>									
Therapie kutaner und mukokutaner Leishmaniosen	1169	adt	Einfluß einer niedrigdosierten Hydrochlorothiazidtherapie auf den Knochenmineralgehalt des axialen und peripheren Skeletts	1645	or	<b>Komplikationen; bei operativen Eingriffen</b>			
<b>Kinderkardiologie</b>									
Adenosintriphosphat (ATP) bei supraventrikulären Tachykardien im Neugeborenen- und Säuglingsalter	1351	kas	Osteoporose bei Männern. Pathogenese und klinische Einteilung bei 254 Fällen	943	or	<b>Komplikationen; bei therapeutischen Eingriffen</b>			
<b>Kinderunfälle; im Straßenverkehr</b>									
Kindersitz im Personenwagen bewährt sich	976	km	<b>Knochenmetastasen</b>			Akute Hämolyse mit nachfolgender lebensbedrohlicher Pankreatitis bei Hämodialyse. Eine Komplikation, die von den derzeitigen Dialysegeräten nicht verhindert wird	1263	or	
<b>Klappenöffnungsfläche</b>									
Operationsindikation bei asymptomatischer hochgradiger Aortenklappenstenose	1630	üb	<b>Knochenstoffwechsel</b>			Akuter Koronargefäßverschluß nach elektiver perkutaner transluminaler Koronarangioplastie. Inzidenz und Therapie bei 5000 konsekutiven Patienten	1023	or	
<b>Klassifikationen/Stadieneinteilungen</b>									
Adjuvante Therapie bei kolorektalen Karzinomen	1663	adt	Asymptomatischer primärer Hyperparathyreoidismus. Behandeln oder beobachten?	967	üb	Farbdopplersonographisch gesteuerte perkutane Alkoholinstillation zur Therapie der funktionellen Schilddrüsenautonomie	1607	or	
Diagnostik und Therapie des Analkarzinoms	1701	adt	Diagnostik des Osteoporoserisikos. Neue Entwicklungen und »State of the Art« 1994	1289	üb	Langzeitdilataion bei erfolgloser perkutaner transluminaler Koronarangioplastie	1458	or	
Sotalol	1477	as	Einfluß einer niedrigdosierten Hydrochlorothiazidtherapie auf den Knochenmineralgehalt des axialen und peripheren Skeletts	1645	or	Schrittmachtherapie beim Syndrom des kranken Sinusknotens. Senken vorhoffbeteiligte Schrittmachersysteme die Häufigkeit von Vorhofflimmern und thromboembolischen Komplikationen sowie die Mortalität?	1683	or	
Therapie der akuten Pankreatitis	1739	adt	<b>Kognitionsstörungen</b>			<b>Konsensuskonferenz</b>			
<b>Kniegelenkserguß; rezidivierender</b>						Ist die Ulcuskrankheit eine Infektionskrankheit?	1488	km	
Baker-Zyste bei osteoartikulärer Tuberkulose des Kniegelenks	1579	kas	Neuropsychiatrische Symptomatik bei primärem Hyperparathyreoidismus	1076	kas	<b>Kontaktexzem</b>			
Baker-Zyste bei osteoartikulärer Tuberkulose des Kniegelenks (Berichtigung)	1806		<b>Kollagenosen</b>			Eczema craquelé	1203	mq	
<b>Knochenalter</b>						<b>Kontrazeption; hormonelle</b>			
Differenzierung zwischen prä-maturer Thelarche und Pubertas praecox anhand klinischer, hormoneller und radiologischer Befunde	1301	or	Diagnostik und Bedeutung von antinukleären Antikörpern	1137	lz	Orale Kontrazeption bei Protein-C-Mangel	1100	fr	
<b>Knochendichte</b>						<b>Kopfschmerzen</b>			
Diagnostik des Osteoporoserisikos. Neue Entwicklungen und »State of the Art« 1994	1289	üb	<b>Kolonbiopsie</b>			Kopfschmerzen unter Ciclosporin-Therapie	1135	fr	
Einfluß einer niedrigdosierten Hydrochlorothiazidtherapie auf den Knochenmineralgehalt des axialen und peripheren Skeletts	1645	or	Zeitintervall zwischen Koloskopie mit Biopsie und Kolonkontrasteinlauf	1333	fr	<b>Koronarmorphologie</b>			
Osteoporose bei Männern. Pathogenese und klinische Einteilung bei 254 Fällen	943	or	<b>Kolonkarzinom</b>			Wiedereröffnung chronischer Koronararterienverschlüsse: Welche Faktoren beeinflussen den Erfolg?	1766	or	
<b>Knochenmarktransplantation</b>						<b>Koronarverschlüsse</b>			
Aufbau der Deutschen Knochenmarkspenderdatei	1359	adt	Adjuvante Chemotherapie beim operierten Kolonkarzinom	1181	fr	Akuter Koronargefäßverschluß nach elektiver perkutaner transluminaler Koronarangioplastie. Inzidenz und Therapie bei 5000 konsekutiven Patienten	1023	or	
<b>Knochenmasse</b>									
Diagnostik des Osteoporoserisikos. Neue Entwicklungen und »State of the Art« 1994	1289	üb	Adjuvante Therapie bei kolorektalen Karzinomen	1663	adt				
			<b>Kolonkontrasteinlauf</b>						
			Zeitintervall zwischen Koloskopie mit Biopsie und Kolonkontrasteinlauf	1333	fr				
			<b>Kolontuberkulose</b>						
			Endoskopische Diagnose einer Kolontuberkulose	1653	kas				
			<b>Koloskopie</b>						
			Zeitintervall zwischen Koloskopie mit Biopsie und Kolonkontrasteinlauf	1333	fr				
			<b>Komplikationen; bei diagnostischen Eingriffen</b>						
			Zeitintervall zwischen Koloskopie mit Biopsie und Kolonkontrasteinlauf	1333	fr				

**Rubrikenschlüssel**

adt = Aktuelle Diagnostik und Therapie  
 ar = Arztrecht  
 as = Der Arzneistoff  
 epi = Epikrise

fr = Fragen aus der Praxis  
 gt = Gedenktage  
 kas = Kasuistiken  
 km = Kleine Mitteilungen  
 kom = Kommentare

la = Leitartikel  
 lz = Leser-Zuschriften  
 mg = Medizingeschichte  
 mq = Mediquiz  
 nk = Nekrologe

or = Originalien  
 pp = Prinzip & Perspektive  
 stp = Standpunkte  
 üb = Übersichten

- Wiedereröffnung chronischer Koronararterienverschlüsse: Welche Faktoren beeinflussen den Erfolg? 1766 or
- Kostenentwicklung; im Gesundheitswesen**
- ICD-Verschlüsselung und Pflege-Personalregelung 1412 lz
- Kostenvergleich zwischen der laparoskopischen Cholezystektomie und der extrakorporalen Stoßwellenlithotripsie in der Behandlung von Gallenblasensteinen 1532 or
- Krampfanfälle**
- Zerebrale Anfälle unter Doxepin während einer Substitution mit Dihydrocodein 1260 lz
- Kreatinkinaseerhöhung**
- Akutes myoglobinurisches Nierenversagen als Folge von autoaggressivem Verhalten bei Oligophrenie 994 kas
- Krebsrisiko**
- Britische Atomwaffentests der fünfziger und sechziger Jahre 1413 km
- Krisen; hypertensive**
- Symptomatik und endokrinologische Befunde bei catecholamin-sezernierenden Tumoren. Ergebnisse bei 106 konsekutiven Patienten 1721 or
- Kryoglobulinämie; Typ II**
- Chronische Hepatitis C bei Typ-II-Kryoglobulinämie und kutaner Vaskulitis 1239 kas
- Kryptorchismus**
- Kallmann-Syndrom. Pathophysiologie und Klinik 1436 üb
- Kupferstoffwechsel**
- Hämolytische Krise mit Leberversagen als Erstmanifestation eines Morbus Wilson 1421 kas
- Kyphoskoliose**
- Ventilatorische Insuffizienz und hyperkapnische Kompensation infolge chronisch belasteter »Atempumpe«. Physiologie, Pathophysiologie und Therapie 1209 üb
- L**
- Laboratoriumsmedizin**
- Die erhöhte Gamma-GT (Gamma-Glutamyltransferase). Ursachen und Interpretationen 1041 adt
- Klinische Bedeutung der Polymerase-Kettenreaktion in der Infektiologie 1625 adt
- Persistierende Antistreptolysin-Titer 1099 fr
- Sputumuntersuchung zur Diagnostik der Pneumocystis-carinii-Pneumonie bei HIV-Infizierten 1151 or
- Langzeitdilataion; von Koronarstenosen**
- Langzeitdilataion bei erfolgloser perkutaner transluminaler Koronarangioplastie 1458 or
- Langzeit-Elektrokardiographie**
- Akute Myokardischämie, ventrikuläre Tachyarrhythmien und plötzlicher Herztod 1786 üb
- Langzeit-pH-Manometrie**
- Diagnostik der gastroösophagealen Refluxkrankheit 1433 adt
- Lansoprazol**
- Therapie der gastroösophagealen Refluxkrankheit 1473 adt
- Laparoskopie**
- Derzeitiger Stellenwert der Laparoskopie in der onkologischen Chirurgie 1518 kom
- Laparoskopische Cholezystektomie nach Lebertvoperation 1184 lz
- Larson-Syndrom**
- Larson-Syndrom 1584 mq
- Larva migrans cutanea**
- Larva migrans cutanea (»creeping eruption«) 1505 mq
- Lavage; bronchoalveoläre**
- Sputumuntersuchung zur Diagnostik der Pneumocystis-carinii-Pneumonie bei HIV-Infizierten 1151 or
- LDL-Apherese**
- Intensivtherapie des Guillain-Barré-Syndroms 1248 üb
- Lebensmittelverunreinigungen**
- Bleiintoxikation durch Mennige in Paprikapulver 1756 lz
- Lebertransplantation**
- Hämolytische Krise mit Leberversagen als Erstmanifestation eines Morbus Wilson 1421 kas
- Therapie des Aszites bei Lebererkrankungen 1549 adt
- Lebervenenverschlußdruck**
- Lebervenenverschlußdruckmessung 1245 adt
- Leberversagen; akutes**
- Hämolytische Krise mit Leberversagen als Erstmanifestation eines Morbus Wilson 1421 kas
- Leberzellkarzinom**
- Epidemiologie und Klinik der chronischen Virushepatitis 1365 üb
- Lecithin-Cholesterin-Acyltransferase**
- Fischaugenkrankheit 1393 kas
- Lehre; medizinische**
- Welches Menschenbild formt zukünftige Ärztinnen und Ärzte an der Universität? 1131 kom
- Leiomyom; des Magens**
- Leiomyom des Magens 1167 mq
- Leishmaniosen; mukokutane**
- Therapie kutaner und mukokutaner Leishmaniosen 1169 adt
- Leistenhernien**
- Eingeklemmte Leistenhernie. Hydrocele testis 1358 mq
- Leitungsbahnen; akzessorische**
- Klinische Bedeutung des Ajmalin-Tests in der nichtinvasiven Diagnostik bei Wolff-Parkinson-White-Syndrom 985 or
- Leukenzephalopathie**
- Leukenzephalopathie nach intrathekaler Zytostatikagabe bei akuter lymphatischer Leukämie 1637 fr
- Levamisol**
- Adjuvante Chemotherapie beim operierten Kolonkarzinom 1181 fr
- Adjuvante Therapie bei kolorektalen Karzinomen 1663 adt
- LH-FSH-Quotient**
- Differenzierung zwischen prä-maturer Thelarche und Pubertas praecox anhand klinischer, hormoneller und radiologischer Befunde 1301 or
- LHRH-Test**
- Differenzierung zwischen prä-maturer Thelarche und Pubertas praecox anhand klinischer, hormoneller und radiologischer Befunde 1301 or
- Lichtstrahlen**
- Risiken der Sonnenexposition 1047 üb
- Linksherzinsuffizienz**
- Hypocalcämische Kardiomyopathie als Ursache einer schweren Linksherzinsuffizienz 1270 kas
- Hypocalcämische Kardiomyopathie als Ursache einer schweren Linksherzinsuffizienz (Berichtigung) 1414
- Lipidsenker**
- Gallenblasen-Sludge und Einnahme von Lipidsenkern 1524 fr
- Hypercholesterinämie 1099 fr
- Lipom; intragastrales**
- Lipom mit zentraler Ulzeration und Blutung 1547 mq
- Liposomen**
- Behandlung der Neurodermitis mit Liposomen? 1219 fr
- Liquorzirkulationsstörungen**
- Syringomyelie als seltene Ursache einer beatmungspflichtigen respiratorischen Insuffizienz 1771 kas

<b>Lisinopril</b> GISSI III: Wirkung von Lisinopril und transdermalen Applikation von Nitroglycerin nach akutem Herzinfarkt	1804 km	<b>Lymphozytenkultur; gemischte</b> Aufbau der Deutschen Knochenmarkspenderdatei	1359 adt	Tumorgefäßinvasion beim Mammakarzinom. Hämatoxylin-Eosin- versus immunohistochemische Färbung gegen Faktor-VIII-Antigen	1491 or
<b>Litholyse; adjuvante orale</b> Kostenvergleich zwischen der laparoskopischen Cholezystektomie und der extrakorporalen Stoßwellenlithotripsie in der Behandlung von Gallenblensteinen	1532 or	<b>Lynch-Syndrom</b> Endoskopische Diagnostik zur Prävention und Früherkennung des kolorektalen Karzinoms	1001 adt	<b>Mammaprothesen</b> Kernspintomographie bei Mammaprothesen. Aussagekraft im Vergleich mit Mammographie und Ultraschall	1453 or
<b>Lungenarterien</b> Pathologie der Pulmonalarterien bei Lungentumoren	1415 or	<b>Lysetherapie</b> (siehe Fibrinolyse)		<b>Manometrie; des Ösophagus</b> Diagnostik der gastroösophagealen Refluxkrankheit	1433 adt
<b>Lungenembolie</b> Direkter Embolusnachweis durch Spiral-Computertomographie bei akuter Lungenembolie	1525 lz	<b>M</b>		<b>Marker; biochemische</b> Die klinische Bedeutung der Konzentrationsbestimmung der Troponine	1013 la
Einsatz von niedermolekularem Heparin zur Antikoagulation in der Schwangerschaft	1497 kas	<b>Magenkarzinom</b> Adjuvante Chemotherapie nach kurativer Gastrektomie bei Magenkarzinom	1298 km	<b>Mastozytose</b> Schock und Gerinnungsstörungen bei systemischer Mastozytose	1231 kas
<b>Lungentransplantation</b> Differentialdiagnose von Rundherden nach Lungentransplantation	1105 or	Ist die Ulcuskrankheit eine Infektionskrankheit?	1488 km	Urticaria pigmentosa	1053 fr
<b>Lungenverschattungen</b> Bromocriptin-induzierte Pleuropneumopathie	1543 kas	<b>Magensäuresekretion</b> Omeprazol	1173 as	<b>Mastzellenleukämie</b> Schock und Gerinnungsstörungen bei systemischer Mastozytose	1231 kas
Differentialdiagnose von Rundherden nach Lungentransplantation	1105 or	<b>Magenstumpfkarcinom</b> Photodynamische Therapie eines Magenstumpfkarcinoms in kurativer Absicht. Erster Fallbericht einer klinischen Anwendung in Deutschland	951 kas	<b>Mediawandverdickung</b> Angina pectoris und normales Koronarangiogramm bei arterieller Hypertonie und linksventrikulärer Hypertrophie	1175 üb
Einseitige diffuse Lungenbeteiligung bei Vaskulitis mit Anti-Neutrophilen-Zytoplasma-Antikörpern sowie Antikörpern gegen glomeruläre Basalmembranen	1071 kas	<b>Magnesium</b> Magnesium Magnesium bei Herzinfarkt Magnesium-Infusion bei akutem Herzinfarkt	1669 as 1102 km 1800 fr	<b>Medikamenteninteraktionen</b> (siehe Interaktionen; von Medikamenten)	
<b>Lupus erythematodes</b> Diagnostik und Bedeutung von antinukleären Antikörpern	1137 lz	<b>Makroglobulinurie</b> Langzeitbeobachtung bei lymphoplasmazytoiden Immunozytomen	1487 lz	<b>Medizingeschichte</b> Hermann von Helmholtz (1821-1894) - Militärarzt, Sinnesphysiologe und »Reichskanzler der deutschen Physik«. Zum 100. Todestag des universalen Arztes und Naturforschers	1215 mg
<b>Lyme-Arthritis</b> Nachweis von Borrelia-burgdorferi-DNA in der Gelenkflüssigkeit bei Lyme-Arthritis	1451 km	<b>Malabsorption</b> Zystische Fibrose	1259 lz	Welches Menschenbild formt zukünftige Ärztinnen und Ärzte an der Universität?	1131 kom
<b>Lymphographie</b> Kontrastmittelspeichernde Lymphknoten nach Lymphographie	1700 mq	<b>MALT</b> (siehe Mucosa-Associated Lymphatic Tissue)		<b>Medizinphilosophie</b> Welches Menschenbild formt zukünftige Ärztinnen und Ärzte an der Universität?	1131 kom
<b>Lymphome; maligne</b> Hochmalignes peripheres T-Zell-Lymphom vom großzelligen polymorphen Typ	1321 mq	<b>Mamma-Augmentationsplastik</b> Kernspintomographie bei Mammaprothesen. Aussagekraft im Vergleich mit Mammographie und Ultraschall	1453 or	<b>Melanom; malignes</b> Risiken der Sonnenexposition	1047 üb
		<b>Mammakarzinom</b> Autoimmunprozesse als paraneoplastische Manifestationen bei familiärem Mammakarzinom	1194 kas	<b>Melarsoprol</b> Polyneuritis und Myositis bei Trypanosoma-gambiense-Infektion	1690 kas
		Kernspintomographie bei Mammaprothesen. Aussagekraft im Vergleich mit Mammographie und Ultraschall	1453 or		

**Rubrikenschlüssel**

adt = Aktuelle Diagnostik und Therapie  
ar = Arztrecht  
as = Der Arzneistoff  
epi = Epikrise

fr = Fragen aus der Praxis  
gt = Gedenktage  
kas = Kasuistiken  
km = Kleine Mitteilungen  
kom = Kommentare

la = Leitartikel  
lz = Leser-Zuschriften  
mg = Medizingeschichte  
mq = Mediquiz  
nk = Nekrologe

or = Originalien  
pp = Prinzip & Perspektive  
stp = Standpunkte  
üb = Übersichten

<b>Meningitis</b> Präsakrale Phlegmone und Meningitis als Komplikationen eines Fremdkörpers im Rektosigmoid	990	kas	<b>Mischtumor; der Haut</b> Sogenannter Mischtumor der Haut (chondroides Syndrom)	1471	mq	<b>Morbus haemolyticus neonatorum</b> Neonatale Alloimmunthrombozytopenie	1512	üb
<b>Mennige</b> Bleiintoxikation durch Mennige in Paprikapulver	1756	lz	<b>Mitralinsuffizienz; akute</b> Akute Mitralinsuffizienz bei Osteogenesis imperfecta	1101	lz	<b>Morbus Köhlmeier-Dégos</b> Maligne atrophische Papulose	1427	kas
<b>Mesenterialarterienstenosen</b> Chronische mesenteriale Ischämie	979	or	Notfallmäßige perkutane Mitralvalvuloplastie mit dem Inoue-Ballon bei hochgradiger Mitralstenose und kardiogenem Schock	1110	kas	<b>Morbus Paget</b> Ostitis deformans (Morbus Paget)	1122	mq
<b>Metajodbenzylguanidinszintigraphie</b> Symptomatik und endokrinologische Befunde bei katecholamin-sezernierenden Tumoren. Ergebnisse bei 106 konsekutiven Patienten	1721	or	<b>Mitralklappenprolaps</b> Akute Mitralinsuffizienz bei Osteogenesis imperfecta	1101	lz	<b>Morbus Parkinson</b> Bromocriptin-induzierte Pleuropneumopathie	1543	kas
<b>Metal-Clip</b> Clip-Wanderung in den Ductus choledochus nach laparoskopischer Cholezystektomie	1506	mq	Zerebraler ischämischer Insult. Wertigkeit der transösophagealen Echokardiographie in der Diagnostik kardialer Emboliequellen	1585	adt	<b>Morbus Waldenström</b> Langzeitbeobachtung bei lymphoplasmozytoiden Immunozytomen	1487	lz
<b>Methotrexat</b> Leukenzephalopathie nach intrathekaler Zytostatikagabe bei akuter lymphatischer Leukämie	1637	fr	<b>Mitralstenose</b> Notfallmäßige perkutane Mitralvalvuloplastie mit dem Inoue-Ballon bei hochgradiger Mitralstenose und kardiogenem Schock	1110	kas	<b>Morbus Whipple</b> Nachweis von Tropheryma whippelii mit der Polymerase-Kettenreaktion vor und nach Therapie eines Morbus Whipple	1679	lz
<b>Methylprednisolon</b> Problematik des Äquivalenzbegriffes bei der Therapie mit Glucocorticoiden. Ein Vergleich der klinischen Pharmakokinetik und Pharmakodynamik von Prednisolon und Methylprednisolon	1671	üb	<b>Mitralvalvuloplastie</b> Notfallmäßige perkutane Mitralvalvuloplastie mit dem Inoue-Ballon bei hochgradiger Mitralstenose und kardiogenem Schock	1110	kas	<b>Morbus Wilson</b> Hämolytische Krise mit Lebersversagen als Erstmanifestation eines Morbus Wilson	1421	kas
<b>Microsporon canis</b> Tinea capitis durch Microsporon canis	1357	mq	<b>Mißbildungen; konnatale</b> Kongenital korrigierte Transposition der großen Arterien im Erwachsenenalter. Wert nicht-invasiver Untersuchungsmethoden	1156	kas	<b>Morphometrie</b> Diagnostik des Osteoporoserisikos. Neue Entwicklungen und »State of the Art« 1994	1289	üb
<b>Migräne</b> Fibromyalgie-Syndrom	1639	lz	Prader-Labhart-Willi-Syndrom	974	fr	<b>Mucosa-Associated Lymphatic Tissue</b> Ist die Ulcuskrankheit eine Infektionskrankheit?	1488	km
<b>Mikroalbuminämie</b> Angiotensin-Converting-Enzym-Hemmer bei der Behandlung der diabetischen Nephropathie	1298	km	<b>Molekulargenetik</b> Prader-Labhart-Willi-Syndrom	974	fr	<b>Muir-Torre-Syndrom</b> Endoskopische Diagnostik zur Prävention und Früherkennung des kolorektalen Karzinoms	1001	adt
<b>Mikrozirkulation; koronare</b> Angina pectoris und normales Koronarangiogramm bei arterieller Hypertonie und linksventrikulärer Hypertrophie	1175	üb	<b>Morbus Basedow</b> Jodprophylaxe in der Schwangerschaft	1339	la	<b>Mukoviszidose</b> Zystische Fibrose	1259	lz
<b>Miktionsstörungen</b> Aktuelle Epidemiologie, Diagnostik und Therapie der Urogenitaltuberkulose	1121	adt	Neonatale Hyperthyreose bei nicht diagnostiziertem Morbus Basedow der Mutter. Probleme der Diagnostik und Therapie anhand einer Kasuistik	1346	kas	<b>Multiple Sklerose</b> Therapie der multiplen Sklerose	1371	fr
<b>Minderwuchs</b> Diagnose eines Ullrich-Turner-Syndroms im Rentengutachten	1115	kas	<b>Morbus Crohn</b> Diättherapie des Morbus Crohn	1140	km	<b>Muskelatrophie</b> Neurologische Symptomatik, Diagnostik und Therapie des sogenannten »thoracic-outlet-syndrome«	1087	üb
<b>Minimal Invasive Surgery</b> (siehe Operationen; endoskopische)			Endoskopische Ballondilatation symptomatischer Strikturen bei Morbus Crohn	1377	or	<b>Muskelphysiologie</b> Hermann von Helmholtz (1821-1894) – Militärarzt, Sinnesphysiologe und »Reichskanzler der deutschen Physik«. Zum 100. Todestag des universalen Arztes und Naturforschers	1215	mg
<b>Minor Access Surgery</b> (siehe Operationen; endoskopische)			Hochgradige Sigmastenose bei Rezidiv eines Morbus Crohn	1624	mq	<b>Muskelschmerzen</b> (siehe Myalgien)		
			Luft in der Blase durch Fistelverbindung zum Darm	1472	mq	<b>Müdigkeit</b> Müdigkeit und psychologischer Streß	1451	km
			<b>Morbus Down</b> (siehe Trisomie 21)					
			<b>Morbus Fabry</b> Angiokeratoma corporis diffusum	1281	mq			

<p><b>Müdigkeitssyndrom; chronisches</b> Chronische Müdigkeit und Herpes-Virus-Antikörper Fibromyalgie-Syndrom</p> <p><b>Myalgien</b> Fibromyalgie-Syndrom</p> <p><b>Mycobacterium tuberculosis</b> Endoskopische Diagnose einer Kolontuberkulose Ösophago-mediastinale Fisteln als seltene Komplikation der Tuberkulose bei einem HIV-infizierten Patienten</p> <p><b>Myelopathie</b> Syringomyelie als seltene Ursache einer beatmungspflichtigen respiratorischen Insuffizienz</p> <p><b>Myoepitheliom</b> Myoepitheliom (myoepitheliales Adenom)</p> <p><b>Myoglobulinurie</b> Akutes myoglobulinurisches Nierenversagen als Folge von autoaggressivem Verhalten bei Oligophrenie</p> <p><b>Myokarddurchblutung</b> Pathophysiologie der Myokarddurchblutung. Teil I: Adaptation an Myokardischämie (»hibernating«-Myokard) Pathophysiologie der Myokarddurchblutung. Teil II: Postischämische kontraktile Dysfunktion (»stunned«-Myokard)</p> <p><b>Myokardinfarkt</b> Angiotensin-Converting-Enzym-Hemmer nach Herzinfarkt Beta-Rezeptorenblocker als Notfallmaßnahme nach akutem Herzinfarkt? Die klinische Bedeutung der Konzentrationsbestimmung der Troponine GLSSI III: Wirkung von Lisinopril und transdermaler Applikation von Nitroglycerin nach akutem Herzinfarkt Magnesium bei Herzinfarkt Magnesium-Infusion bei akutem Herzinfarkt Thrombolyse bei akutem Herzinfarkt</p>	<p>1296 fr 1639 lz 1639 lz 1653 kas 1613 kas 1771 kas 1091 mq 994 kas 1589 pp 1745 pp 1448 fr 1715 fr 1013 la 1804 km 1102 km 1800 fr 1220 lz</p>	<p><b>Myokardischämie; akute</b> Akute Myokardischämie, ventrikuläre Tachyarrhythmien und plötzlicher Herztod Zentralnervöse Vermittlung der Angina pectoris</p> <p><b>Myokarditis</b> Polyneuritis und Myositis bei Trypanosoma-gambiense-Infektion</p> <p><b>Myositis</b> Polyneuritis und Myositis bei Trypanosoma-gambiense-Infektion</p>	<p>1786 üb 1604 km 1690 kas 1690 kas</p>	<p>Immunglobuline zur Therapie des Guillain-Barré-Syndroms im Kindesalter Komplette Remission bei akuter Promyelozytenleukämie. Vorteile von <i>all-trans</i>-Retinsäure im Vergleich mit konventioneller Chemotherapie Kopfschmerzen unter Ciclosporin-Therapie Leukenzephalopathie nach intrathekaler Zytostatikagabe bei akuter lymphatischer Leukämie Magnesium Medikamentös ausgelöste Asterixis Placebo-kontrollierte Untersuchung zur Wirksamkeit der Influenza-Schutzimpfung? Primär kutane Nocardia-farctinica-Infektion nach Herztransplantation Primär kutane Nocardia-farctinica-Infektion nach Herztransplantation (Berichtigung) Psychosoziale Probleme bei Langzeitimmunsuppression nach Organtransplantation Reversible Thrombozytopenie bei Digitoxinüberdosierung Rolle von Endothelin bei den Ciclosporin-Nebenwirkungen Nephrotoxizität und arterielle Hypertonie Schwere Panzytopenie im hohen Lebensalter nach zwölfmonatiger ACE-Hemmer-Therapie Sekundäre Neoplasien nach Immunsuppression Sicca-Symptomatik unter systemischer Therapie mit Beta-Rezeptorenblockern Sotalol Therapie einer Clozapin-induzierten Agranulozytose mit granulozytenkolonie-stimulierendem Faktor Unverträglichkeit der Tuberkulosetherapie bei AIDS</p> <p><b>Nematoden</b> Gnathostomiasis nach Aufenthalt in Thailand</p> <p><b>Neonatologie</b> Adenosintriphosphat (ATP) bei supraventrikulären Tachykardien im Neugeborenen- und Säuglingsalter Neonatale Alloimmunthrombozytopenie</p>	<p>1449 lz 1143 or 1135 fr 1637 fr 1669 as 1221 lz 1057 lz 1276 kas 1568 1678 lz 1734 kas 1706 üb 1029 kas 1747 üb 1783 adt 1477 as 1467 kas 1728 kas 1618 kas 1351 kas 1512 üb</p>
--	---	---	--	---	---

### N

**Nabel-Pouch**

Aktuelle Möglichkeiten des kontinenten Harnblasenersatzes 1327 üb

**Nachsorge; nach malignombehandlung**

Diagnostik und Therapie des Analkarzinoms 1701 adt

**Nachtsehschwächen**

Fischaugenkrankheit 1393 kas

**Nadelstichverletzung**

Akzidentelle Nadelstichverletzung bei medizinischem Pflegepersonal 1563 fr

**Nahrungsmittelvergiftung**

Ciguatera. Neue Fälle von Fischvergiftung bei deutschen Karibik-Urlauberern 975 lz

**Nebennierenrindenhypertrophie**

Symptomatik und endokrinologische Befunde bei katecholamin-sezierenden Tumoren. Ergebnisse bei 106 konsekutiven Patienten 1721 or

**Nebenwirkungen; medikamentöse**

Adjuvante Therapie bei kolorektalen Karzinomen 1663 adt

Akute Ischämie eines Armes als ungewöhnlicher Ausdruck eines Ergotismus 1501 kas

Angiotensin-Converting-Enzym-Hemmer nach Herzinfarkt 1448 fr

Bromocriptin-induzierte Pleuropneumopathie 1543 kas

Gallenblasen-Sludge und Einnahme von Lipidsenkern 1524 fr

Hepatitis-A-Impfung 1800 fr

Hohe Letalität von Tetanusinfektionen nach intramuskulärer Injektion von Chinin 1681 km

**Rubrikenschlüssel**

adt = Aktuelle Diagnostik und Therapie	fr = Fragen aus der Praxis	la = Leitartikel	or = Originalien
ar = Arztrecht	gt = Gedenktage	lz = Leser-Zuschriften	pp = Prinzip & Perspektive
as = Der Arzneistoff	kas = Kasuistiken	mg = Medizingeschichte	stp = Standpunkte
epi = Epikrise	km = Kleine Mitteilungen	mq = Mediquiz	üb = Übersichten
	kom = Kommentare	nk = Nekrologe	

**Neoplasie; Multiple Endo-****krine; Typ II A**

Interdisziplinäre Aspekte der  
Notalgia paraesthetica 1307 kas

**Neoplasien; okkulte**

Tiefe Venenthrombose und  
okkulte, maligne Neoplasien 1719 km

**Neoplasien; sekundäre  
nach Immunsuppression**

Sekundäre Neoplasien nach  
Immunsuppression 1747 üb

**Nephrocalcinose**

Asymptomatischer primärer  
Hyperparathyreoidismus.  
Behandeln oder beobachten? 967 üb

**Nephrolithiasis**

Asymptomatischer primärer  
Hyperparathyreoidismus.  
Behandeln oder beobachten? 967 üb

**Nephropathie; diabetische**

Angiotensin-Converting-  
Enzym-Hemmer bei der  
Behandlung der diabetischen  
Nephropathie 1298 km

Intensivierte Behandlung des  
Diabetes mellitus Typ I und  
Entwicklung von Spätkomplikationen 976 km

**Nephrotoxizität**

Rolle von Endothelin bei den  
Ciclosporin-Nebenwirkungen  
Nephrotoxizität und  
arterielle Hypertonie 1706 üb

**Nervenkompressions-  
syndrome**

Interdisziplinäre Aspekte der  
Notalgia paraesthetica 1307 kas

Neurologische Symptomatik,  
Diagnostik und Therapie  
des sogenannten »thoracic-  
outlet-syndrome« 1087 üb

**Nervenleitgeschwindigkeit**

Hermann von Helmholtz  
(1821-1894) – Militärarzt,  
Sinnesphysiologe und  
»Reichskanzler der deut-  
schen Physik«. Zum 100.  
Todestag des universalen  
Arztes und Naturforschers 1215 mg

**Neuralgie; postzosterische**

Wirksamkeit von Aciclovir  
und Glucocorticoiden in  
der Behandlung des Herpes  
zoster und postzosterischer  
Neuralgien 1526 km

**Neurodermitis**

(siehe Ekzem; endogenes)

**Neuroleptika**

Ambulante Behandlung von  
Schlafstörungen im Alter 1538 or

**Neurologie**

Hermann von Helmholtz  
(1821-1894) – Militärarzt,  
Sinnesphysiologe und  
»Reichskanzler der deut-  
schen Physik«. Zum 100.  
Todestag des universalen  
Arztes und Naturforschers 1215 mg

**Neuropathie; sensible**

Interdisziplinäre Aspekte der  
Notalgia paraesthetica 1307 kas

**Neurotoxizität**

Kopfschmerzen unter Ciclo-  
sporin-Therapie 1135 fr

**Nicotinpflaster**

Nicotinpflaster bei Colitis  
ulcerosa 1261 km

**Niereninsuffizienz; akute**

Akutes myoglobininurisches  
Nierenversagen als Folge  
von autoaggressivem Ver-  
halten bei Oligophrenie 994 kas

Einseitige diffuse Lungenbe-  
teiligung bei Vaskulitis mit  
Anti-Neutrophilen-Zyto-  
plasma-Antikörpern sowie  
Antikörpern gegen glome-  
ruläre Basalmembranen  
Hämolytische Krise mit  
Leberversagen als Erstma-  
nifestation eines Morbus  
Wilson 1071 kas  
1421 kas

**Niereninsuffizienz; chroni-  
sche**

Akute Hämolyse mit nachfol-  
gender lebensbedrohlicher  
Pankreatitis bei Hämodia-  
lyse. Eine Komplikation,  
die von den derzeitigen Dia-  
lysegeräten nicht verhin-  
dert wird 1263 or

Glomeruläre Hyperperfusion  
und Niereninsuffizienz  
Impfungen bei chronischer  
Niereninsuffizienz und  
nach Nierentransplantation  
1136 fr  
1323 adt

**Nierentransplantation**

Impfungen bei chronischer  
Niereninsuffizienz und  
nach Nierentransplantation  
Kombinierte Nieren- und Pan-  
kreastransplantation beim  
diabetischen Spätsyndrom  
1323 adt  
1399 adt

**Nierenzysten**

Rupturgefahr bei Nieren-  
zysten 1486 fr

**Nitroglycerin; transdermal**

GISSI III: Wirkung von Lisino-  
pril und transdermaler  
Applikation von Nitroglyce-  
rin nach akutem Herz-  
infarkt 1804 km

**NO**

(siehe Stickstoffmonoxid)

**Nobelpreise für Medizin**

Nobelpreis für Medizin 1994 1792 kom

**Nokardiose**

Primär kutane Nocardia-farci-  
nica-Infektion nach Herz-  
transplantation 1276 kas

Primär kutane Nocardia-farci-  
nica-Infektion nach Herz-  
transplantation (Berichti-  
gung) 1568

**Non-Hodgkin-Lymphome**

Gamma-Schwerketten-Pro-  
duktion als Epiphänomen  
bei Non-Hodgkin-Lymphom 1235 kas

Langzeitbeobachtung bei  
lymphoplasmazytoiden  
Immunozytomen 1487 lz

**Non-Responder; nach akti-  
ver Immunisierung**

Impfungen bei chronischer  
Niereninsuffizienz und  
nach Nierentransplantation 1323 adt

**Normalwerte**

Cholesterin-Normalwerte im  
Kindesalter 1371 fr

Persistierende Antistrepto-  
lysin-Titer 1099 fr

**Notalgia paraesthetica**

Interdisziplinäre Aspekte der  
Notalgia paraesthetica 1307 kas

**Notfallmedizin**

Beta-Rezeptorenblocker als  
Notfallmaßnahme bei aku-  
tem Herzinfarkt? 1715 fr

**O****Oat Cell Karzinom**

Das extrapulmonale klein-  
zellige Karzinom – eine  
Rarität? 1591 üb

**Octreotid**

Therapie der akuten Pankrea-  
titis 1739 adt

**Okkluder**

Nicht-operativer Verschluss  
des Vorhofseptumdefektes  
bei Erwachsenen. Erfah-  
rungen mit dem Rashkind-  
und dem Sideris-Okkluder  
1341 or

**Omeprazol**

Ist die Ulcuskrankheit eine  
Infektionskrankheit? 1488 km

Omeprazol 1173 as

Therapie der gastroösopha-  
gealen Refluxkrankheit 1473 adt

**Operationen; endoskopi-  
sche**

Derzeitiger Stellenwert der  
Laparoskopie in der onko-  
logischen Chirurgie 1518 kom

Laparoskopische Cholezystek-  
tomie nach Lebervoropera-  
tion 1184 lz

Methoden der interventionel-  
len Pneumologie 1083 adt

Möglichkeiten der laparosko-  
pischen Therapie innerer  
Hernien. Darstellung an  
drei Fällen 1199 kas

**Operationen; laparoskopi-  
sche**

(siehe Operationen; endosko-  
pische)

<b>Operieren; ambulantes</b>									
Ambulante Kataraktoperationen	1486	fr	<b>Ösophagusvarizen</b>	1443	kom	<b>Papulose; maligne atrophische</b>			
			Endoskopische Therapie der Ösophagusvarizenblutung	959	mq	Maligne atrophische Papulose	1427	kas	
			Fundusvarizen			<b>Paraganglien</b>			
<b>Osteodensitometrie</b>						Symptomatik und endokrinologische Befunde bei katecholamin-sezernierenden Tumoren. Ergebnisse bei 106 konsekutiven Patienten	1721	or	
Diagnostik des Osteoporosersikosis. Neue Entwicklungen und »State of the Art« 1994	1289	üb				<b>Paraneoplasien</b>			
Einfluß einer niedrigdosierten Hydrochlorothiazidtherapie auf den Knochenmineralgehalt des axialen und peripheren Skeletts	1645	or	<b>P</b>			(siehe Syndrom; paraneoplastisches)			
			<b>PAI-1</b>			<b>Parasitosen</b>			
			(siehe Fibrinolyse)			Gnathostomiasis nach Aufenthalt in Thailand	1618	kas	
<b>Osteomyelitis</b>			<b>Palliation</b>			Larva migrans cutanea (»creeping eruption«)	1505	mq	
Lumbale Spondylodiszitis durch Salmonella enteritidis	1383	kas	Derzeitiger Stellenwert der Laparoskopie in der onkologischen Chirurgie	1518	kom	<b>Paresen; schlaffe</b>			
			Endoskopische transthorakale Sympathektomie bei paraneoplastischem Raynaud-Syndrom	1162	kas	Intensivtherapie des Guillain-Barré-Syndroms	1248	üb	
<b>Osteopathien</b>			<b>Pankreasabszeß</b>			<b>PBM</b>			
Ostitis deformans (Morbus Paget)	1122	mq	Therapie der akuten Pankreatitis	1739	adt	(siehe Peak-Bone-Mass)			
<b>Osteoporose</b>			<b>Pankreas-Duodenum-Nieren-Transplantation; simultane</b>			<b>Peak-Bone-Mass</b>			
Diagnose eines Ullrich-Turner-Syndroms im Rentengutachten	1115	kas	Kombinierte Nieren- und Pankreastransplantation beim diabetischen Spätsyndrom	1399	adt	Osteoporose bei Männern. Pathogenese und klinische Einteilung bei 254 Fällen	943	or	
Diagnostik des Osteoporosersikosis. Neue Entwicklungen und »State of the Art« 1994	1289	üb	<b>Pankreasinsuffizienz</b>			<b>Pentamidin</b>			
Einfluß einer niedrigdosierten Hydrochlorothiazidtherapie auf den Knochenmineralgehalt des axialen und peripheren Skeletts	1645	or	Zystische Fibrose	1259	lz	Therapie kutaner und mukokutaner Leishmaniosen	1169	adt	
Osteoporose bei Männern. Pathogenese und klinische Einteilung bei 254 Fällen	943	or	<b>Pankreaskarzinom</b>			<b>Persönlichkeitsveränderungen</b>			
Vitamin D und Osteoporose. Pathogenese – Therapie	1479	üb	Pankreaskopfkarzinom mit Stenosen der Ductus pancreaticus et choledochus	1168	mq	Neuropsychiatrische Symptomatik bei primärem Hyperparathyreoidismus	1076	kas	
<b>Ovarialzysten</b>			Pyloruserhaltung – »a never ending story«	1372	lz	<b>Pest</b>			
Differenzierung zwischen prä-maturer Thelarche und Pubertas praecox anhand klinischer, hormoneller und radiologischer Befunde	1301	or	<b>Pankreaspseudozyste</b>			Indikationen zur Pestimpfung und -chemoprophylaxe	1714	fr	
			ERCP bei bekannter Pankreaspseudozyste	1755	fr	<b>Peutz-Jeghers-Syndrom</b>			
<b>Ozon</b>			Therapie der akuten Pankreatitis	1739	adt	Endoskopische Diagnostik zur Prävention und Früherkennung des kolorektalen Karzinoms	1001	adt	
Risiken der Sonnenexposition	1047	üb	<b>Pankreastransplantation</b>			Invagination bei Peutz-Jeghers-Syndrom	960	mq	
<b>Ösophagitis</b>			Kombinierte Nieren- und Pankreastransplantation beim diabetischen Spätsyndrom	1399	adt	<b>Pflege-Personalregelung</b>			
Diagnostik der gastroösophagealen Refluxkrankheit	1433	adt	<b>Pankreatitis</b>			ICD-Verschlüsselung und Pflege-Personalregelung	1412	lz	
Therapie der gastroösophagealen Refluxkrankheit	1473	adt	Akute Hämolyse mit nachfolgender lebensbedrohlicher Pankreatitis bei Hämodialyse. Eine Komplikation, die von den derzeitigen Dialysegeräten nicht verhindert wird	1263	or	<b>Pfortaderdruck</b>			
<b>Ösophagitis-Klassifikation</b>			Therapie der akuten Pankreatitis	1739	adt	Lebervenenverschußdruckmessung	1245	adt	
Therapie der gastroösophagealen Refluxkrankheit	1473	adt	<b>Panzytopenie</b>			<b>Pharmakodynamik</b>			
<b>Ösophaguskarzinom</b>			Schwere Panzytopenie im hohen Lebensalter nach zwölfmonatiger ACE-Hemmer-Therapie	1029	kas	Problematik des Äquivalenzbegriffes bei der Therapie mit Glucocorticoiden. Ein Vergleich der klinischen Pharmakokinetik und Pharmakodynamik von Prednisolon und Methylprednisolon	1671	üb	
Ösophaguskarzinom	1781	mq	<b>Paprikapulver</b>						
<b>Ösophagusmanometrie</b>			Bleiintoxikation durch Mennige in Paprikapulver	1756	lz				
(siehe Manometrie; des Ösophagus)									
<b>Ösophagusmotilität</b>									
Diagnostik der gastroösophagealen Refluxkrankheit	1433	adt							

**Rubrikenschlüssel**

adt = Aktuelle Diagnostik und Therapie  
 ar = Arztrecht  
 as = Der Arzneistoff  
 epi = Epikrise

fr = Fragen aus der Praxis  
 gt = Gedenktage  
 kas = Kasuistiken  
 km = Kleine Mitteilungen  
 kom = Kommentare

la = Leitartikel  
 lz = Leser-Zuschriften  
 mg = Medizingeschichte  
 mq = Mediquiz  
 nk = Nekrologe

or = Originalien  
 pp = Prinzip & Perspektive  
 stp = Standpunkte  
 üb = Übersichten

<b>Pharmakokinetik</b> Problematik des Äquivalenzbegriffes bei der Therapie mit Glucocorticoiden. Ein Vergleich der klinischen Pharmakokinetik und Pharmakodynamik von Prednisolon und Methylprednisolon	1671	üb	<b>Plexus brachialis</b> Neurologische Symptomatik, Diagnostik und Therapie des sogenannten »thoracic-outlet-syndrom«	1087	üb	<b>Polysaccharide; proteingebundene</b> Adjuvante Chemotherapie nach kurativer Gastrektomie bei Magenkarzinom	1298	km
<b>Phlebothrombosen</b> Einsatz von niedermolekularem Heparin zur Antikoagulation in der Schwangerschaft	1497	kas	<b>Pneumocystis-carinii-Pneumonie</b> Sputumuntersuchung zur Diagnostik der Pneumocystis-carinii-Pneumonie bei HIV-Infizierten	1151	or	<b>Polysomnographie</b> Morbidität und Letalität bei Schlafapnoe und nächtlichen Bradyarrhythmien	1187	or
Östrogenantagonisten und Thromboseprophylaxe	1182	fr	<b>Pneumologie; interventio-nelle</b> Methoden der interventionellen Pneumologie	1083	adt	<b>Posttransplant Lymphoproliferative Disorders</b> Differentialdiagnose von Rundherden nach Lungentransplantation	1105	or
Tiefe Venenthrombose und okkulte, maligne Neoplasien	1719	km	<b>Pneumonie</b> »Bronchiolitis obliterans organizing pneumonia« mit akuter respiratorischer Insuffizienz	1312	kas	<b>Prader-Labhart-Willi-Syndrom</b> Prader-Labhart-Willi-Syndrom	974	fr
<b>Phlegmone; präsakrale</b> Präsakrale Phlegmone und Meningitis als Komplikationen eines Fremdkörpers im Rektosigmoid	990	kas	Churg-Strauss-Syndrom oder chronische eosinophile Pneumonie?	1565	lz	<b>Präexzitationssyndrom</b> Klinische Bedeutung des Ajmalin-Tests in der nicht-invasiven Diagnostik bei Wolff-Parkinson-White-Syndrom	985	or
<b>Phosphatase; alkalische</b> Hämolytische Krise mit Leberversagen als Erstmanifestation eines Morbus Wilson	1421	kas	Isolierung von Chlamydia pneumoniae bei atypischer Pneumonie	1462	kas	<b>Präkancerosen</b> Schistosomiasis und Siegelringzellkarzinom der Ileozökalklappe	1058	lz
<b>Phospholipase C</b> Rolle von Endothelin bei den Ciclosporin-Nebenwirkungen Nephrotoxizität und arterielle Hypertonie	1706	üb	<b>Polyangiitis; mikroskopische</b> Einseitige diffuse Lungenbeteiligung bei Vaskulitis mit Anti-Neutrophilen-Zytoplasma-Antikörpern sowie Antikörpern gegen glomeruläre Basalmembranen	1071	kas	<b>Prävention</b> Akzidentelle Nadelstichverletzung bei medizinischem Pflegepersonal	1563	fr
<b>Phosphorsäureester</b> Serum-Cholinesterase	1016	fr	<b>Polymerase-Kettenreaktion</b> Klinische Bedeutung der Polymerase-Kettenreaktion in der Infektiologie	1625	adt	Antioxidantien	1135	fr
<b>Photosensibilisierung</b> (siehe Therapie; photodynamische)			Nachweis von Tropheryma whippelii mit der Polymerase-Kettenreaktion vor und nach Therapie eines Morbus Whipple	1679	lz	Cholesterin-Normalwerte im Kindesalter	1371	fr
<b>Physiotherapie</b> Zystische Fibrose	1259	lz	<b>Polymorphismus; genetischer</b> Neonatale Alloimmunthrombozytopenie	1512	üb	Endoskopische Diagnostik zur Prävention und Früherkennung des kolorektalen Karzinoms	1001	adt
<b>Pigmentanomalie</b> Interdisziplinäre Aspekte der Notalgia paraesthetica	1307	kas	<b>Polymyalgia rheumatica</b> Heiserkeit bei Polymyalgia rheumatica	1566	lz	HIV-Übertragung bei heterosexuellen Partnern	1805	km
<b>Plasmapherese</b> (siehe Plasmaseparation)			<b>Polyneuritis</b> Polyneuritis und Myositis bei Trypanosoma-gambiense-Infektion	1690	kas	Indikationen zur Pestimpfung und -chemoprophylaxe	1714	fr
<b>Plasmaseparation</b> Intensivtherapie des Guillain-Barré-Syndroms	1248	üb	<b>Polyneuropathie; neoplastische</b> Autoimmunprozesse als paraneoplastische Manifestationen bei familiärem Mammakarzinom	1194	kas	Infektionsprophylaxe bei Dauerverweilkanülen	1017	fr
<b>Plasminogenaktivator</b> (siehe Fibrinolyse)			<b>Polyposis; intestinalis</b> Endoskopische Diagnostik zur Prävention und Früherkennung des kolorektalen Karzinoms	1001	adt	Ist die Neurodermitis eine Krankheit der höheren sozialen Schichten?	1757	km
<b>Plasmozytom</b> Generalisiertes IgG-Lambda-Plasmozytom und Stenose eines Cimino-Shunts durch plasmazelluläre Infiltration	1694	kas	Invagination bei Peutz-Jeghers-Syndrom	960	mq	Risiken der Sonnenexposition Solare Keratose und Sonnenschutzmittel	1047	üb
<b>Pleuraerguß</b> Bromocriptin-induzierte Pleuropneumopathie	1543	kas	<b>Polyradikulitis</b> Intensivtherapie des Guillain-Barré-Syndroms	1248	üb	Vitamin D und Osteoporose. Pathogenese - Therapie	1479	üb
<b>Pleuramesotheliom; malignes</b> Asbest-induzierte Erkrankungen der Lunge und Pleura	1603	lz				<b>Prednisolon</b> Problematik des Äquivalenzbegriffes bei der Therapie mit Glucocorticoiden. Ein Vergleich der klinischen Pharmakokinetik und Pharmakodynamik von Prednisolon und Methylprednisolon	1671	üb
<b>Pleuritis</b> Bromocriptin-induzierte Pleuropneumopathie	1543	kas				<b>Processus-transversus-Anomalien</b> Neurologische Symptomatik, Diagnostik und Therapie des sogenannten »thoracic-outlet-syndrom«	1087	üb



<b>Progesterondermatitis</b>	1258	fr	<b>Proteinurie</b>	1298	km	<b>Pulmonalarteriendruck</b>	1061	or
Autoimmune Progesterondermatitis			Angiotensin-Converting-Enzym-Hemmer bei der Behandlung der diabetischen Nephropathie			Dopplerechokardiographie bei chronischer rechtsventrikulärer Druckbelastung		
<b>Prognosedeterminanten</b>	1663	adt	<b>Prothesenhüllendefekt; bei Mammaprothesen</b>	1453	or	<b>Pylorusstenose</b>	1244	mq
Adjuvante Therapie bei kolorektalen Karzinomen			Kernspintomographie bei Mammaprothesen. Aussagekraft im Vergleich mit Mammographie und Ultraschall			Pylorusstenose		
Derzeitiger Stellenwert der Laparoskopie in der onkologischen Chirurgie	1518	kom	<b>Prothrombinfragment F<sub>1+2</sub></b>	1100	fr	<b>Q</b>		
Rekanalisation langstreckiger Arteria-femoralis-Verschlüsse	1802	lz	Orale Kontrazeption bei Protein-C-Mangel			<b>QT-Syndrom; idiopathisches</b>	1204	mq
Tumorgefäßinvasion beim Mammakarzinom. Hämatoxilin-Eosin- versus immunhistochemische Färbung gegen Faktor-VIII-Antigen	1491	or	<b>Protonenpumpenhemmer</b>	1173	as	Idiopathisches QT-Syndrom (Romano-Ward-Syndrom)		
<b>Prokinetika</b>	1473	adt	Omeprazol	1473	adt	<b>Qualitätskontrolle</b>	1056	lz
Therapie der gastroösophagealen Refluxkrankheit			Therapie der gastroösophagealen Refluxkrankheit			Ambulante Versorgung von Diabetikern		
<b>Proktologie</b>	1701	adt	<b>Pruritus</b>	1307	kas	<b>Qualitätssicherung</b>	1412	lz
Diagnostik und Therapie des Analkarzinoms			Interdisziplinäre Aspekte der Notalgia paraesthetica			ICD-Verschlüsselung und Pflege-Personalregelung	1532	or
<b>Promyelozytenleukämie; akute</b>	1143	or	<b>PSA</b>			Kostenvergleich zwischen der laparoskopischen Cholezystektomie und der extrakorporalen Stoßwellenlithotripsie in der Behandlung von Gallenblasensteinen		
Komplette Remission bei akuter Promyelozytenleukämie. Vorteile von <i>all-trans</i> -Retinsäure im Vergleich mit konventioneller Chemotherapie			(siehe Antigen; Prostataspezifisches)			<b>Quick-Wert</b>	1529	la
<b>Prophylaxe</b>	1365	üb	<b>Pseudoallergie</b>	1728	kas	Ist die »International Normalized Ratio (INR)« in der klinischen Praxis unentbehrlich?		
Epidemiologie und Klinik der chronischen Virushepatitis			Unverträglichkeit der Tuberkulosetherapie bei AIDS			<b>R</b>		
Indikationen zur Pestimpfung und -chemoprophylaxe	1714	fr	<b>Pseudohypoparathyreoidismus</b>	1270	kas	<b>Radikale; freie</b>	1135	fr
<b>Prostaglandinstoffwechsel</b>	1039	mq	Hypocalcämische Kardiomyopathie als Ursache einer schweren Linksherzinsuffizienz			Antioxidantien	1745	pp
Erythromelalgie (Erythromelalgie)			Hypocalcämische Kardiomyopathie als Ursache einer schweren Linksherzinsuffizienz (Berichtigung)	1414		Pathophysiologie der Myokarddurchblutung. Teil II: Postischämische kontraktile Dysfunktion (»stunned«-Myokard)		
<b>Prostatakarzinom</b>	1054	lz	<b>Psoriasis</b>	1126	üb	<b>Radiochemotherapie</b>	1663	adt
Prostatakarzinom			Harnstoff in der Dermatologie			Adjuvante Therapie bei kolorektalen Karzinomen	1701	adt
<b>Prostatitis</b>	1121	adt	<b>Psychosen</b>	1076	kas	Diagnostik und Therapie des Analkarzinoms		
Aktuelle Epidemiologie, Diagnostik und Therapie der Urogenitaltuberkulose			Neuropsychiatrische Symptomatik bei primärem Hyperparathyreoidismus			<b>Radiotherapie; bei malignen Tumoren</b>	1054	lz
<b>Protein C; aktiviertes</b>	1680	km	<b>Psychosomatik</b>	1283	adt	Prostatakarzinom		
Resistenz gegenüber aktiviertem Protein C			Erfassung von Angst und Depressivität in der medizinischen Routineversorgung			<b>Rashkind-Okkluder</b>	1341	or
<b>Protein-C-Mangel</b>	1100	fr	<b>Pubarche</b>	1301	or	Nicht-operativer Verschluss des Vorhofseptumdefektes bei Erwachsenen. Erfahrungen mit dem Rashkind- und dem Sideris-Okkluder		
Orale Kontrazeption bei Protein-C-Mangel			Differenzierung zwischen prä-maturer Thelarche und Pubertas praecox anhand klinischer, hormoneller und radiologischer Befunde			<b>Raynaud-Syndrom; sekundäres</b>	1162	kas
<b>Proteinkinase</b>	1706	üb	<b>Pubertas praecox</b>	1301	or	Endoskopische transthorakale Sympathektomie bei paraneoplastischem Raynaud-Syndrom		
Rolle von Endothelin bei den Ciclosporin-Nebenwirkungen Nephrotoxizität und arterielle Hypertonie			Differenzierung zwischen prä-maturer Thelarche und Pubertas praecox anhand klinischer, hormoneller und radiologischer Befunde					

**Rubrikenschlüssel**

adt = Aktuelle Diagnostik und Therapie  
 ar = Arztrecht  
 as = Der Arzneistoff  
 epi = Epikrise

fr = Fragen aus der Praxis  
 gt = Gedenktage  
 kas = Kasuistiken  
 km = Kleine Mitteilungen  
 kom = Kommentare

la = Leitartikel  
 lz = Leser-Zuschriften  
 mg = Medizingeschichte  
 mq = Mediquiz  
 nk = Nekrologe

or = Originalien  
 pp = Prinzip & Perspektive  
 stp = Standpunkte  
 üb = Übersichten

<b>Rechtsherzbelastung</b>			<b>Rhythmus; idioventri- kulärer</b>		<b>Rückenschmerzen</b>	
Dopplerechokardiographie bei chronischer rechtsven- trikulärer Druckbelastung	1061	or	Idioventrikulärer Rhythmus	1432 mq	Lumbale Spondylodiszitis durch Salmonella enteriti- dis	1383 kas
<b>Rechtsmedizin</b>			<b>Risikofaktoren</b>		<b>S</b>	
Geschäftsfähigkeit bei hohem Blutalkoholspiegel	1602	fr	Akute Myokardischämie, ven- trikuläre Tachyarrhyth- mien und plötzlicher Herz- tod	1786 üb	<b>Salbutamol</b>	
<b>Recurrensparese</b>			Carotiswandveränderungen bei jungen Typ-I-Diabeti- kern. Ultraschalldiagnostik der frühen Arteriosklerose	1225 or	Regelmäßige Asthma-Thera- pie mit β-Sympathikomime- tika	1020 km
Heiserkeit bei Polymyalgia rheumatica	1566	lz	Cholesterin und koronare Herzkrankheit	1059 km	<b>Salmonellosen</b>	
<b>Refluxkrankheit</b>			Einfluß spontan niedriger und diätetisch-medikamen- tös gesenkter Cholesterin- spiegel auf nicht-kardiovas- kuläre Todesursachen	1597 kom	Idiopathische CD4-Lympho- zytopenie mit letaler Salmo- nella-typhimurium-Sepsis	956 kas
Diagnostik der gastroösopha- gealen Refluxkrankheit	1433	adt	Einsatz von niedermolekula- rem Heparin zur Antikoa- gulation in der Schwanger- schaft	1497 kas	Lumbale Spondylodiszitis durch Salmonella enteriti- dis	1383 kas
Therapie der gastroösopha- gealen Refluxkrankheit	1473	adt	Epidemiologie und Klinik der chronischen Virushepatitis	1365 üb	<b>Sarkoidose; der Leber</b>	
<b>Rekanalisation; bei Koro- narverschlüssen</b>			Fettarme Diät und körperli- ches Training bei korona- rer Herzkrankheit	1017 lz	Sarkoidose der Leber (Morbus Boeck)	1397 mq
Wiedereröffnung chronischer Koronararterienver- schlüsse: Welche Faktoren beeinflussen den Erfolg?	1766	or	Fischaugenkrankheit	1393 kas	<b>Schädelverletzungen</b>	
<b>Rekanalisation; peripherer Arterienverschlüsse</b>			Gerbstoffe und Krebsrisiko	1411 fr	Schutzhelme für radfahrende Kinder	1021 km
Rekanalisation langstrecki- ger Arteria-femoralis-Ver- schlüsse	1802	lz	Hodenkrebsrisiko nach Vasektomie	1757 km	<b>Schilddrüsenkarzinom</b>	
<b>Rektumfremdkörper</b>			Hohe Letalität von Tetanus- infektionen nach intra- muskulärer Injektion von Chinin	1681 km	Jodinduzierte Hyperthyreose bei metastasiertem Schild- drüsenkarzinom	1573 kas
Präsakrale Phlegmone und Meningitis als Komplikatio- nen eines Fremdkörpers im Rektosigmoid	990	kas	Hypocholesterinämie	1677 fr	Schilddrüsenkarzinom	1737 mq
<b>Renin-Angiotensin-System</b>			Ist die Neurodermitis eine Krankheit der höheren sozialen Schichten?	1757 km	<b>Schirmer-Test</b>	
Renin-Angiotensin-System und Blutdruckregulation	965	pp	Morbidität und Letalität bei Schlafapnoe und nächt- lichen Bradyarrhythmien	1187 or	Sicca-Symptomatik unter systemischer Therapie mit Beta-Rezeptorenblockern	1783 adt
<b>Re-Okklusion; von Koro- narverschlüssen</b>			Orale Kontrazeption bei Pro- tein-C-Mangel	1100 fr	<b>Schistosomiasis</b>	
Wiedereröffnung chronischer Koronararterienver- schlüsse: Welche Faktoren beeinflussen den Erfolg?	1766	or	Osteoporose bei Männern. Pathogenese und klinische Einteilung bei 254 Fällen	943 or	Schistosomiasis und Siegel- ringzellkarzinom der Ileo- zökalklappe	1058 lz
<b>Reperfusion</b>			Risikofaktoren für gastrointe- stinale Blutungen bei Patienten der Intensivsta- tion	1337 km	<b>Schlafmedizin</b>	
Pathophysiologie der Myo- karddurchblutung. Teil II: Postischämische kontrak- tile Dysfunktion (»stunned«-Myokard)	1745	pp	Solare Keratose und Sonnen- schutzmittel	1223 km	Ambulante Behandlung von Schlafstörungen im Alter	1538 or
<b>Restless legs</b>			Tiefe Venenthrombose und okkulte, maligne Neopla- sien	1719 km	Morbidität und Letalität bei Schlafapnoe und nächt- lichen Bradyarrhythmien	1187 or
Fibromyalgie-Syndrom	1639	lz	<b>Risikofaktoren; psycho- soziale</b>		<b>Schlaganfall</b> (siehe Insult; zerebraler)	
<b>Retinopathie; diabetische</b>			Elterliche Vernachlässigung in der Kindheit und Adipo- sitas im frühen Erwachse- nenalter	1103 km	<b>Schmerztherapie</b>	
Ambulante Versorgung von Diabetikern	1056	lz	<b>Risikoindikatoren</b>		Endoskopische transthora- kale Sympathektomie bei paraneoplastischem Raynaud-Syndrom	1162 kas
Intensivierte Behandlung des Diabetes mellitus Typ I und Entwicklung von Spätkom- plikationen	976	km	Fettarme Diät und körperli- ches Training bei korona- rer Herzkrankheit	1017 lz	Schmerzbehandlung bei ambulanten Patienten mit metastasierendem Karzi- nom	1223 km
<b>Revaskularisation</b>			<b>Rodbell, Martin</b>		<b>Schock</b>	
Chronische mesenteriale Ischämie	979	or	Nobelpreis für Medizin 1994	1792 kom	Schock und Gerinnungsstö- rungen bei systemischer Mastozytose	1231 kas
<b>Rhabdomyolyse</b>			<b>Rundherde; pulmonale</b>		<b>Schwangerschaft</b>	
Akutes myoglobinurisches Nierenversagen als Folge von autoaggressivem Ver- halten bei Oligophrenie	994	kas	Differentialdiagnose von Rundherden nach Lungen- transplantation	1105 or	Calcitriol-Gabe in der Schwangerschaft bei par- tieller DiGeorge-Anomalie	1776 kas
<b>Rhabdomyosarkom</b>					Einsatz von niedermolekula- rem Heparin zur Antikoa- gulation in der Schwanger- schaft	1497 kas
Pleomorphes Rhabdomyo- sarkom	1243	mq			Jodprophylaxe in der Schwangerschaft	1339 la

Neonatale Hyperthyreose bei nicht diagnostiziertem Morbus Basedow der Mutter. Probleme der Diagnostik und Therapie anhand einer Kasuistik	1346	kas	<b>Short-Term Hibernating-Myokard</b>				
Psychische Belastung in der Schwangerschaft und Frühgeburt	1141	km	Pathophysiologie der Myokarddurchblutung. Teil I: Adaptation an Myokardischämie (»hibernating«-Myokard)	1589	pp	<b>Sinusitis</b>	Sinusitis bei HIV-Infektion 1759 or
<b>Schweißdrüsentumor</b>			<b>Shunt; transjugulärer intrahepatischer portosystemischer</b>			<b>Sinusknottensyndrom</b>	Schrittmachertherapie beim Syndrom des kranken Sinusknotens. Senken vorhoffbeteiligte Schrittmachersysteme die Häufigkeit von Vorhofflimmern und thromboembolischen Komplikationen sowie die Mortalität?
Sogenannter Misch tumor der Haut (chondroides Syndrom)	1471	mq	Therapie des Aszites bei Lebererkrankungen	1549	adt	<b>Sjögren-Syndrom</b>	Autoimmunprozesse als paraneoplastische Manifestationen bei familiärem Mammakarzinom 1194 kas
<b>Schwerketten-Erkrankungen</b>			<b>Shunts; peritoneovenöse</b>			<b>Sklerosierungsbehandlung; von Ösophagusvarizen</b>	Endoskopische Therapie der Ösophagusvarizenblutung 1443 kom
Gamma-Schwerketten-Produktion als Epiphänomen bei Non-Hodgkin-Lymphom	1235	kas	Therapie des Aszites bei Lebererkrankungen	1549	adt	<b>Sludge; in der Gallenblase</b>	Gallenblasen-Sludge und Einnahme von Lipidsenkern 1524 fr
<b>Screening; pränatales</b>			<b>Shunts; portosystemische</b>			<b>Sodbrennen</b>	Diagnostik der gastroösophagealen Refluxkrankheit 1433 adt
Diagnostik und Therapie der konnatalen Toxoplasmose	1335	lz	Endoskopische Therapie der Ösophagusvarizenblutung	1443	kom	<b>Solvens-Detergens-Verfahren</b>	Rationale Substitution mit Blut- und Blutbestandteilkonserven 1555 üb
Indikation zur Amniozentese bei über 35jährigen Schwangeren aufgrund von Serummarkern	1413	km	Therapie des Aszites bei Lebererkrankungen	1549	adt	<b>Sonnenlicht</b>	Risiken der Sonnenexposition 1047 üb
<b>Sehstörungen</b>			<b>SIADH</b>			<b>Sonnenschutzmittel</b>	Solare Keratose und Sonnenschutzmittel 1223 km
Fischaugenkrankheit	1393	kas	(siehe Hormon; Antidiuretisches; Syndrom der inadäquaten Sekretion)			<b>Sotalol</b>	Sotalol 1477 as
<b>Sekundärprävention</b>			<b>Sicca-Symptomatik</b>			<b>Spätsyndrom; diabetisches</b>	Insulinpflichtiger Diabetes mellitus nach 58 Jahren 1450 lz
Angiotensin-Converting-Enzym-Hemmer nach Herzinfarkt	1448	fr	Sicca-Symptomatik unter systemischer Therapie mit Beta-Rezeptorenblockern	1783	adt	Kombinierte Nieren- und Pankreastransplantation beim diabetischen Spätsyndrom 1399 adt	
Fettarme Diät und körperliches Training bei koronarer Herzkrankheit	1017	lz	<b>Sideris-Okkluder</b>			<b>Speicheldrüsentumoren</b>	Kanalikuläres Adenom 1623 mq Myoepitheliom (myoepitheliales Adenom) 1091 mq Pleomorphes Rhabdomyosarkom 1243 mq
<b>Selbstbeatmung; intermittierende</b>			Nicht-operativer Verschluss des Vorhofseptumdefektes bei Erwachsenen. Erfahrungen mit dem Rashkind- und dem Sideris-Okkluder	1341	or	<b>Spielmeyer-Vogt-Krankheit</b>	Leere Vakuolen im Zytoplasma der Lymphozyten bei juveniler neuronaler Ceroidlipofuscinose (Spielmeyer-Vogt-Krankheit, Batten-Krankheit) 1431 mq
Ventilatorische Insuffizienz und hyperkapnische Kompensation infolge chronisch belasteter »Atempumpe«. Physiologie, Pathophysiologie und Therapie	1209	üb	<b>Sigma-Rektum-Pouch</b>				
<b>Selbstverstümmelung</b>			Aktuelle Möglichkeiten des kontinentalen Harnblasersatzes	1327	üb		
Akutes myoglobinurisches Nierenversagen als Folge von autoaggressivem Verhalten bei Oligophrenie	994	kas	<b>Signaltransduktion</b>				
<b>Sensibilitätsstörungen</b>			Nobelpreis für Medizin 1994	1792	kom		
Neurologische Symptomatik, Diagnostik und Therapie des sogenannten »thoracic-outlet-syndrome«	1087	üb	<b>Silikonimplantate</b>				
<b>Sepsis-Erreger</b>			Kernspintomographie bei Mammaprothesen. Aussagekraft im Vergleich mit Mammographie und Ultraschall	1453	or		
Nehmen Infektionen durch hämolysierende Streptokokken der Gruppe A zu?	1336	lz	<b>Single-Photonenabsorptiometrie</b>				
<b>Serum-Ferritin</b>			Diagnostik des Osteoporoserisikos. Neue Entwicklungen und »State of the Art« 1994	1289	üb		
Eisenmangelanämie	1403	pp	<b>Sinnesphysiologie</b>				
			Hermann von Helmholtz (1821-1894) – Militärarzt, Sinnesphysiologe und »Reichskanzler der deutschen Physik«. Zum 100. Todestag des universalen Arztes und Naturforschers	1215	mg		

**Rubrikenschlüssel**

adt = Aktuelle Diagnostik und Therapie  
 ar = Arztrecht  
 as = Der Arzneistoff  
 epi = Epikrise

fr = Fragen aus der Praxis  
 gt = Gedenktage  
 kas = Kasuistiken  
 km = Kleine Mitteilungen  
 kom = Kommentare

la = Leitartikel  
 lz = Leser-Zuschriften  
 mg = Medizingeschichte  
 mq = Mediquiz  
 nk = Nekrologe

or = Originalien  
 pp = Prinzip & Perspektive  
 stp = Standpunkte  
 üb = Übersichten

<b>Spiralcomputertomographie</b>			<b>Streptokokken; hämolysierende</b>			<b>Synoviadiagnostik</b>		
Direkter Embolusnachweis durch Spiral-Computertomographie bei akuter Lungenembolie	1525	lz	Nehmen Infektionen durch hämolysierende Streptokokken der Gruppe A zu?	1336	lz	Nachweis von Borrelia-burgdorferi-DNA in der Gelenkflüssigkeit bei Lyme-Arthritis	1451	km
<b>Spondylodiszitis</b>			<b>Streptolysin O</b>			<b>Syngom; chondroides</b>		
Lumbale Spondylodiszitis durch Salmonella enteritidis	1383	kas	Persistierende Antistreptolysin-Titer	1099	fr	Sogenannter Misch tumor der Haut (chondroides Syndrom)	1471	mq
<b>Sputumdiagnostik</b>			<b>Streß; psychologischer</b>			<b>Syngomyelie</b>		
Sputumuntersuchung zur Diagnostik der Pneumocystis-carinii-Pneumonie bei HIV-Infizierten	1151	or	Müdigkeit und psychologischer Streß	1451	km	Syngomyelie als seltene Ursache einer beatmungspflichtigen respiratorischen Insuffizienz	1771	kas
<b>Staging</b> (siehe Tumor-Staging)			<b>Struma multinodosa</b>			<b>T</b>		
<b>Stammganglienverkalkungen</b>			Farbdopplersonographisch gesteuerte perkutane Alkoholinjektion zur Therapie der funktionellen Schilddrüsenautonomie	1607	or	<b>Takayasu-Arteriitis</b>		
Calcitriol-Gabe in der Schwangerschaft bei partieller DiGeorge-Anomalie	1776	kas	<b>Stunned Myokard</b>			Takayasu-Arteriitis	1801	fr
<b>Standby-Medikamente</b>			Pathophysiologie der Myokarddurchblutung. Teil II: Postischämische kontraktile Dysfunktion (»stunned«-Myokard)	1745	pp	<b>Tamoxifen</b>		
Indikationen zur Pestimpfung und -chemoprophylaxe	1714	fr	<b>Subarachnoidalblutungen</b>			Östrogenantagonisten und Thromboseprophylaxe	1182	fr
<b>Staroperation</b>			Subarachnoidalblutung	1322	mq	<b>Tannine</b>		
Ambulante Kataraktoperationen	1486	fr	<b>Sulcus-ularis-Syndrom</b>			Gerbstoffe und Krebsrisiko	1411	fr
<b>Statistisches Bundesamt; Mitteilungen</b>			Neurologische Symptomatik, Diagnostik und Therapie des sogenannten »thoracic-outlet-syndrome«	1087	üb	<b>Tastkörperchen-Neurom</b>		
Kindersitz im Personenwagen bewährt sich	976	km	<b>Suramin</b>			Digitales Tastkörperchen-Neurom	999	mq
Tuberkuloseerkrankungen 1993	1185	km	Polyneuritis und Myositis bei Trypanosoma-gambiense-Infektion	1690	kas	<b>Teekonsum</b>		
<b>Stellatumblockade</b>			<b>Sympathektomie</b>			Gerbstoffe und Krebsrisiko	1411	fr
Endoskopische transthorakale Sympathektomie bei paraneoplastischem Raynaud-Syndrom	1162	kas	Endoskopische transthorakale Sympathektomie bei paraneoplastischem Raynaud-Syndrom	1162	kas	<b>Template-Technik</b>		
<b>Stickstoffmonoxid</b>			<b>Syndrom; hepatorenales</b>			Diagnostik und Therapie des Analkarzinoms	1701	adt
Gesteigerte vaskuläre Sensitivität auf Nitroglycerin bei Patienten mit Hypercholesterinämie und peripherer Endotheldysfunktion	1065	or	Therapie des Aszites bei Lebererkrankungen	1549	adt	<b>Teratogenität</b>		
<b>Stickstoffmonoxid-Synthase</b>			<b>Syndrom; paraneoplastisches</b>			Windpocken in der ersten Schwangerschaftshälfte	1527	km
Induktion der Stickstoffmonoxid(NO)-Synthase	1413	km	Autoimmunprozesse als paraneoplastische Manifestationen bei familiärem Mammakarzinom	1194	kas	<b>Tests; psychometrische</b>		
<b>Stoßwellenlithotripsie; Extrakorporale</b>			Das extrapulmonale kleinzellige Karzinom – eine Rarität?	1591	üb	Erfassung von Angst und Depressivität in der medizinischen Routineversorgung	1283	adt
Kostenvergleich zwischen der laparoskopischen Cholezystektomie und der extrakorporalen Stoßwellenlithotripsie in der Behandlung von Gallenblasensteinen	1532	or	Endoskopische transthorakale Sympathektomie bei paraneoplastischem Raynaud-Syndrom	1162	kas	<b>Tetanus</b>		
<b>Strahlenbelastung</b>			Hyponatriämisches Koma	1139	lz	Hohe Letalität von Tetanusinfektionen nach intramuskulärer Injektion von Chinin	1681	km
Britische Atomwaffentests der fünfziger und sechziger Jahre	1413	km	<b>Syndrome</b>			<b>Thelarche; prämatüre</b>		
<b>Streptokinase</b> (siehe Fibrinolyse)			Diagnose eines Ullrich-Turner-Syndroms im Rentengutachten	1115	kas	Differenzierung zwischen prämatürer Thelarche und Pubertas praecox anhand klinischer, hormoneller und radiologischer Befunde	1301	or
			Kallmann-Syndrom. Pathophysiologie und Klinik	1436	üb	<b>Thenaratrophy</b>		
			<b>Syndrome; neurokutane</b>			Neurologische Symptomatik, Diagnostik und Therapie des sogenannten »thoracic-outlet-syndrome«	1087	üb
			Interdisziplinäre Aspekte der Notalgia paraesthetica	1307	kas	<b>Therapie; photodynamische</b>		
			<b>Synkinesien</b>			Photodynamische Therapie eines Magenstumpfkarcinoms in kurativer Absicht. Erster Fallbericht einer klinischen Anwendung in Deutschland	951	kas
			Kallmann-Syndrom. Pathophysiologie und Klinik	1436	üb	<b>Thiazid</b>		
						Einfluß einer niedrigdosierten Hydrochlorothiazidtherapie auf den Knochenmineralgehalt des axialen und peripheren Skeletts	1645	or

<b>Thoracic-outlet-syndrom</b> Neurologische Symptomatik, Diagnostik und Therapie des sogenannten »thoracic-outlet-syndrom«	1087	üb	<b>Thrombozytopenie</b> Neonatale Alloimmunthrombozytopenie	1512	üb	<b>Tranquillizer</b> Ambulante Behandlung von Schlafstörungen im Alter	1538	or
<b>Thorakoskopie</b> Methoden der interventionellen Pneumologie	1083	adt	Reversible Thrombozytopenie bei Digitoxinüberdosierung	1734	kas	<b>Transcortin</b> Problematik des Äquivalenzbegriffes bei der Therapie mit Glucocorticoiden. Ein Vergleich der klinischen Pharmakokinetik und Pharmakodynamik von Prednisolon und Methylprednisolon	1671	üb
<b>Thoraxchirurgie; minimal-invasive</b> Methoden der interventionellen Pneumologie	1083	adt	<b>Thymushypoplasie</b> Calcitriol-Gabe in der Schwangerschaft bei partieller DiGeorge-Anomalie	1776	kas	<b>Transferrin</b> Eisenmangelanämie	1403	pp
<b>Thoraxschmerzen</b> Akute Aortendissektion. Diagnose durch transthorakale Echokardiographie	1297	lz	<b>Thyreotoxikose</b> (siehe Hyperthyreose)			<b>Transfusion</b> (siehe Hämotherapie)		
Klinische und koronarangiographische Befunde bei Frauen mit Thoraxschmerzen	1337	km	<b>Thyreotropin</b> Latente Hyperthyreose	1334	fr	<b>Transkriptase; reverse</b> Klinische Bedeutung der Polymerase-Kettenreaktion in der Infektiologie	1625	adt
<b>Thromben; intrakardiale</b> Spontaner Echokontrast im linken Ventrikel als Indikator für ein erhöhtes Thromboembolie-Risiko	1317	kas	Neonatale Hyperthyreose bei nicht diagnostiziertem Morbus Basedow der Mutter. Probleme der Diagnostik und Therapie anhand einer Kasuistik	1346	kas	<b>Transplantation</b> Aufbau der Deutschen Knochenmarkspenderdatei	1359	adt
<b>Thromboembolien</b> Einsatz von niedermolekularem Heparin zur Antikoagulation in der Schwangerschaft	1497	kas	<b>Tinea capitis</b> Tinea capitis durch Microsporon canis	1357	mq	Kombinierte Nieren- und Pankreastransplantation beim diabetischen Spätsyndrom	1399	adt
Schrittmachertherapie beim Syndrom des kranken Sinusknotens. Senken vorhoffeteiligte Schrittmachersysteme die Häufigkeit von Vorhofflimmern und thromboembolischen Komplikationen sowie die Mortalität?	1683	or	<b>Tiotropiumbromid</b> Enzephalopathie nach Intoxikation mit einem Anticholinergikum	1803	lz	Psychosoziale Probleme bei Langzeitimmunsuppression nach Organtransplantation	1678	lz
Spontaner Echokontrast im linken Ventrikel als Indikator für ein erhöhtes Thromboembolie-Risiko	1317	kas	<b>TIPS</b> (siehe Shunt; transjugulärer intrahepatischer portosystemischer)			Sekundäre Neoplasien nach Immunsuppression	1747	üb
<b>Thrombolysen</b> (siehe Fibrinolyse)			<b>Todesursachen</b> Einfluß spontan niedriger und diätetisch-medikamentös gesenkter Cholesterinspiegel auf nicht-kardiovaskuläre Todesursachen	1597	kom	<b>Transposition; kardialer Arterien</b> Kongenital korrigierte Transposition der großen Arterien im Erwachsenenalter. Wert nicht-invasiver Untersuchungsmethoden	1156	kas
<b>Thrombophilie</b> Orale Kontrazeption bei Protein-C-Mangel	1100	fr	<b>Torsade de pointes</b> Sotalol	1477	as	<b>Tränensekretion</b> Sicca-Symptomatik unter systemischer Therapie mit Beta-Rezeptorenblockern	1783	adt
<b>Thromboplastinzeit</b> Ist die »International Normalized Ratio (INR)« in der klinischen Praxis unentbehrlich?	1529	la	<b>Touristikmedizin</b> Gnathostomiasis nach Aufenthalt in Thailand	1618	kas	<b>Treitz-Hernie</b> Möglichkeiten der laparoskopischen Therapie innerer Hernien. Darstellung an drei Fällen	1199	kas
<b>Thrombosen; venöse</b> Resistenz gegenüber aktiviertem Protein C	1680	km	Larva migrans cutanea (»creeping eruption«)	1505	mq	<b>Tretinoin</b> Komplette Remission bei akuter Promyelozytenleukämie. Vorteile von <i>all-trans</i> -Retinsäure im Vergleich mit konventioneller Chemotherapie	1143	or
<b>Thromboseprophylaxe</b> Östrogenantagonisten und Thromboseprophylaxe	1182	fr	Polyneuritis und Myositis bei Trypanosoma-gambiense-Infektion	1690	kas	<b>Trinkwasserfluoridierung</b> Akute Vergiftung durch fluoridiertes Trinkwasser	1185	km
<b>Thrombozytensubstitution</b> Rationale Substitution mit Blut- und Blutbestandteilkonserven	1555	üb	Therapie kutaner und mukokutaner Leishmaniosen	1169	adt	<b>Tripel-Therapie</b> Ist die Ulcuskrankheit eine Infektionskrankheit?	1488	km
			<b>Toxoplasmose; konnatale</b> Diagnostik und Therapie der konnatalen Toxoplasmose	1335	lz			
			<b>Tracheobronchitis; akute</b> Isolierung von Chlamydia pneumoniae bei atypischer Pneumonie	1462	kas			
			<b>Training; körperliches</b> Fettarme Diät und körperliches Training bei koronarer Herzkrankheit	1017	lz			

**Rubrikenschlüssel**

adt = Aktuelle Diagnostik und Therapie  
ar = Arztrecht  
as = Der Arzneistoff  
epi = Epikrise

fr = Fragen aus der Praxis  
gt = Gedenktage  
kas = Kasuistiken  
km = Kleine Mitteilungen  
kom = Kommentare

la = Leitartikel  
lz = Leser-Zuschriften  
mg = Medizingeschichte  
mq = Mediquiz  
nk = Nekrologe

or = Originalien  
pp = Prinzip & Perspektive  
stp = Standpunkte  
üb = Übersichten

<b>Trisomie 21</b>									
Indikation zur Amniozentese bei über 35jährigen Schwangeren aufgrund von Serummarkern	1413	km							
<b>Tropenkrankheiten</b>									
Schistosomiasis und Siegelringzellkarzinom der Ileo-zökalklappe	1058	lz							
<b>Tropheryma whippelii</b>									
Nachweis von Tropheryma whippelii mit der Polymerase-Kettenreaktion vor und nach Therapie eines Morbus Whipple	1679	lz							
<b>Troponin</b>									
Die klinische Bedeutung der Konzentrationsbestimmung der Troponine	1013	la							
<b>Trypanosomiasis</b>									
Polyneuritis und Myositis bei Trypanosoma-gambiense-Infektion	1690	kas							
<b>TSH</b>									
(siehe Thyreotropin)									
<b>TSH-Rezeptor-Autoantikörper</b>									
Neonatale Hyperthyreose bei nicht diagnostiziertem Morbus Basedow der Mutter. Probleme der Diagnostik und Therapie anhand einer Kasuistik	1346	kas							
<b>Tuberkulin-Hauttests</b>									
Aktuelle Epidemiologie, Diagnostik und Therapie der Urogenitaltuberkulose	1121	adt							
<b>Tuberkulose</b>									
Tuberkuloseerkrankungen 1993	1185	km							
Unverträglichkeit der Tuberkulosetherapie bei AIDS	1728	kas							
<b>Tuberkulose; extrapulmonale</b>									
Aktuelle Epidemiologie, Diagnostik und Therapie der Urogenitaltuberkulose	1121	adt							
Baker-Zyste bei osteoartikulärer Tuberkulose des Kniegelenks	1579	kas							
Baker-Zyste bei osteoartikulärer Tuberkulose des Kniegelenks (Berichtigung)	1806								
Endoskopische Diagnose einer Kolontuberkulose	1653	kas							
Ösophago-mediastinale Fisteln als seltene Komplikation der Tuberkulose bei einem HIV-infizierten Patienten	1613	kas							
<b>Tuberkulostatika</b>									
(siehe Antituberkulotika)									
<b>Tumorantigene</b>									
Das extrapulmonale kleinzellige Karzinom – eine Rarität?	1591	üb							
<b>Tumorchirurgie</b>									
Tumorverkleinerung im Stadium M1?	1564	fr							
<b>Tumoren; an der Hand</b>									
Differentialdiagnose knotiger Tumoren an der Hand	1101	lz							
<b>Tumor-Gefäß-Interaktion</b>									
Pathologie der Pulmonalarterien bei Lungentumoren	1415	or							
<b>Tumorgefäßinvasion</b>									
Tumorgefäßinvasion beim Mammakarzinom. Hämatoxylin-Eosin- versus immunhistochemische Färbung gegen Faktor-VIII-Antigen	1491	or							
<b>Tumorschmerzen</b>									
Schmerzbehandlung bei ambulanten Patienten mit metastasierendem Karzinom	1223	km							
<b>Tumor-Staging</b>									
Derzeitiger Stellenwert der Laparoskopie in der onkologischen Chirurgie	1518	kom							
<b>Tumorverkleinerung</b>									
Tumorverkleinerung im Stadium M1?	1564	fr							
<b>Turner-Syndrom</b>									
Diagnose eines Ullrich-Turner-Syndroms im Rentengutachten	1115	kas							
<b>T-Zell-Lymphom; pleomorphes</b>									
Hochmalignes peripheres T-Zell-Lymphom vom großzelligen polymorphen Typ	1321	mq							
<b>U</b>									
<b>Ulcerkrankheit</b>									
Ist die Ulcerkrankheit eine Infektionskrankheit?	1488	km							
Modifizierter <sup>13</sup> C-Atemtest in der Diagnostik der Helicobacter-pylori-Besiedlung der gastralen Mucosa	1569	or							
Omeprazol	1173	as							
<b>Ullrich-Turner-Syndrom</b>									
Diagnose eines Ullrich-Turner-Syndroms im Rentengutachten	1115	kas							
<b>Ultraviolettstrahlung</b>									
Risiken der Sonnenexposition	1047	üb							
<b>Umweltschadstoffe</b>									
(siehe Enviroentologie)									
<b>Unfallverhütung</b>									
Kindersitz im Personewagen bewährt sich	976	km							
Schutzhelme für radfahrende Kinder	1021	km							
<b>Universal-Spenderblut</b>									
Universal-Spenderblut	1019	lz							
<b>Urease-Test</b>									
Modifizierter <sup>13</sup> C-Atemtest in der Diagnostik der Helicobacter-pylori-Besiedlung der gastralen Mucosa	1569	or							
<b>Urikostatikum</b>									
Allopurinol	1045	as							
<b>Urogenitaltuberkulose</b>									
Aktuelle Epidemiologie, Diagnostik und Therapie der Urogenitaltuberkulose	1121	adt							
<b>Überdruckbeatmung; kontinuierliche nasale</b>									
Morbidität und Letalität bei Schlafapnoe und nächtlichen Bradyarrhythmien	1187	or							
<b>Übergewicht</b>									
(siehe Adipositas)									
<b>V</b>									
<b>Varizella-Zoster-Virus</b>									
Windpocken in der ersten Schwangerschaftshälfte	1527	km							
Wirksamkeit von Aciclovir und Glucocorticoiden in der Behandlung des Herpes zoster und postzosterischer Neuralgien	1526	km							
<b>Varizellen-Syndrom; kongenitales</b>									
Windpocken in der ersten Schwangerschaftshälfte	1527	km							
<b>Vasektomie</b>									
Hodenkrebsrisiko nach Vasektomie	1757	km							
<b>Vaskulitis</b>									
Churg-Strauss-Syndrom oder chronische eosinophile Pneumonie?	1565	lz							
Hepatitis-B-assoziierte Vaskulitis. Verlauf unter Therapie mit Glucocorticoiden und Alpha-Interferon	1388	kas							
Maligne atrophische Papulose	1427	kas							
<b>Vaskulitis; ANCA-assoziierte</b>									
Einseitige diffuse Lungenbeteiligung bei Vaskulitis mit Anti-Neutrophilen-Zytoplasma-Antikörpern sowie Antikörpern gegen glomeruläre Basalmembranen	1071	kas							
<b>Vasodilatation</b>									
Gesteigerte vasculäre Sensitivität auf Nitroglycerin bei Patienten mit Hypercholesterinämie und peripherer Endotheldysfunktion	1065	or							
<b>Vasokonstriktion; postinspiratorische</b>									
Dopplersonographie peripherer Arterien bei tiefer Inspiration zur Überprüfung der sympathischen Gefäßinnervation	1567	km							
<b>Vasomotion</b>									
Angina pectoris und normales Koronarangiogramm bei arterieller Hypertonie und linksventrikulärer Hypertrophie	1175	üb							

<b>Vasospastik</b>			Vitamin D und Osteoporose. Pathogenese - Therapie	1479	üb		<b>X</b>	
Akute Ischämie eines Armes als ungewöhnlicher Ausdruck eines Ergotismus	1501	kas						
Endoskopische transthorakale Sympathektomie bei paraneoplastischem Raynaud-Syndrom	1162	kas	<b>Vitamin E</b> Antioxidantien	1135	fr	<b>Xanthinoxidase-Inhibitor</b> Allopurinol		1045 as
<b>Vater-Pacini-Tastkörperchen</b>			<b>Volvulus; des Magens</b> Behandlung eines intermittierenden Magenvolvulus durch Gastropexie mittels perkutaner endoskopischer Gastrostomie	1658	kas	<b>Xerostomie</b> Sicca-Symptomatik unter systemischer Therapie mit Beta-Rezeptorenblockern		1783 adt
Digitales Tastkörperchen-Neurom	999	mq	<b>Vorhofseptumaneurysma</b> (siehe Aneurysma; des Vorhofseptums)				<b>Y</b>	
<b>Venenkatheter</b>			<b>Vorhofseptumdefekt</b> Nicht-operativer Verschluss des Vorhofseptumdefektes bei Erwachsenen. Erfahrungen mit dem Rashkind- und dem Sideris-Okkluder	1341	or	<b>Yersinia pestis</b> Indikationen zur Pestimpfung und -chemoprophylaxe		1714 fr
Hautdesinfektion vor der Blutentnahme	1182	fr						
Infektionsprophylaxe bei Dauerverweilkanülen	1017	fr					<b>Z</b>	
<b>Ventrikelseptumdefekt</b>								
Großer subaortaler Ventrikelseptumdefekt	1583	mq						
<b>Verletzungen; bei Radfahrern</b>			<b>W</b>			<b>Zidovudin</b> Akzidentelle Nadelstichverletzung bei medizinischem Pflegepersonal		1563 fr
Schutzhelme für radfahrende Kinder	1021	km	<b>Wachstumsfaktoren</b> Therapie einer Clozapin-induzierten Agranulozytose mit granulozytenkolonie-stimulierendem Faktor	1467	kas	Zidovudin bei asymptomatischen HIV-Patienten?		1374 km
<b>Verschreibungspraxis</b>			<b>Wasserhaushalt</b> Glomeruläre Hyperperfusion und Niereninsuffizienz	1136	fr	<b>Zollinger-Ellison-Syndrom</b> Omeprazol		1173 as
Ambulante Behandlung von Schlafstörungen im Alter	1538	or	Therapie des Aszites bei Lebererkrankungen	1549	adt	<b>Zystendrainage; bei Pankreaspseudozysten</b> ERCP bei bekannter Pankreaspseudozyste		1755 fr
<b>Versorgung; ambulante ärztliche</b>			<b>Wärmebehandlung</b> Therapie kutaner und mukokutaner Leishmaniosen	1169	adt	<b>Zystenruptur</b> Rupturgefahr bei Nierenzysten		1486 fr
Ambulante Versorgung von Diabetikern	1056	lz				<b>Zystitis</b> Aktuelle Epidemiologie, Diagnostik und Therapie der Urogenitaltuberkulose		1121 adt
<b>Verweilkanülen</b>			<b>Whipple-Operation</b> Pyloruserhaltung - »a never ending story«	1372	lz			
Infektionsprophylaxe bei Dauerverweilkanülen	1017	fr	<b>Wirbelkörperfrakturen</b> Asymptomatischer primärer Hyperparathyreoidismus. Behandeln oder beobachten?	967	üb	<b>Zytokine</b> Aktueller Stand der Behandlung chronischer Virushepatitiden mit rekombinantem Interferon alpha		961 adt
<b>Virostatika</b>			Osteoporose bei Männern. Pathogenese und klinische Einteilung bei 254 Fällen	943	or	Induktion der Stickstoffmonoxid(NO)-Synthese		1413 km
Zidovudin bei asymptomatischen HIV-Patienten?	1374	km	<b>Wolff-Parkinson-White-Syndrom</b> Adenosintriphosphat (ATP) bei supraventrikulären Tachykardien im Neugeborenen- und Säuglingsalter	1351	kas	<b>Zytostatika</b> Sekundäre Neoplasien nach Immunsuppression		1747 üb
<b>Virusinaktivierungsverfahren</b>			Klinische Bedeutung des Ajmalin-Tests in der nicht-invasiven Diagnostik bei Wolff-Parkinson-White-Syndrom	985	or	<b>Zytostatikaresistenz</b> Pathologie der Pulmonalarterien bei Lungentumoren		1415 or
Rationale Substitution mit Blut- und Blutbestandteilkonserven	1555	üb						
<b>Vitamin-A-Derivate</b>								
Komplette Remission bei akuter Promyelozytenleukämie. Vorteile von <i>all-trans</i> -Retinsäure im Vergleich mit konventioneller Chemotherapie	1143	or						
<b>Vitamin C</b>								
Antioxidantien	1135	fr						
<b>Vitamin-D-Substitution</b>								
Hypocalcämische Kardiomyopathie als Ursache einer schweren Linksherzinsuffizienz	1270	kas						
Hypocalcämische Kardiomyopathie als Ursache einer schweren Linksherzinsuffizienz (Berichtigung)	1414							

**Rubrikenschlüssel**

adt = Aktuelle Diagnostik und Therapie  
ar = Arztrecht  
as = Der Arzneistoff  
epi = Epikrise

fr = Fragen aus der Praxis  
gt = Gedenktage  
kas = Kasuistiken  
km = Kleine Mitteilungen  
kom = Kommentare

la = Leitartikel  
lz = Leser-Zuschriften  
mg = Medizingeschichte  
mq = Mediquiz  
nk = Nekrologe

or = Originalien  
pp = Prinzip & Perspektive  
stp = Standpunkte  
üb = Übersichten

## Autorenregister

<b>A</b>		<b>D</b>										
Adamek, R. J.	1569	or	Dalhoff, K.	1462	kas	Fisseler-Eckhoff,	1415	or	Harf, P.	1359	adt	
	1653	kas	Damian, M. S.	1690	kas	Annette			Harms, D.	1346	kas	
Alfke, H.	1802	lz	Daul, A. E.	1263	or	Flachskampf, F. A.	1006	üb	Harnoncourt, K.	1061	or	
Altenwerth, F. J.	1658	kas	de Leon, F.	1431	mq	Flepp, M.	1374	km	Hatz, C.	1169	adt	
Altermatt, J.	1194	kas	Degenhardt, S.	1421	kas	Föh, K. P.	1270	kas	Hauber, J.	1683	or	
Andersch-	975	lz	Dekan, G.	1105	or	Frank, U.	1017	fr	Hauner, H.	1056	lz	
Borchert, I.			Delius, W.	1029	kas		1182	fr	Hauschild, A.	1047	üb	
Andrassy, K.	994	kas	Derendorf, H.	1671	üb	Franke, S.	1006	üb	Hautmann, H.	1613	kas	
Anelli-Monti,	1061	or	Dertinger, S.	990	kas	Freissmuth, M.	1135	fr	Hayoz, D.	1065	or	
Brigitte			Diekstall, F. F.	1393	kas	Freitag, Maren	1569	or	Heftner, H.	1421	kas	
Antoni, D.	1029	kas	Diener, H. C.	1639	lz	Freundenberg, J.	1297	lz	Hehlmann, R.	1143	or	
Arns, W.	1135	fr	Diesfeld, H. J.	975	lz	Friese, K.	1335	lz	Heinke, M.	1405	üb	
Aumiller, J.	1427	kas	Dingerkus, H.	1585	adt	Frost, D.	1225	or	Heintges, T.	1365	üb	
Aygen, S.	1569	or	Ditton, H. J.	1679	lz	<b>G</b>						
<b>B</b>												
Baldt, M.	1312	kas	Dißmann, R.	1585	adt	Genée, P.	1771	kas	Heinz, Renate	1487	lz	
	1453	or	Dobos, G. J.	1071	kas	Geppert, R.	1156	kas	Helbich, T.	1105	or	
Baron, R.	1162	kas	Dörner, Renate	1019	lz	Gerbes, A. L.	1509	adt	Helmstädter, V.	1058	lz	
Barth, J.	1671	üb	Dörr, H. G.	1346	kas		1549	adt	Hengstler, J. G.	1747	üb	
	1783	adt		1776	kas	Gessler, P.	1351	kas	Hennemann, O.	1569	or	
Bauermeister, G.	1199	kas	Dohmen, A.	1639	lz	Giokoglu, K.	1766	or	Hensen, J.	1776	kas	
Becker, W.	1346	kas	Dohrmann, P.	1701	adt	Girndt, M.	1323	adt	Henze, T.	1248	üb	
Behre, H. M.	1436	üb	Donic, J. M.	1701	adt	Gleichmann, U.	1110	kas	v. Herbay, A.	1679	lz	
Beischer, W.	1225	or	Dorfmueller, P.	1307	kas	Glück, Dorothee	1643	km	v. Herbay,	1041	adt	
Benninger, J.	1532	or	Dorsch, W.	1690	kas	Glück, T.	1388	kas	Alexandra			
Berg, P. A.	1639	lz	Dorsch, W.	974	fr	Glüer, C. C.	1645	or	Herrmann, C.	1283	adt	
Berg, T.	961	adt	Dorst, A. J.	943	or	Görge, G.	1034	kas	Herrmann, R.	1235	kas	
Berger, M.	1298	km	Dralle, H.	1721	or	Golder, W.	1501	kas	Hertle, L.	1327	üb	
Beuckelmann, D.	1800	fr	Drexler, H.	1065	or	Goldschmidt, H.	1287	pp	Herzig, S.	1477	as	
Beyer, J.	976	km		1448	fr		1403	pp	Herzer, R.	1276	kas	
Beyer, T.	1477	as	Drochner, U.	1000	mq		1403	pp	Heuft, H.-G.	961	adt	
v. Birgelen, C.	1034	kas		1322	mq	Gondolf, K. B.	1071	kas	Heusch, G.	1589	pp	
Blank, W.	1607	or		1398	mq	Gossner, L.	951	kas		1745	pp	
Blomhard, G.	1421	kas	Dumoulin, F. L.	1239	kas	Grabensee, B.	1421	kas	Heuser-Link, M.	1076	kas	
Blum, H. E.	1792	kom	<b>E</b>				Grabenwöger, M.	1105	or	Heyen, S.	1597	kom
Blum, J.	1169	adt	Ebel, H.	1399	adt	Grassot, Annegret	1728	kas	Hild, Frauke	1143	or	
Boden, H.	1405	üb	Eberli, F.	1543	kas	Greger, B.	1399	adt	Hinkel, K.	974	fr	
Bodenseh, Anne	1565	lz	Ebert, A.	1359	adt	Greiwe, M.	1115	kas	Hittmair, K.	1453	or	
Böckenförde, J. B.	1645	or	Eckersberger, F.	1312	kas	Greminger, P.	1543	kas	Hochhaus, G.	1671	üb	
Böhner, H.	979	or	Ehlenz, K.	1573	kas	Greten, T.	1613	kas	Hoelzer, D.	1359	adt	
Bojanovski, D.	1393	kas	Ehninger, G.	1359	adt	Griese, H.	1183	lz		1637	fr	
Bokemeyer, D.	1706	üb	Eisele, R.	1683	or	Grimm, W.	1301	or	Höper, Kirsten	1776	kas	
Bong, J.	1579	kas	Elbert, Gabriele	1643	km	Grotz, W.	1071	kas	Hofgärtner, F.	1683	or	
Bordel, H.	1167	mq	Ell, C.	951	kas	Grouls, V.	999	mq	Hofmann, M.	1766	or	
Brambs, H. J.	1333	fr		990	kas		1471	mq	Hohlbach, G.	1579	kas	
Braun, B.	1607	or		1532	or	Gruner, U.	1467	kas	Hohlfeld, R.	1371	fr	
Bräuninger, W.	1219	fr	End, Adelheid	1105	or	Gschwantler, M.	1139	lz	Holstege, A.	1245	adt	
v. Breska, B.	1317	kas	Engeroff, B.	1721	or	<b>H</b>						
Bruch, C.	1317	kas	Ensslen, R.	1341	or	Haas, N.	1053	mq	Holubarsch, C.	1804	km	
Bruch, T.	1526	km		1458	or		1121	mq	Hopf, U.	961	adt	
Brühl, P.	1121	adt	Erbel, R.	1101	lz		1204	mq	Hopfinger-	1487	lz	
Bruhn, H. D.	1100	fr	Erdmann, E.	1630	üb		1432	mq	Limberger, G.			
Brune, S.	1183	lz	Everlien, M.	1110	kas		1548	mq	Hoppe, Uta	1630	üb	
Brunner, H. R.	1065	or	Evers, J.	1281	mq		1583	mq	Hoppen, T.	1431	mq	
Büchler, M. W.	1739	adt	Ewig, S.	1296	fr		1662	mq	Hornig, B.	1065	or	
Bünthe, S.	1555	üb	<b>F</b>				1782	fr	Horny, H. P.	1694	kas	
Burg, S.	956	kas	Faber, T.	1786	üb		1782	fr	Horst, J.	1436	üb	
Burkardt, H.	1690	kas	Fabry, W.	1034	kas	Haas, N. A.	1351	kas	Horstkotte, D.	1023	or	
Buss, U.	1283	adt	Fallen, H.	1716	lz	Haase, D.	1143	or	Huber, C.	1747	üb	
Busse, O.	1183	lz	Faßbender, D.	1110	kas	Habermehl, P.	1301	or	Huber, R. M.	1613	kas	
<b>C</b>						Hächler, I.	1759	or	Hürter, T.	1083	adt	
Calderoni, A.	1194	kas	Federmann, G.	1184	lz	Hänseler, T.	1156	kas	Huhn, D.	961	adt	
Carlsson, J.	1183	lz		1199	kas	Hafner, G.	1497	kas	Hummel, M.	1276	kas	
Cidlinsky, K.	990	kas		1137	lz	Hahn, E. G.	951	kas	Hunze, R.	1603	lz	
Classen, M.	1755	fr	Federmann, M.	1137	lz		990	kas	Hurwitz, N.	1235	kas	
Costabel, U.	1565	lz	Fehm, H. L.	1115	kas	Hallauer, W.	1056	lz				
Czarnetzki,	1053	fr	v. Ferber, L.	1056	lz	Hamm, H.	1020	km	Ibers, H.	948	or	
Beate M.			Feussner, H.	1518	kom	Hanrath, P.	1006	üb	Igler, C.	1000	mq	
Czerwenka, K.	1491	or	Fischer, H. P.	1239	kas	Hansen, Ulrike	1231	kas		1322	mq	
			Fischer, M.	1289	üb	Harb, S.	1061	or	Imhof, H.	1453	or	
						Harbrecht, Ursula	1680	km	Ippen, H.	1803	lz	
						Hardinghaus, W.	1167	mq				





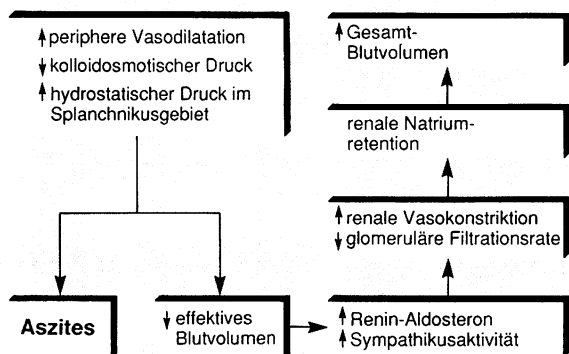


## Therapie des Aszites bei Lebererkrankungen\*

A. L. Gerbes und G. Paumgartner

Medizinische Klinik II, Klinikum Großhadern der Universität München

Die besonderen Probleme der Aszitestherapie bei Leberzirrhose werden durch die Kenntnis wichtiger pathophysiologischer Faktoren besser verständlich (7, 19, 29, 32). Aus der Vielzahl von Faktoren, die an der Aszitesbildung beteiligt sein können, sind einige allgemein als wesentlich erachtete pathophysiologische Veränderungen in **Abb. 1** dargestellt.



**Abb. 1** Wichtige pathophysiologische Faktoren der Aszitesbildung bei Leberzirrhose.

Durch periphere arterielle Vasodilatation (32), Verminderung des kolloidosmotischen und Erhöhung des hydrostatischen Drucks im Splanchnikusgebiet kommt es zu einer Verschiebung der Starling-Kräfte im Splanchnikusgebiet mit Extravasation in die Bauchhöhle. Das zentral effektive Blutvolumen, das heißt das Blutvolumen im Bereich der Druck- und Volumenrezeptoren des zentralen Kreislaufs, nimmt ab. Im Sinne einer Gegenregulation steigen dann die Plasmakonzentrationen von Renin, Aldosteron, Noradrenalin und Vasopressin und bewirken eine renale Vasokonstriktion mit Retention von Salz und Wasser. Mit zunehmendem Schweregrad der Zirrhose nehmen auch die periphere Vasodilatation und die portale Hypertonie zu, das effektive Blutvolumen sinkt weiter, so daß schließlich selbst eine ausgeprägte Aktivierung der natrium- und volu-

menretinierenden Hormonsysteme nicht mehr eine Wiederauffüllung des verminderten effektiven Blutvolumens erreichen kann. Wenn unter dem Einfluß der portalen Hypertonie die Bildung von Lymphe zunimmt und die Kapazität der Lymphgefäße überschritten wird, kommt es zu Aszites. Das pathophysiologische Geschehen ist also durch zwei scheinbar widersprüchliche Veränderungen gekennzeichnet:

1. renale Vasokonstriktion bei peripherer Vasodilatation und
2. Verminderung des zentral effektiven Blutvolumens trotz Erhöhung des Gesamtblutvolumens. Therapeutische Bemühungen sollten diese Veränderungen berücksichtigen oder sie zumindest nicht verschlimmern.

### Medikamentöse Therapie

Vor Beginn der Therapie sollte durch eine diagnostische Aszitespunktion eine maligne Grunderkrankung oder Infektion des Aszites ausgeschlossen werden.

Die Palette therapeutischer Maßnahmen reicht von diätetischer Natriumrestriktion bis hin zur Lebertransplantation (**Tab. 1**). Am besten hat sich das konventionelle Stufenschema bewährt (**Abb. 2**): Zunächst sind Betruhe und Natriumrestriktion angezeigt (2, 6, 14, 23). Eine Beschränkung der täglichen Kochsalzzufuhr auf 3 g (etwa 50 mmol) scheint praktikabel, auch im Hinblick auf die Compliance, und erleichtert das Erzie-

**Tab. 1** Therapeutische Möglichkeiten bei hepatischem Aszites

Betruhe
diätetische Natriumrestriktion
diuretische Medikamente
therapeutische Parazentese
peritoneovenöser Shunt (PVS)
portosystemische Shunts (TIPS)
Lebertransplantation

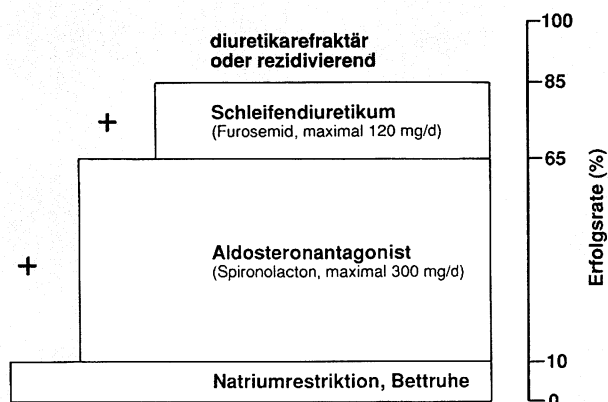


Abb. 2 Konventionelles Stufenschema der Aszitestherapie bei Leberzirrhose.

len einer negativen Natriumbilanz. Bettruhe führt zu einer Erhöhung des zentral effektiven Blutvolumens und verstärkt damit die Natriumausscheidung. Bei ungenügendem Ansprechen oder oft auch zugleich wird ein Aldosteronantagonist (im allgemeinen Spironolacton) und gegebenenfalls zusätzlich ein Schleifendiuretikum (meist Furosemid) verabreicht (8, 20, 28, 30, 31). Wenn über einige Tage weniger als durchschnittlich 200–300 g Aszites täglich mobilisiert werden kann, sollte die Diuretikadosis erhöht werden. Die Anfangsdosis von Spironolacton beträgt 50–100 mg täglich und kann alle 5 Tage um 50–100 mg gesteigert werden (bis maximal 300 mg/d), wenn die Natriumausscheidung nicht deutlich ansteigt. Die initiale Dosis von 20–40 mg Furosemid kann in Abständen von 1–2 Tagen um 20–40 mg erhöht werden (bis maximal 120 mg/d); dabei ist eine über den Tag verteilte Dosierung zu empfehlen, um eine bruske Natriurese mit nachfolgendem »rebound«-Effekt und Abnahme der Natriumausscheidung nach hoher Einzeldosis zu vermeiden. Hierdurch kann bei etwa 85–90% der Patienten der Aszites ausgeschwemmt werden. Möglicherweise kann das neue Schleifendiuretikum Torasemid, das eine längere Halbwertszeit hat als Furosemid, die Ansprechrate erhöhen (3). So ist gezeigt worden, daß Torasemid bei Patienten mit schlechtem Ansprechen auf Furosemid noch eine deutliche Natriurese bewirken kann und auch bei Kombination mit einem Aldosteronantagonisten eine höhere Wirksamkeit als Furosemid aufweist (9, 15). Therapiestudien mit ausreichend langer Beobachtungszeit stehen jedoch für Torasemid noch aus. Der Wirkmechanismus des zur Aszitestherapie gelegentlich empfohlenen Diuretikums Xipamid ist nicht vollständig geklärt (29, 30); auch liegen zu wenige Daten über die Pharmakodynamik vor, um das Medikament für die Standardbehandlung des Aszites zu empfehlen. Amilorid scheint Aldosteronantagonisten unterlegen, insbesondere bei gesteigerter Aktivität des Renin-Aldosteron-Systems (1).

Von besonderer Bedeutung für die Durchführung der diuretischen Behandlung ist es, Kontraindikationen zu beachten und die Therapie sorgfältig zu überwachen; dies um so mehr, als bei dieser nicht kausalen Behandlung Nebenwirkungen unbedingt vermieden werden sollten. Als Kontraindikationen sind zu beachten:

- **Elektrolytstörungen.** – Bei ausgeprägter Hyponatriämie ( $< 125$  mmol/l) ist eine diuretische Behandlung im allgemeinen ungeeignet, da sich die Hyponatriämie dadurch verschlimmern kann. Häufig liegt eine Verdünnungshyponatriämie vor, die durch Einschränkung der Flüssigkeitszufuhr und nicht mit NaCl-Substitution behandelt werden sollte. Eine Hyperkaliämie wird oftmals durch ein Schleifendiuretikum gebessert, während einer Hypokaliämie mit Aldosteronantagonisten und Kaliumsubstitution begegnet werden kann.
- **Eingeschränkte Nierenfunktion.** – Bei deutlich eingeschränkter Nierenfunktion (Serum-Kreatinin  $> 2$  mg/dl oder Serum-Harnstoff  $> 80$  mg/dl oder Kreatinin-Clearance  $< 40$  ml/min) und Ausschluß einer organischen Nierenerkrankung handelt es sich im allgemeinen um eine prärenal bedingte Störung. Sie kann durch Gabe von Diuretika und Verminderung des Plasmavolumens verschlimmert werden. Außerdem kann es zu einer deutlichen Verlängerung der Halbwertszeit und damit schlechter Steuerbarkeit von Diuretika kommen (30). Der Versuch, bei schon reduzierter Nierenfunktion durch massive Erhöhung der Diuretikadosis eine Steigerung der Natriurese zu erzwingen, kann ein hepatorenales Syndrom auslösen. Vor dieser immer wieder zu beobachtenden iatrogenen Komplikation muß ausdrücklich gewarnt werden. Bei Patienten mit hepatorenalem Syndrom scheint eine temporäre Reduktion des renalen und Erhöhung des systemischen Gefäßwiderstands durch das Vasopressinanalogen Ornipressin (16) mit nachfolgender Verbesserung der Nierenfunktion möglich.
- **Enzephalopathie.** – Eine Enzephalopathie wird durch die diuretikainduzierte Abnahme des Plasmavolumens häufig verschlimmert und daher gemeinhin als relative Kontraindikation für eine diuretische Therapie betrachtet.

### Kontrolle der Therapie

Bei der Überwachung der Therapie sind Parameter des therapeutischen Ansprechens und mögliche Nebenwirkungen zu beachten. Zu empfehlen ist die regelmäßige (zunächst mindestens jeden zweiten Tag) Messung von Körpergewicht und 24-Stunden-Urin (Natrium, Kalium, Kreatin-Clearance). Eine deutliche Zunahme der Natriumausscheidung im Urin ohne begleitende Abnahme des Körpergewichtes nach Beginn der diuretischen Therapie weist auf eine unzureichende diätetische Compliance des Patienten hin. Bestehen periphere Ödeme, können 1–2 l Flüssigkeit täglich diuretisch mobilisiert werden, ohne daß es zu einer Beeinträchtigung des effektiven Blutvolumens kommt (22). Fehlen periphere Ödeme oder sind sie unter diuretischer Behandlung verschwunden, sollte eine tägliche Gewichtsabnahme von 300–500 g angestrebt, von 500–700 g nicht überschritten werden. Mögliche Nebenwirkungen sind Tachykardie, Enzephalopathie oder Verminderung der Kreatinin-Clearance als Zeichen des zunehmenden Volumenmangels, ferner Elektrolytstörungen (4, 13, 28). Zu ungenügendem Ansprechen auf diuretische Behandlung können neben der Noncompliance vor allem eine spontane bakterielle Peritonitis, eine gastrointestinale Blutung als Ursache eines Volumenman-

gels und schließlich auch die iatrogene Zufuhr von Natrium (Antibiotika, Antacida) oder nicht-steroidalen Antiphlogistika (Verschlechterung der Nierenfunktion) führen.

Besondere therapeutische Schwierigkeiten bieten vor allem der ausgeprägte Aszites und der diuretikarefraktäre oder häufig rezidivierende Aszites.

### Ausgeprägter Aszites

Die therapeutische Aszitespunktion (Parazentese) hat in den letzten Jahren zur Behandlung des ausgeprägten Aszites eine Renaissance erlebt. Nach der Entwicklung moderner Diuretika in den sechziger Jahren war man von der Parazentese abgekommen aus Furcht vor Nebenwirkungen wie Infektion, Niereninsuffizienz und Enzephalopathie (als Folge des durch Punktion induzierten Volumenmangels). Vor wenigen Jahren hatte jedoch eine Arbeitsgruppe aus Barcelona zeigen können, daß bei einer täglichen Punktion von 4–6 l Aszites den Nebenwirkungen eines Volumenmangels durch die intravenöse Substitution von 40–60 g Albumin vorgebeugt werden kann (12). Daraufhin wurden die therapeutischen Aszitespunktionen von 4–6 l pro Sitzung bis zur Aszitesfreiheit bei gleichzeitiger Albuminsubstitution mit dem konventionellen diuretischen Vorgehen verglichen (10, 26). Beide Verfahren führten bei etwa 90% der Patienten zum Erfolg bei ähnlicher Nebenwirkungsrate. Allerdings wurden die Patienten nach Punktion deutlich schneller frei von Aszites (4–6 Tage) als unter Diuretikatherapie (19–25 Tage). Anschließend mußten natürlich auch die durch Parazentese behandelten Patienten wegen der Reakkumulation von Aszites auf Diuretika eingestellt werden. Spätere Untersuchungen der spanischen Arbeitsgruppe (35) ergaben, daß die totale Parazentese, das heißt das Ablassen der gesamten Aszitesflüssigkeit mit Albuminsubstitution nicht mehr Nebenwirkungen hatte als die wiederholte Punktion von nur 4–6 l. Für das praktische Vorgehen können heute bei Fehlen von Kontraindikationen (Serum-Bilirubin > 10 mg/dl, Prothrombinzeit < 40%, Thrombozyten < 40 000/µl, Serum-Kreatinin > 3 mg/100 ml, deutliche Enzephalopathie) tägliche Punktionen von bis zu 6 Litern Aszites mit Albuminsubstitution (8–10 g/l Aszites) zur Erzielung einer raschen Aszitesfreiheit empfohlen werden.

Verschiedene Untersuchungen widmen sich der Frage, ob kostengünstigere Plasmaexpander anstelle von Albumin zur Volumensubstitution verwendet werden können (21, 27). Albumin ist etwa zehnmal teurer als äquivalente Mengen von Dextran oder einem Gelatinepräparat. Es zeigte sich, daß die Plasmareninaktivität als Ausdruck des verminderten effektiven Blutvolumens bei Verwendung von Dextran, nicht aber von Albumin, bereits wenige Tage nach Punktion und Substitution deutlich angestiegen war. Dennoch ergaben sich keine Unterschiede in der Häufigkeit der Komplikationen, der Rehospitalisierung wegen eines ausgeprägten Aszites, der Rate der Niereninsuffizienz oder der Überlebenschancen. Die besten Ergebnisse in diesem Zusammenhang wurden jedoch bisher mit Albumin als Plasmaexpander erzielt.

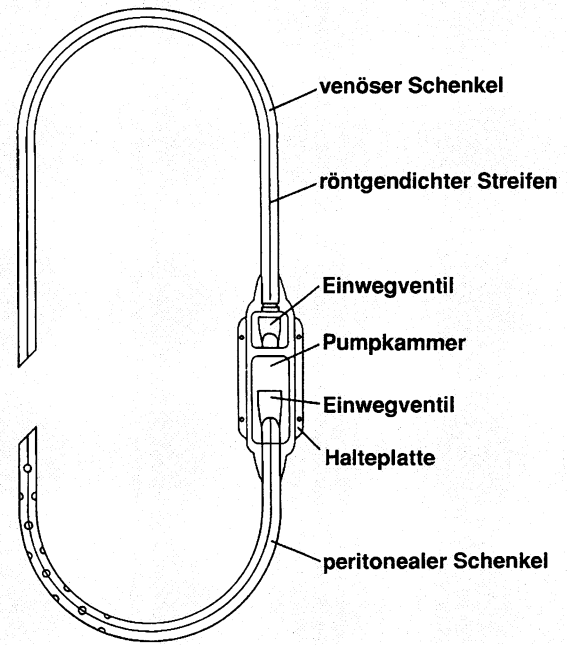


Abb. 3 Schematische Darstellung eines peritoneo-venösen Shunts (hier: Denver-Shunt mit Pumpkammer).

### Diuretikarefraktärer oder rezidivierender Aszites

Eine allgemein anerkannte Definition des diuretikarefraktären oder rezidivierenden Aszites gibt es nicht. Meist spricht man von einem diuretikarefraktären Aszites, wenn trotz maximaler Diuretikadosis keine ausreichende Mobilisierung des Aszites erzielt werden kann oder wenn die Diuretika wegen Nebenwirkungen abgesetzt oder reduziert werden müssen und der Aszites dann wieder zunimmt. Wenn Patienten nach zunächst erfolgreicher Therapie sich immer wieder mit ausgeprägtem Aszites vorstellen (zum Beispiel mindestens dreimal innerhalb eines Jahres; 11), handelt es sich um einen rezidivierenden Aszites.

#### Peritoneovenöser Shunt

Zur Behandlung von Patienten mit diuretikarefraktärem Aszites war in den siebziger Jahren von Le Vein und Mitarbeitern (36) das Konzept des peritoneovenösen Shunts (PVS) entwickelt worden. Hierbei handelt es sich um ein subkutan zu implantierendes Silikon Schlauchsystem, dessen peritonealer Schenkel im Aszites zu liegen kommt (Abb. 3). Durch eine am Rippenbogen zu befestigende Kammer mit Einwegventilen (beim Denver-Shunt durch manuelle Kompression pumpbar) ist der unidirektionale Fluß des Aszites sichergestellt. Der venöse Schenkel wird in die Vena jugularis eingebunden, so daß seine Spitze in der Vena cava superior vor dem Vorhof liegt. Aufgrund des Druckgradienten wird kontinuierlich Aszites in den zentralvenösen Kreislauf infundiert. Die Aszitesflüssigkeit dient somit zur Wiederauffüllung des verminderten zentral effektiven Blutvolumens. Verschiedene Untersuchungen ha-

### Portosystemische Shunts

Bei der Anlage von portosystemischen Shunts kommt es zur Erniedrigung des portalvenösen Druckgradienten (18a, 37); dabei handelt es sich eher um eine kausale Behandlungsmöglichkeit des Aszites als bei der Gabe von Diuretika. In der Tat wurde nach operativer Anlage von portosystemischen Anastomosen eine leichtere Therapierbarkeit des Aszites beobachtet. Eine beträchtliche perioperative Letalität, Verschlechterung der Leberfunktion, hohe Inzidenz einer ausgeprägten hepatischen Enzephalopathie und schließlich Erschwerung einer späteren Lebertransplantation haben aber zu einem starken Rückgang dieser Operationen geführt.

Durch einen transjugulären intrahepatischen portosystemischen Shunt (TIPS) kann ein portosystemischer Shunt ohne die Risiken einer Operation, ohne Nachteile für eine spätere Transplantation durch operative Veränderungen der Abdominalgefäße und mit dem Vorteil einer graduierbaren Drucksenkung erzielt werden (5, 24). Zur Technik der TIPS-Anlage (Abb. 4) sei auf den unlängst in dieser Wochenschrift erschienenen Artikel von Rössle und Mitarbeitern (25) verwiesen. Durch individuelle Aufweitung des Shunt-Durchmessers (im allgemeinen 8 bis 12 mm) kann der angestrebte Druckgradient erzielt und eventuell dem erhöhten Enzephalopathierisiko einzelner Patienten Rechnung getragen werden. Der von der Freiburger Gruppe mittlerweile über 300mal vorgenommene Eingriff wurde vor allem zur Prophylaxe von Rezidivblutungen aus gastroösophagealen Varizen eingesetzt. Dabei wurde zugleich häufig ein deutlicher Rückgang des Aszites bemerkt. Ochs und Mitarbeiter (18) haben deswegen bei 50 Patienten mit diuretikarefraktärem Aszites eine TIPS-Implantation vorgenommen. Sie erzielten in 66% der Fälle eine totale Mobilisation und in 26% eine partielle Mobilisation des Aszites, nur in 8% stellte sich kein Erfolg ein. Die 1-Jahres-Überlebensrate von 50% kann angesichts der Schwere des Krankheitsbildes dieser Patienten als günstig bezeichnet werden. Der Wert des TIPS im Vergleich zur Parazentese bei Patienten mit diuretikarefraktärem oder rezidivierendem Aszites kann augenblicklich noch nicht beurteilt werden und wird in prospektiven randomisierten Studien untersucht.

### Lebertransplantation

Therapierefraktärer Aszites als alleinige Indikation zur Lebertransplantation wird im allgemeinen eine Ausnahme sein. Häufig befinden sich Patienten mit diuretikarefraktärem Aszites in einem weit fortgeschrittenen Stadium der Lebererkrankung (Child C) und damit in einem für eine Transplantation zu schlechten Allgemein- und Ernährungszustand. Bei Child-B-Patienten könnte das Auftreten von diuretikarefraktärem Aszites allerdings den Ausschlag zur Indikation einer Lebertransplantation geben. Der postoperative Erfolg nach Transplantation von Patienten mit ausgeprägtem Aszites unterscheidet sich nicht von dem bei Patienten mit geringem Aszites (17).

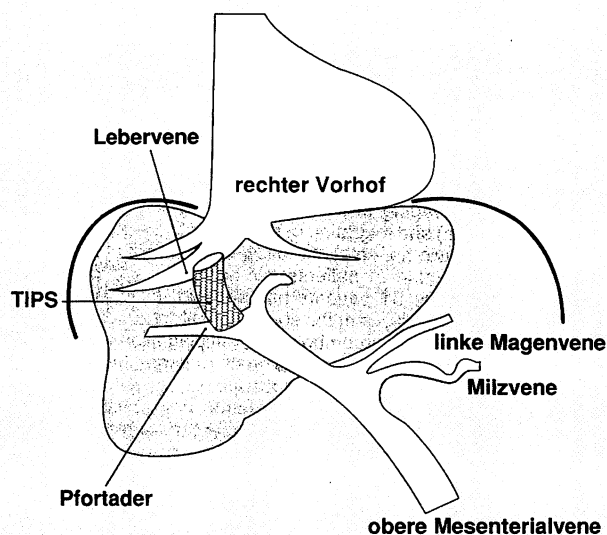


Abb. 4 Schematische Darstellung der Lage eines TIPS (transjugulärer intrahepatischer portosystemischer Shunt).

ben gezeigt, daß es in der Tat zu den erwünschten hämodynamischen und neurohumoralen Veränderungen mit Reduktion der Aktivierung des Renin-Aldosteron- und sympathikoadrenergen Systems und zu einer verstärkten Diurese und Natriurese kommt. Leider werden die günstigen Wirkungen des PVS von Komplikationen wie Gerinnungsstörung, Infektion, Sepsis und Thrombosierung des venösen Schenkels begleitet (8, 33). Vor allem das häufige Shunt-Versagen durch Verstopfen der Ventrikammer führte dazu, daß der initiale Enthusiasmus über dieses therapeutische Konzept verebbte.

Nach den ermutigenden Ergebnissen mit Parazentese und Albuminsubstitution bei ausgeprägtem Aszites lag es nahe, dieses Verfahren bei diuretikarefraktärem oder rezidivierendem Aszites mit der Implantation eines PVS zu vergleichen (11, 34). In einer prospektiven randomisierten Untersuchung (11) bei jeweils über 40 Patienten konnte der Aszites mit beiden Verfahren bei nahezu 90% der Patienten mobilisiert werden; in etwa je einem Viertel der Fälle traten Nebenwirkungen auf. Die 1-Jahres-Überlebensrate betrug bei beiden Verfahren etwa 50%. Als wesentlicher Unterschied zeigte sich, daß in der Parazentesegruppe jeder Patient durchschnittlich dreimal pro Jahr wegen erneuten Auftretens von ausgeprägtem Aszites zur Behandlung aufgenommen werden mußte und daß die Patienten einen höheren Diuretikaverbrauch aufwiesen als in der PVS-Gruppe. In der Gruppe mit peritoneovenösem Shunt mußte sich jeder Patient nur einmal pro Jahr wegen Wiederauftretens von Aszites in der Klinik vorstellen; allerdings war bei nahezu der Hälfte dieser Patienten der Shunt verschlossen, was meistens eine Re-Intervention erforderte. Nach den Ergebnissen dieser Untersuchung kann die therapeutische Aszitespunktion mit Albuminsubstitution der Implantation eines peritoneovenösen Shunts zumindest als ebenbürtig erachtet werden. Allerdings ermöglichen beide Verfahren keineswegs eine zufriedenstellende Behandlung dieser Patienten.

## Schlußfolgerung

Patienten mit »unkompliziertem« Aszites (keine Enzephalopathie, Elektrolytstörung oder deutlich eingeschränkte Nierenfunktion) können gut nach dem herkömmlichen Stufenschema aus diätetischer Natriumrestriktion, Aldosteronantagonisten und Schleifen-diuretika behandelt werden. Eine anfänglich engmaschige Überwachung ist besonders wichtig, um Nebenwirkungen zu vermeiden. Bei ausgeprägtem Aszites empfiehlt sich zur initialen Behandlung die therapeutische Aszitespunktion von 4–6 l täglich mit intravenöser Albuminsubstitution von 40–60 g und anschließender Einstellung auf Diuretika. Zur Behandlung des diuretikarefraktären oder rezidivierenden Aszites hat sich die therapeutische Aszitespunktion mit Albuminsubstitution der Implantation eines peritoneovenösen Shunts (PVS) als zumindest ebenbürtig erwiesen. Der transjuguläre intrahepatische portosystemische Shunt (TIPS) ist eine vielversprechende Neuentwicklung, deren therapeutischer Wert bei diuretikarefraktärem oder rezidivierendem Aszites in vergleichenden Studien untersucht werden muß. Die Lebertransplantation ist die kausale Behandlung des refraktären Aszites und sollte bei entsprechender Schwere der Lebererkrankung erwogen werden.

Für langjährige anregende Zusammenarbeit auf diesem Gebiet danken wir Prof. Dr. J. Schölmerich und Prof. Dr. D. Jüngst. Herrn Prof. Dr. T. Sauerbruch danken wir für seine kritische und anregende Durchsicht des Manuskriptes und H. Stippel für die Sekretariatsarbeiten. Die Untersuchungen der Autoren wurden durch die Deutsche Forschungsgemeinschaft unterstützt.

## Literatur

- Angeli, P., M. D. Pria, E. D. Bei, G. Albino, L. Caregaro, C. Merkel, G. Ceolotto, A. Gatta: Randomized clinical study of the efficacy of amiloride and potassium canrenoate in nonazotemic cirrhotic patients with ascites. *Hepatology* 19 (1994), 72–79.
- Bernardi, M., C. Santini, F. Trevisani, M. Baraldini, A. Ligabue, G. Gasbarrini: Renal function impairment induced by change in posture in patients with cirrhosis and ascites. *Gut* 26 (1985), 629–635.
- Broekhuysen, J., F. Deger, J. Douchamps, H. Ducarne, A. Herchuelz: Torasemide, a new potent diuretic. Double-blind comparison with furosemide. *Europ. J. Pharmacol.* 31, Suppl. (1986), 29–34.
- Conn, H. O.: Diuresis of ascites. Fraught with or free from hazard. *Gastroenterology* 73 (1977), 619–621.
- Conn, H. O.: Transjugular intrahepatic portal-systemic shunts. The state of the art. *Hepatology* 17 (1993), 148–158.
- Fogel, M. R., V. K. Sawhney, E. A. Neal, R. G. Miller, C. M. Knauer, P. B. Gregory: Diuresis in the ascites patient. A randomized controlled trial of three regimens. *J. clin. Gastroenterol.* 3, Suppl. 1 (1981), 73–80.
- Gerbes, A. L.: Pathophysiology of ascites formation. *Hepato-gastroenterology* 38 (1991), 360–364.
- Gerbes, A. L.: Medical treatment of ascites and hepatorenal syndrome in cirrhosis. In Rodes, J., V. Arroyo (Ed.): *Therapy in Liver Disease* (Ediciones Doyma: Barcelona 1992), 143–148.
- Gerbes, A. L., U. Bertheau-Reith, C. Falkner, D. Jüngst, G. Paumgartner: Advantages of the new loop diuretic torasemide over furosemide in patients with cirrhosis with and without ascites. *J. Hepatol.* 17 (1993), 353–358.
- Gines, P., V. Arroyo, E. Quintero, R. Planas, F. Bary, J. Cabrera, A. Rimola, J. Viver, J. Camps, W. Jimenez, R. Mastai, J. Gaya, J. Rodes: Comparison between paracentesis and diuretics in the treatment of cirrhotics with tense ascites. Results of a randomized study. *Gastroenterology* 93 (1987), 234–241.
- Gines, P., V. Arroyo, V. Vargas, R. Planas, F. Casafont, J. Panes, M. Hoyos, L. Viladomiu, A. Rimola, R. Morillas, J. M. Salmeron, A. Gines, R. Estaban, J. Rodes: Paracentesis with intravenous infusion of albumin as compared with peritoneovenous shunting in cirrhosis with refractory ascites. *New Engl. J. Med.* 325 (1991), 829–835.
- Gines, P., L. Tito, V. Arroyo, R. Planas, J. Panes, J. Viver, M. Torres, P. Humbert, A. Rimola, J. Llach, S. Badalamenti, W. Jimenez, J. Gaya, J. Rodes: Randomized comparative study of therapeutic paracentesis with and without albumin in cirrhosis. *Gastroenterology* 94 (1988), 1493–1502.
- Gregory, P. B., P. H. Broekelschen, M. D. Hill, A. B. Lipton, C. M. Knauer, M. Egger, R. Miller: Complications of diuresis in the alcoholic patient with ascites. A controlled trial. *Gastroenterology* 73 (1977), 534–538.
- Karnad, D. R., P. Tembulkar, P. Abraham, N. K. Desai: Head-down tilt as a physiological diuretic in normal controls and in patients with fluid-retaining states. *Lancet* 1987/II, 525–527.
- Laffi, G., F. Marra, G. Buzzelli, G. Azzena, E. Meacci, M. L. De Feo, G. La Villa, P. Gentilini: Comparison of the effects of torasemide and furosemide in nonazotemic cirrhotic patients with ascites. A randomized, double-blind study. *Hepatology* 13 (1991), 1101–1105.
- Lenz, K., H. Hörtnagl, W. Druml, H. Reither, R. Schmid, B. Schneeweiss, A. Laggner, G. Grimm, A. L. Gerbes: Ornipressin in the treatment of functional renal failure in compensated liver cirrhosis. Effects on renal hemodynamics and atrial natriuretic factor. *Gastroenterology* 101 (1991), 1060–1067.
- Neuhaus, P., W. O. Bechstein: Aszites und Lebertransplantation. *Chirurg* 64 (1993), 16–20.
- Ochs, A., K. Haag, M. Sellinger, M. Langer, W. Gerok, M. Rössle: TIPS: Efficacy and survival in 49 patients with refractory and »untreatable« aszites. *Hepatology* 18 (1993), 292 (Abstract).
- Paquet, K. J., J. Schölmerich: *Pfortaderhochdruck* (Karger: Basel-Freiburg 1994).
- Paumgartner, G., A. L. Gerbes: Differentialdiagnose und pathophysiologische Grundlagen des Aszites. *Chirurg* 64 (1993), 1–6.

- 20 Perez-Ayuso, R. M., V. Arroyo, R. Planas, J. Gaya, F. Bory, A. Rimola, F. Rivera, J. Rodes: Randomized comparative study of efficacy of furosemide versus spironolactone in nonazotemic cirrhosis with ascites. *Gastroenterology* 84 (1983), 961-968.
- 21 Planas, R., P. Gines, V. Arroyo, J. Llach, J. Panes, V. Vargas, J. M. Salmeron, A. Gines, C. Toledo, A. Rimola, W. Jimenez, M. Asbert, M. A. Gassull, J. Rodes: Dextran-70 versus albumin as plasma expanders in cirrhotic patients with tense ascites treated with total paracentesis. Results of a randomized study. *Gastroenterology* 99 (1990), 1736-1744.
- 22 Pockros, P. J., T. B. Reynolds: Rapid diuresis in patients with ascites from chronic liver disease. The importance of peripheral edema. *Gastroenterology* 90 (1986), 1827-1833.
- 23 Ring-Larsen, H., J. H. Henriksen, C. Wilken, J. Clausen, H. Pals, N. J. Christensen: Diuretic treatment in decompensated cirrhosis and congestive heart failure. Effect of posture. *Brit. med. J.* 292 (1986), 1351-1353.
- 24 Rössle, M., K. Haag, A. Ochs, M. Sellinger, G. Nöldge, J. M. Perarnau, E. Berger, U. Blum, A. Gabelmann, K. Hauenstein, M. Langer, W. Gerok: The transjugular intrahepatic portosystemic stent-shunt procedure for variceal bleeding. *New Engl. J. Med.* 330 (1994), 165-171.
- 25 Rössle, M., K. Haag, A. Ochs, M. Sellinger, K. H. Hauenstein, M. Langer, W. Gerok: Transjugulärer intrahepatischer portosystemischer Stent-Shunt. *Dtsch. med. Wschr.* 119 (1994), 31-35.
- 26 Salerno, F., S. Badalamenti, P. Incerti, S. Tempini, B. Restelli, S. Bruno, G. Bellati, L. Roffi: Repeated paracentesis and iv albumin infusion to treat »tense« ascites in cirrhotic patients. A safe alternative therapy. *J. Hepatol.* 5 (1987), 102-108.
- 27 Salerno, F., S. Badalamenti, E. Lorenzano, P. Moser, P. Incerti: Randomized comparative study of hemaccel vs. albumin infusion after total paracentesis in cirrhotic patients with refractory ascites. *Hepatology* 13 (1991), 707-713.
- 28 Sherlock, S., S. Shaldon: The aetiology and management of ascites in patients with hepatic cirrhosis. A review. *Gut* 4 (1963), 95-105.
- 29 Schölmerich, J.: *Aszites* (Springer: Berlin 1991).
- 30 Schölmerich, J.: Strategies in the treatment of ascites. *Hepato-gastroenterology* 38 (1991), 365-370.
- 31 Schölmerich, J., W. Gerok: Diuretikatherapie bei Leberzirrhose mit Aszites. *Therapiewoche* 35 (1985), 2185-2198.
- 32 Schrier, R. W., V. Arroyo, M. Bernardi, M. Epstein, J. H. Hendriksen, J. Rodes: Peripheral arterial vasodilation hypothesis. A proposal for the initiation of renal sodium and water retention in cirrhosis. *Hepatology* 8 (1988), 1151-1157.
- 33 Schumpelick, V., K.-P. Riesener: Peritoneo-venöser Shunt. Indikation, Grenzen, Ergebnisse. *Chirurg* 64 (1993), 11-15.
- 34 Stanley, M. M., S. Ochi, K. K. Lee, B. A. Nemchausky, H. B. Greenlee, J. I. Allen, M. J. Allen, R. A. Baum, T. R. Gadacz, D. S. Camara, J. A. Caruana, E. R. Schiff, A. S. Livingstone, A. K. Samanta, A. Z. Najem, M. E. Glick, G. L. Juler, N. Adham, J. D. Baker, G. D. Cain, P. H. Jordan, D. C. Wolf, J. T. Fulenwider, K. E. James: Peritoneovenous shunting as compared with medical treatment in patients with alcoholic cirrhosis and massive ascites. *New Engl. J. Med.* 321 (1989), 1632-1638.
- 35 Tito, L., P. Gines, V. Arroyo, R. Planas, J. Panes, A. Rimola, J. Llach, P. Humbert, S. Badalamenti, W. Jimenez, J. Rodes: Total paracentesis associated with intravenous albumin management of patients with cirrhosis and ascites. *Gastroenterology* 98 (1990), 146-151.
- 36 Le Veen, H. H., G. Christoudias, I. P. Moon, R. Luft, G. Falk, S. Grosberg: Peritoneovenous shunting for ascites. *Ann. Surg.* 180 (1974), 580-591.
- 37 Warren, W. D.: Control of variceal bleeding. Reassessment of rationale. *Amer. J. Surg.* 145 (1983), 8-16.

Privatdozent Dr. A. L. Gerbes, Prof. Dr. G. Paumgartner  
Medizinische Klinik II der Universität  
Marchioninstr. 15  
81366 München